

สำนักหอสมุดกลาง พระจอมเกล้าลาดกระบัง

สายอากาศปล่องยกลิ้นแบบโคแอกเซียลคอลลิเนียร์  
เพื่อประยุกต์ใช้กับระบบให้ความร้อนโดยใช้คลื่นไมโครเวฟทางการแพทย์  
COAXIAL COLLINEAR APPLICATOR WITH APPLICATION TO  
MICROWAVE HYPERTHERMIA SYSTEM



โดย  
นายคนอง นึกภิรมย์ รหัส 36014054  
นายอุทิศ ภูหงษ์สูง รหัส 36014572

อาจารย์ที่ปรึกษา  
รศ.ดร.โมไนย ไกรฤกษ์

ปริญญานิพนธ์นี้เป็นส่วนหนึ่งของการศึกษาตามหลักสูตรปริญญาวิศวกรรมศาสตรบัณฑิต

สาขาวิชาวิศวกรรมโทรคมนาคม

คณะวิศวกรรมศาสตร์

สถาบันเทคโนโลยีพระจอมเกล้าเจ้าคุณทหารลาดกระบัง

ปีการศึกษา 2539

เลขหมู่.....

เลขทะเบียน..... 27877

วัน, เดือน, ปี 26 ส.ย. 2540

เอกสารนี้เป็นเอกสารที่สงวนไว้สำหรับการใช้งานเพื่อการศึกษาเท่านั้น ไม่อนุญาตให้นำไปใช้ประโยชน์ด้านการค้า  
ไม่ว่ากรณีใดๆ ทั้งสิ้น อีกทั้งห้ามมิให้ดัดแปลงเนื้อหาและต้องอ้างอิงถึงเจ้าของเอกสารทุกครั้งที่มีการนำไปใช้

ปริญญาโทปีการศึกษา 2539

ภาควิชาวิศวกรรมโทรคมนาคม

คณะวิศวกรรมศาสตร์ สถาบันเทคโนโลยีพระจอมเกล้าเจ้าคุณทหารลาดกระบัง

เรื่อง สายอากาศปล้อยคลื่นแบบโคแอกเซียลคอลลิเนียร์เพื่อประยุกต์ใช้กับระบบให้ความร้อนโดยใช้คลื่นไมโครเวฟทางการแพทย์

COAXIAL COLLINEAR APPLICATOR WITH APPLICATION TO MICROWAVE  
HYPERTHERMIA SYSTEM

ผู้จัดทำ

- |                      |          |
|----------------------|----------|
| 1 นายคนองนิก ภิรมย์  | 36014054 |
| 2. นายอุทิศ ภูงษ์สูง | 36014572 |

อาจารย์ที่ปรึกษา

(รศ.ดร.โมไนย ไกรฤกษ์)

สายอากาศปล່อยคลื่นแบบโคแอกเซียลคอลลิเนียร์  
เพื่อประยุกต์ใช้กับระบบให้ความร้อนโดยใช้คลื่นไมโครเวฟทางการแพทย์  
COAXIAL COLLINEAR APPLICATOR WITH APPLICATION TO  
MICROWAVE HYPERTHERMIA SYSTEM

โดย

|                       |          |
|-----------------------|----------|
| 1. นายคนอง นีก ภิรมย์ | 36014054 |
| 2. นายอุทิศ ภูหงษ์สูง | 36014572 |

อาจารย์ที่ปรึกษา

รศ.ดร. ไม่นอย ไกรฤกษ์

**บทคัดย่อ**

โครงการนี้เป็นเรื่องเกี่ยวกับการศึกษา ออกแบบ สร้าง และทดสอบสายอากาศปล່อยคลื่นแบบโคแอกเซียลคอลลิเนียร์ (Coaxial Collinear Applicator) ซึ่งเป็นสายอากาศที่ทำมาจากสายโซลิดโคแอกเซียล (Solid Coaxial Line) หรือสายนำสัญญาณแบบแข็งขนาดเส้นผ่าศูนย์กลาง 0.2 ซม. ซึ่งเป็นสายอากาศที่มีการแพร่กระจายคลื่นแบบออมนิไดเรกชันแนล (Omnidirectional) จากนั้นทำการสลับตัวนำในและตัวนำนอกของแต่ละเอลิเมนต์แล้วหุ้มด้วยปลอกทองเหลืองขนาดเส้นผ่าศูนย์กลาง 0.4 ซม. เรียกว่า สลิฟ (Sleeve) เพื่อเพิ่มความแรงของสนามทำให้มีความร้อนในการใช้งานที่เกิดจากสนามไฟฟ้ามากขึ้น

จากคุณสมบัติดังกล่าวสามารถนำไปประยุกต์ใช้กับระบบให้ความร้อนโดยคลื่นไมโครเวฟทางการแพทย์ เพื่อทำลายเซลล์มะเร็งเฉพาะตำแหน่งต่อไป

**Abstract**

This project describes about the study, design, construction and test of a coaxial collinear applicator. This applicator has an omnidirectional in propagation which consists essentially of solid coaxial line 0.2 cm diameter. To interchange the inner and outer conductor of each element and cover the junction with a brass sleeve 0.4 cm diameter, in order to increase the field strength.

The properties of this coaxial collinear applicator can be applicable to the microwave hyperthermia for a medical application, cancer therapy.

# สารบัญ

| เรื่อง  | หน้า |
|---|------|
| บทที่ 1 บทนำ  | 1    |
| บทที่ 2 ทฤษฎีที่ใช้ในการออกแบบ                      | 2    |
| 2.1 สายอากาศแบบโคแอกเซียลคอลลิเนียร์                | 2    |
| 2.2 ทฤษฎีของสลิปไดโพล                               | 3    |
| 2.3 ทฤษฎีความเป็นหนึ่ง                              | 11   |
| 2.4 ทฤษฎีเงา  | 12   |
| 2.5 ทฤษฎีพื้นผิวสมมูล                               | 15   |
| บทที่ 3 การออกแบบและการคำนวณ                        | 19   |
| 3.1 การออกแบบและการสร้าง                            | 19   |
| 3.2 ขั้นตอนการคำนวณ                                 | 21   |
| 3.3 วิธีการคำนวณ                                    | 21   |
| บทที่ 4 การทดลองและผลการทดลอง                       | 29   |
| 4.1 อุปกรณ์การทดลอง                                 | 29   |
| 4.2 ขั้นตอนการทดลอง                                 | 30   |
| 4.3 ผลการทดลอง                                      | 31   |
| บทที่ 5 บทสรุป<br>กิตติกรรมประกาศ<br>หนังสืออ้างอิง | 63   |

## สารบัญรูปร่าง

|  |    |
|--|----|
| รูปที่ 2.1 สายอากาศโคแอกเชียลโคลินีเยอร์   | 2  |
| รูปที่ 2.2 สลัฟไดโพลพร้อมภาพเงาและวงจรมุมของสายส่ง 2 สาย   | 3  |
| รูปที่ 2.3 การประยุกต์ใช้ทฤษฎีการทับซ้อนที่มี 2 แหล่งจ่าย  | 3  |
| รูปที่ 2.4 สายอากาศสมมาตรพร้อมโวลเตจขั้วจากสไลด์เจนเนอเรเตอร์และวงจรมุม                            | 4  |
| รูปที่ 2.5 ค่ากระแสในสลัฟไดโพลตามทฤษฎีและภาพเงา  | 6  |
| รูปที่ 2.6 ค่าอิมพีแดนซ์ของสลัฟไดโพลตามทฤษฎี   | 8  |
| รูปที่ 2.7 ค่าอิมพีแดนซ์ของสายอากาศสมมาตรแบบจุดขั้วตรงกลาง   | 8  |
| รูปที่ 2.8(a) กระแสบนสายอากาศสลัฟที่ $l=0.188 \lambda, h_1=0.25 \lambda$                           | 10 |
| รูปที่ 2.8(b) กระแสบนสายอากาศสลัฟที่ $l=0.20 \lambda, h_1=0.25 \lambda$                            | 10 |
| รูปที่ 2.8(c) กระแสบนสายอากาศสลัฟที่ $l=0.45 \lambda, h_1=0.25 \lambda$                            | 10 |
| รูปที่ 2.8(d) กระแสบนสายอากาศสลัฟที่ $l=0.20 \lambda, h_1=0.5 \lambda$                             | 11 |
| รูปที่ 2.9 ไดโพลตั้งฉากและแหล่งกำเนิดเสมือนแสดงคลื่นสะท้อนกลับจากตัวนำสมบูรณ์<br>ไร้ขอบเขต         | 12 |
| รูปที่ 2.9(a) แหล่งกำเนิดจริงและแหล่งกำเนิดเสมือน  | 12 |
| รูปที่ 2.9(b) องค์ประกอบของสนามที่จุดตกกระทบ   | 13 |
| รูปที่ 2.9(c) คลื่นตรงและคลื่นสะท้อนกลับ   | 13 |
| รูปที่ 2.10 แหล่งกำเนิดสนามไฟฟ้าและสนามแม่เหล็กพร้อมทั้งแหล่งกำเนิดเสมือน                          | 14 |
| รูปที่ 2.10(a) แหล่งกำเนิดสนามไฟฟ้า  | 14 |
| รูปที่ 2.10(b) แหล่งกำเนิดสนามแม่เหล็ก   | 14 |
| รูปที่ 2.11(a) แหล่งกำเนิดจริง   | 16 |
| รูปที่ 2.11(b) รูปเสมือนที่ใช้ในการแก้ปัญหา  | 16 |
| รูปที่ 2.12 โครงสร้างตามหลักการพื้นผิวเสมือน   | 17 |
| รูปที่ 2.12(a) หลักการเสมือนของเลิฟ  | 17 |
| รูปที่ 2.12(b) ตัวนำไฟฟ้าเสมือน  | 17 |
| รูปที่ 2.12(c) ตัวนำแม่เหล็กเสมือน   | 17 |
| รูปที่ 2.13 โครงสร้างเสมือนสำหรับการแพร่กระจายของแหล่งกำเนิดกระแสแม่เหล็กใกล้<br>ตัวนำไฟฟ้าสมบูรณ์ | 18 |
| รูปที่ 3.1(a) สายอากาศโคแอกเชียลโคลินีเยอร์ที่มีปลอกหุ้มโดยมี $l=0.817$ ซม.,<br>$h_1=1.53$ ซม.     | 20 |
| รูปที่ 3.1(b) สายอากาศโคแอกเชียลโคลินีเยอร์ที่มีปลอกหุ้มโดยมี $l=1.582$ ซม.,<br>$h_1=0.76$ ซม.     | 20 |

|   |    |
|---|----|
| รูปที่ 3.2 สายอากาศโคแอกเซียลคอลลิเนียร์ที่ได้จากการออกแบบ  | 20 |
| รูปที่ 3.3 สลัฟทองเหลืองขนาด 1.634 และ 3.164 ซม.  | 20 |
| รูปที่ 3.4(a) การแพร่กระจายกระแสของสายอากาศที่มี $l=0.817$ ซม.  | 25 |
| รูปที่ 3.4(b) การแพร่กระจายกระแสของสายอากาศที่มี $l=1.582$ ซม.  | 26 |
| รูปที่ 4.1 เครื่องวิเคราะห์โครงข่าย   | 29 |
| รูปที่ 4.2 สแกนเนอร์  | 29 |
| รูปที่ 4.3 บล็อกไดอะแกรมการติดตั้งอุปกรณ์การทดลองวัดค่าสนามไฟฟ้าโดยใช้ชุด<br>วัดสนามไฟฟ้า   | 30 |
| รูปที่ 4.4 การติดตั้งอุปกรณ์การทดลองวัดค่าสนามไฟฟ้าโดยใช้ชุดวัดสนามไฟฟ้า  | 31 |
| รูปที่ 4.5(a) ตัวอย่างรูปแบบกราฟแสดงผลการทดลองและการวางสายอากาศ   | 32 |
| รูปที่ 4.5(b) ตำแหน่งที่ใช้วัดสนามไฟฟ้าบนสายอากาศ   | 32 |
| รูปที่ 4.6 แสดงขนาดของสนามไฟฟ้าที่ได้จากการคำนวณที่ระยะห่างจากสายอากาศ 1 ซม.<br>ของสายอากาศที่มีสลัฟยาว 1.634 ซม.                           | 35 |
| รูปที่ 4.7 แสดงขนาดของสนามไฟฟ้าที่ได้จากการทดลองที่ระยะห่างจากสายอากาศ 1 ซม.<br>ของสายอากาศที่มีสลัฟยาว 1.634 ซม.                           | 35 |
| รูปที่ 4.8 แสดงการเปรียบเทียบขนาดของสนามไฟฟ้าที่ได้จากการทดลองและการคำนวณ<br>ที่ระยะห่างจากสายอากาศ 1 ซม.ของสายอากาศที่มีสลัฟยาว 1.634 ซม.  | 35 |
| รูปที่ 4.9 แสดงการเปรียบเทียบขนาดของสนามไฟฟ้าที่ระยะ 1 ซม.ของสายอากาศ   | 36 |
| รูปที่ 4.10 แสดงการเปรียบเทียบขนาดของสนามไฟฟ้าที่ระยะ 2 ซม.ของสายอากาศ  | 36 |
| รูปที่ 4.11 แสดงการเปรียบเทียบขนาดของสนามไฟฟ้าที่ระยะ 3 ซม.ของสายอากาศ  | 36 |
| รูปที่ 4.12 แสดงการเปรียบเทียบขนาดของสนามไฟฟ้าที่ระยะ 4 ซม.ของสายอากาศ  | 36 |
| รูปที่ 4.13 แสดงขนาดของสนามไฟฟ้าที่ได้จากการคำนวณที่ระยะห่างจากสายอากาศ 2 ซม.<br>ของสายอากาศที่มีสลัฟยาว 1.634 ซม.                          | 37 |
| รูปที่ 4.14 แสดงขนาดของสนามไฟฟ้าที่ได้จากการทดลองที่ระยะห่างจากสายอากาศ 2 ซม.<br>ของสายอากาศที่มีสลัฟยาว 1.634 ซม.                          | 37 |
| รูปที่ 4.15 แสดงการเปรียบเทียบขนาดของสนามไฟฟ้าที่ได้จากการทดลองและการคำนวณ<br>ที่ระยะห่างจากสายอากาศ 2 ซม.ของสายอากาศที่มีสลัฟยาว 1.634 ซม. | 37 |
| รูปที่ 4.16 แสดงการเปรียบเทียบขนาดของสนามไฟฟ้าที่ระยะ 1 ซม.ของสายอากาศ  | 38 |
| รูปที่ 4.17 แสดงการเปรียบเทียบขนาดของสนามไฟฟ้าที่ระยะ 2 ซม.ของสายอากาศ  | 38 |
| รูปที่ 4.18 แสดงการเปรียบเทียบขนาดของสนามไฟฟ้าที่ระยะ 3 ซม.ของสายอากาศ  | 38 |
| รูปที่ 4.19 แสดงการเปรียบเทียบขนาดของสนามไฟฟ้าที่ระยะ 4 ซม.ของสายอากาศ  | 38 |
| รูปที่ 4.20 แสดงขนาดของสนามไฟฟ้าที่ได้จากการคำนวณที่ระยะห่างจากสายอากาศ 3 ซม.<br>ของสายอากาศที่มีสลัฟยาว 1.634 ซม.                          | 39 |

|   |    |
|---|----|
| รูปที่ 4.21 แสดงขนาดของสนามไฟฟ้าที่ได้จากการทดลองที่ระยะห่างจากสายอากาศ 3 ซม.<br>ของสายอากาศที่มีสลิฟยาว 1.634 ซม.                          | 39 |
| รูปที่ 4.22 แสดงการเปรียบเทียบขนาดของสนามไฟฟ้าที่ได้จากการทดลองและการคำนวณ<br>ที่ระยะห่างจากสายอากาศ 3 ซม.ของสายอากาศที่มีสลิฟยาว 1.634 ซม. | 39 |
| รูปที่ 4.23 แสดงการเปรียบเทียบขนาดของสนามไฟฟ้าที่ระยะ 1 ซม.ของสายอากาศ  | 40 |
| รูปที่ 4.24 แสดงการเปรียบเทียบขนาดของสนามไฟฟ้าที่ระยะ 2 ซม.ของสายอากาศ  | 40 |
| รูปที่ 4.25 แสดงการเปรียบเทียบขนาดของสนามไฟฟ้าที่ระยะ 3 ซม.ของสายอากาศ  | 40 |
| รูปที่ 4.26 แสดงการเปรียบเทียบขนาดของสนามไฟฟ้าที่ระยะ 4 ซม.ของสายอากาศ  | 40 |
| รูปที่ 4.27 แสดงขนาดของสนามไฟฟ้าที่ได้จากการคำนวณที่ระยะห่างจากสายอากาศ 4 ซม.<br>ของสายอากาศที่มีสลิฟยาว 1.634 ซม.                          | 41 |
| รูปที่ 4.28 แสดงขนาดของสนามไฟฟ้าที่ได้จากการทดลองที่ระยะห่างจากสายอากาศ 4 ซม.<br>ของสายอากาศที่มีสลิฟยาว 1.634 ซม.                          | 41 |
| รูปที่ 4.29 แสดงการเปรียบเทียบขนาดของสนามไฟฟ้าที่ได้จากการทดลองและการคำนวณ<br>ที่ระยะห่างจากสายอากาศ 4 ซม.ของสายอากาศที่มีสลิฟยาว 1.634 ซม. | 41 |
| รูปที่ 4.30 แสดงการเปรียบเทียบขนาดของสนามไฟฟ้าที่ระยะ 1 ซม.ของสายอากาศ  | 42 |
| รูปที่ 4.31 แสดงการเปรียบเทียบขนาดของสนามไฟฟ้าที่ระยะ 2 ซม.ของสายอากาศ  | 42 |
| รูปที่ 4.32 แสดงการเปรียบเทียบขนาดของสนามไฟฟ้าที่ระยะ 3 ซม.ของสายอากาศ  | 42 |
| รูปที่ 4.33 แสดงการเปรียบเทียบขนาดของสนามไฟฟ้าที่ระยะ 4 ซม.ของสายอากาศ  | 42 |
| รูปที่ 4.34 แสดงขนาดของสนามไฟฟ้าที่ได้จากการคำนวณที่ระยะห่างจากสายอากาศ 5 ซม.<br>ของสายอากาศที่มีสลิฟยาว 1.634 ซม.                          | 43 |
| รูปที่ 4.35 แสดงขนาดของสนามไฟฟ้าที่ได้จากการทดลองที่ระยะห่างจากสายอากาศ 5 ซม.<br>ของสายอากาศที่มีสลิฟยาว 1.634 ซม.                          | 43 |
| รูปที่ 4.36 แสดงการเปรียบเทียบขนาดของสนามไฟฟ้าที่ได้จากการทดลองและการคำนวณ<br>ที่ระยะห่างจากสายอากาศ 5 ซม.ของสายอากาศที่มีสลิฟยาว 1.634 ซม. | 43 |
| รูปที่ 4.37 แสดงการเปรียบเทียบขนาดของสนามไฟฟ้าที่ระยะ 1 ซม.ของสายอากาศ  | 44 |
| รูปที่ 4.38 แสดงการเปรียบเทียบขนาดของสนามไฟฟ้าที่ระยะ 2 ซม.ของสายอากาศ  | 44 |
| รูปที่ 4.39 แสดงการเปรียบเทียบขนาดของสนามไฟฟ้าที่ระยะ 3 ซม.ของสายอากาศ  | 44 |
| รูปที่ 4.40 แสดงการเปรียบเทียบขนาดของสนามไฟฟ้าที่ระยะ 4 ซม.ของสายอากาศ  | 44 |
| รูปที่ 4.41 แสดงการเปรียบเทียบเฟสของกระแสที่ได้จากการทดลองและจากทางทฤษฎี<br>ของสายอากาศที่มีสลิฟยาว 1.634 ซม.                               | 46 |
| รูปที่ 4.42 แสดงขนาดของสนามไฟฟ้าที่ได้จากการคำนวณที่ระยะห่างจากสายอากาศ 1 ซม.<br>ของสายอากาศที่มีสลิฟยาว 3.164 ซม.                          | 49 |
| รูปที่ 4.43 แสดงขนาดของสนามไฟฟ้าที่ได้จากการทดลองที่ระยะห่างจากสายอากาศ 1 ซม.<br>ของสายอากาศที่มีสลิฟยาว 3.164 ซม.                          | 49 |



|   |    |
|---|----|
| รูปที่ 4.67 แสดงการเปรียบเทียบขนาดของสนามไฟฟ้าที่ระยะ 2 ซม.ของสายอากาศ  | 56 |
| รูปที่ 4.68 แสดงการเปรียบเทียบขนาดของสนามไฟฟ้าที่ระยะ 3 ซม.ของสายอากาศ  | 56 |
| รูปที่ 4.69 แสดงการเปรียบเทียบขนาดของสนามไฟฟ้าที่ระยะ 4 ซม.ของสายอากาศ  | 56 |
| รูปที่ 4.70 แสดงขนาดของสนามไฟฟ้าที่ได้จากการคำนวณที่ระยะห่างจากสายอากาศ 5 ซม.<br>ของสายอากาศที่มีสลิฟยาว 3.164 ซม.                          | 57 |
| รูปที่ 4.71 แสดงขนาดของสนามไฟฟ้าที่ได้จากการทดลองที่ระยะห่างจากสายอากาศ 5 ซม.<br>ของสายอากาศที่มีสลิฟยาว 3.164 ซม.                          | 57 |
| รูปที่ 4.72 แสดงการเปรียบเทียบขนาดของสนามไฟฟ้าที่ได้จากการทดลองและการคำนวณ<br>ที่ระยะห่างจากสายอากาศ 5 ซม.ของสายอากาศที่มีสลิฟยาว 3.164 ซม. | 57 |
| รูปที่ 4.73 แสดงการเปรียบเทียบขนาดของสนามไฟฟ้าที่ระยะ 1 ซม.ของสายอากาศ  | 58 |
| รูปที่ 4.74 แสดงการเปรียบเทียบขนาดของสนามไฟฟ้าที่ระยะ 2 ซม.ของสายอากาศ  | 58 |
| รูปที่ 4.75 แสดงการเปรียบเทียบขนาดของสนามไฟฟ้าที่ระยะ 3 ซม.ของสายอากาศ  | 58 |
| รูปที่ 4.76 แสดงการเปรียบเทียบขนาดของสนามไฟฟ้าที่ระยะ 4 ซม.ของสายอากาศ  | 58 |
| รูปที่ 4.77 แสดงการเปรียบเทียบเฟสของกระแสที่ได้จากการทดลองและจากทางทฤษฎี<br>ของสายอากาศที่มีสลิฟยาว 3.164 ซม.                               | 60 |
| รูปที่ 4.78 แสดงค่า SWR ของสายอากาศที่มีสลิฟยาว 1.634 ซม.   | 61 |
| รูปที่ 4.79 แสดงค่า SWR ของสายอากาศที่มีสลิฟยาว 3.164 ซม.   | 62 |

## สารบัญตาราง

|   |    |
|---|----|
| ตารางที่ 3.1(a) ค่า $C$ ที่ระยะ $l = 0.817$ ซม., $h_1 = 1.530$ ซม.                                  | 23 |
| ตารางที่ 3.1(b) ค่า $C$ ที่ระยะ $l = 1.582$ ซม., $h_1 = 0.76$ ซม.                                   | 23 |
| ตารางที่ 3.2(a) ค่า $I(x)$ ที่ $x=0$ ถึง $0.8$ ซม.  | 24 |
| ตารางที่ 3.2(b) ค่า $I(x)$ ที่ $x=0$ ถึง $1.5$ ซม.  | 24 |
| ตารางที่ 3.3(a) ค่า $I(x)$ ที่ $x=0.9$ ถึง $2.3$ ซม.  | 25 |
| ตารางที่ 3.3(b) ค่า $I(x)$ ที่ $x=1.6$ ถึง $2.3$ ซม.  | 25 |
| ตารางที่ 4.1 ขนาดของสนามไฟฟ้าที่ได้จากการทดลองสายอากาศโคแอกเชียลโคลิเนียร์ที่มีสล็อตยาว $1.634$ ซม. | 33 |
| ตารางที่ 4.2 ขนาดของสนามไฟฟ้าที่ได้จากการคำนวณสายอากาศโคแอกเชียลโคลิเนียร์ที่มีสล็อตยาว $1.634$ ซม. | 34 |
| ตารางที่ 4.3 ขนาดของสนามไฟฟ้าที่ได้จากการทดลองสายอากาศโคแอกเชียลโคลิเนียร์ที่มีสล็อตยาว $3.164$ ซม. | 47 |
| ตารางที่ 4.4 ขนาดของสนามไฟฟ้าที่ได้จากการคำนวณสายอากาศโคแอกเชียลโคลิเนียร์ที่มีสล็อตยาว $3.164$ ซม. | 48 |

## บทที่ 1 บทนำ

การใช้ความร้อนในการรักษาโรคมะเร็ง (Hyperthermia Cancer Therapy) ซึ่งเป็นการรักษามะเร็งรูปแบบใหม่เริ่มได้รับความสนใจเพิ่มขึ้น โดยวิทยาการแขนงนี้ได้เริ่มมีผู้ค้นคว้ามาก่อนต้นศตวรรษที่ 19 ในปี พ.ศ.2464 ต่อมาเริ่มมีการศึกษาผลของความร้อนร่วมกับรังสีอย่างแพร่หลาย และนำมาใช้รักษากับผู้ป่วยอย่างจริงจังในราวกลางศตวรรษที่ 19 โดยใช้ต้นกำเนิดความร้อนแตกต่างกันไป เมื่อไม่นานมานี้มีผู้สามารถค้นพบเทคนิคที่นำ ไฮเปอร์เทอร์เมีย (Hyperthermia) มารักษามะเร็งชนิดต่างๆ ได้ทั่วร่างกายและได้ผลการรักษาที่น่าสนใจ อย่างไรก็ตามผลการทดลองทางคลินิกที่กำลังดำเนินการอยู่ในขณะนี้เพื่อดูประสิทธิภาพของการรักษา วิธีที่ปลอดภัยในการให้ความร้อนที่ก้อนเนื้องอก และการตรวจวัด วิธีการรักษา เป็นสิ่งสำคัญต่อแนวทางของเวชปฏิบัติในอนาคต

ไฮเปอร์เทอร์เมีย เป็นวิธีการรักษามะเร็ง โดยการเพิ่มอุณหภูมิของเซลล์มะเร็งให้ขึ้นไปถึง 41 ถึง 46 องศาเซลเซียส โดยให้ความร้อนจากภายนอกแล้วรักษาอุณหภูมินี้ให้คงที่ไว้ตลอดช่วงเวลาที่เหมาะสม และต้องควบคุมอุณหภูมิของเซลล์ปกติไม่ให้สูงจนเกินไป การทำเช่นนี้จะเป็นการรักษามะเร็งที่นำมาช่วยเสริมให้วิธีการอื่นที่มีอยู่ได้แก่ การรักษาทางเคมี การรักษาทางรังสี ฯลฯ ให้มีประสิทธิภาพสูงขึ้นจากเดิม 25 เปอร์เซ็นต์ เป็น 60-75 เปอร์เซ็นต์

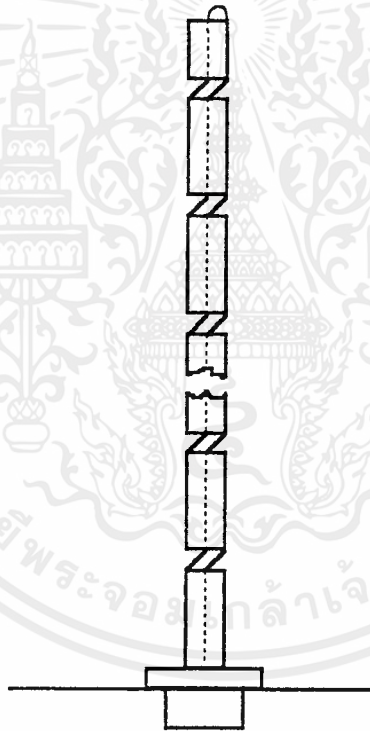
ในปัจจุบันที่ห้องปฏิบัติการการแพร่กระจายคลื่น (Radiation Laboratory) ภาควิชาโทรคมนาคม สถาบันเทคโนโลยีพระจอมเกล้าเจ้าคุณทหารลาดกระบัง ได้มีการพัฒนาระบบการให้ความร้อนด้วยคลื่นแม่เหล็กไฟฟ้า โดยใช้คลื่นไมโครเวฟซึ่งใช้สายอากาศปล้อคลื่นแบบสล็อตอาร์เรย์บนผิวครึ่งวงกลม (Spherical Slot Array Antenna) ซึ่งสายอากาศชนิดนี้สามารถแพร่กระจายคลื่นได้ลึก 2-3 ซม.จากผิว แต่เนื่องจากเซลล์มะเร็งมีตำแหน่งและขนาดที่แตกต่างกัน ดังนั้นในการรักษามะเร็งที่อยู่ลึก (Deep-Seated Tumors) มากกว่า 3 ซม. นั้นจะไม่สามารถใช้สายอากาศชนิดนี้ได้ เพราะฉะนั้นโครงงานนี้จึงได้ศึกษา ออกแบบและสร้างสายอากาศอินเวสซิฟซึ่งเป็นแบบโคแอกเซียลคอลลิเนียร์ (Coaxial Collinear Applicator) ขึ้นมา ซึ่งปกติจะเป็นสายอากาศที่ใช้ในงานแพร่สัญญาณ (Broadcasting) แต่ในโครงงานนี้ได้ประยุกต์สร้างขึ้น มาเพื่อใช้กับเครื่องรักษามะเร็งโดยใช้คลื่นไมโครเวฟในการรักษามะเร็งที่อยู่ลึกโดยจะใช้สอดเข้าไปในร่างกายผู้ป่วยที่ตำแหน่งของเซลล์มะเร็งในขณะทำการรักษาตามวิธีทางการแพทย์ [1]

สำหรับปริญญาานิพนธ์ฉบับนี้ ได้กล่าวถึงความรู้พื้นฐาน และ หลักการของสายอากาศแบบอินเวสซิฟ ชนิดโคแอกเซียลคอลลิเนียร์ ทฤษฎีต่างๆ ที่ใช้ในการออกแบบสายอากาศ การคำนวณและออกแบบ ตลอดจนผลการทดลองซึ่งเป็นการเปรียบเทียบกับทฤษฎีของสายอากาศชนิดนี้

## บทที่ 2 ทฤษฎีที่ใช้ในการออกแบบ

### 2.1 สายอากาศแบบโคแอกเซียลคอลลิเนียร์ (Coaxial Collinear Antenna)

สายอากาศแบบโคแอกเซียลคอลลิเนียร์เป็นสายอากาศที่มีโครงสร้างประกอบด้วยสายโคแอกเซียล (Coaxial Cable) หลายๆ เส้นมาต่อเรียงกันดังรูปที่ 2.1 โดยที่แต่ละเส้นมีความยาว  $\lambda_c/2$  (ค่า  $\lambda_c$  คือความยาวคลื่นในสาย) ที่มีความถี่กึ่งกลางที่ใช้งาน และในการต่อระหว่างสายแต่ละเส้น ซึ่งทำหน้าที่เป็นเอเลเมนต์ของอาร์เรย์ (Array Element) นั้นจะสลักระหว่างตัวนำเส้นในกับตัวนำเส้นนอก เพื่อให้มีเฟสของการป้อนกระแสของเอเลเมนต์เป็นเฟสเดียวกัน เพื่อให้บรอดไซด์อาร์เรย์ (Broadside Array) สายอากาศแบบนี้มีแพทเทิร์นการแพร่กระจายคลื่นเป็นแบบออมนิไดเรกชันแนล (Omnidirectional) วิธีที่ดีคือสร้างได้ง่ายและรูปร่างกระทัดรัด รายละเอียดของการสร้างสายอากาศดังกล่าวนี้มีอยู่ในรายงานของ Esklund และ Balsley [2] และรายละเอียดเพิ่มเติมนั้น ได้มีการแสดงการคำนวณการแจกแจงรูปร่างของสายอากาศดังกล่าวโดย Judasz และคณะ [3]



รูปที่ 2.1 สายอากาศโคแอกเซียลคอลลิเนียร์

สายอากาศโคแอกเซียลคอลลิเนียร์โดยทั่วไป มีลักษณะดังรูป 2.1 ซึ่งนอกจากจะเป็นสายอากาศที่ติดอยู่กับกราวด์เพลนแล้ว อาจเป็นสายอากาศที่มีโครงสร้างสมมาตรรอบกราวด์เพลน โดยอาศัยทฤษฎีเงา (Image Theory) ได้เช่นกัน สายโคแอกเซียลแต่ละเส้น ( $\#1, \#2, \dots, \#N$ ) จะมีความยาว  $\lambda_c/2$  ต่อกันอยู่ในลักษณะที่สลับทวนนำในและตัวนำนอก การทำเช่นนี้จะทำให้สายโคแอกเซียลแต่ละเส้นทำหน้าที่สองอย่างในเวลาเดียวกัน คือ 1) ทำหน้าที่เป็นสายส่งนำคลื่นไปสู่สายอากาศตัวถัดๆ ไปและ 2) ทำหน้าที่เป็นสายอากาศเอเลเมนต์ของลิเนียร์ อาร์เรย์ และเมื่อความยาวของสายเป็น  $\lambda_c/2$  จะทำให้แต่ละเอเลเมนต์เอกสารนี้เป็นเอกสารที่สงวนไว้สำหรับการใช้งานเพื่อการศึกษาเท่านั้น ไม่อนุญาตให้นำไปใช้ประโยชน์ด้านการค้าไม่ว่ากรณีใดๆ ทั้งสิ้น อีกทั้งห้ามมิให้ตัดแปลงเนื้อหาและต้องอ้างอิงถึงเจ้าของเอกสารทุกครั้งที่มีการนำไปใช้

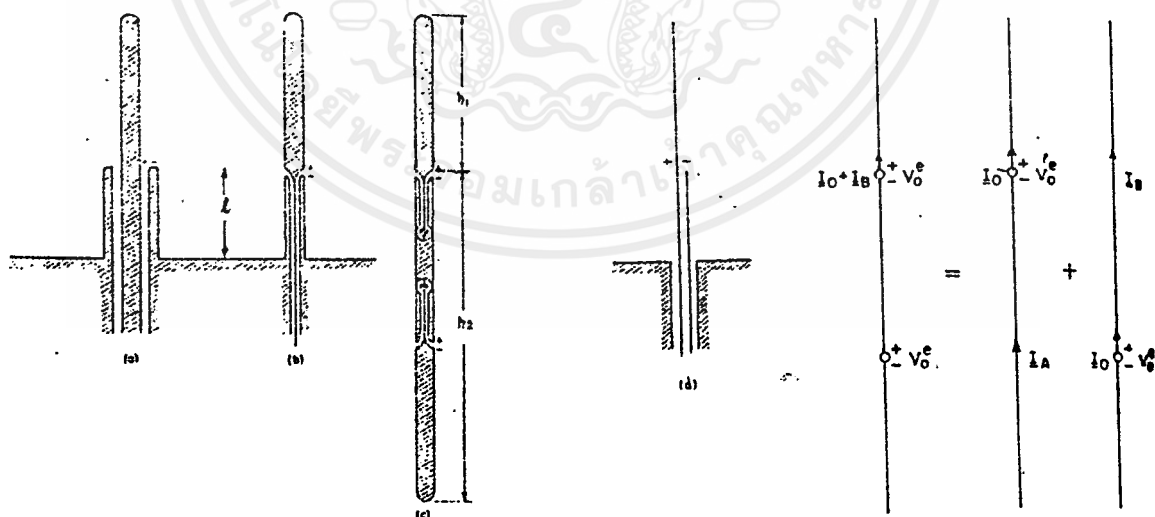
ของลิเนียร์อาร์เรย์ถูกป้อนด้วยกระแสมีเฟสเดียวกัน ซึ่งเป็นผลให้สายอากาศนี้เป็นบรอดไซด์อาร์เรย์ ที่มีแพทเทิร์นเป็นแบบอสมิไดเรคชันแนล

## 2.2 ทฤษฎีของสลีฟไดโพล (Theory of Sleeve Dipole) [5]

สายอากาศสลีฟไดโพลเป็นสายอากาศที่มีแถบความถี่กว้าง ดังแสดงในรูป 2.2 (a) และ (b) ประกอบด้วยส่วนขยายของตัวนำในแนวตั้งฉากและตัวนำนอกตลอดแนวของสายโคแอกเซียล ครอบคลุมระยะนำตัวนำในแนวนอน ซึ่งมีระยะนำตัวนำที่แตกต่างไปจากสายอากาศครึ่งคลื่นทั่วไป (Base Driven Half-Dipole) คือ เปลือกหุ้ม (Sheath) ด้านนอกของสายโคแอกเซียลไม่ได้สิ้นสุดที่ระยะนำนี้ แต่ขยายออกไปอีกเป็นระยะทาง  $l$  และส่วนป้อนสัญญาณ (Feeding Point) ย้ายจากตำแหน่ง  $z=0$  ที่ระยะนำตัวนำขึ้นไปยังตำแหน่ง  $z=l$  จากทฤษฎีเงาจะได้โครงสร้างเสมือนดังรูป 2.2 (c) ที่ทั้ง 2 แหล่งจ่ายมีค่าเท่ากัน ที่จุดปลายของระยะ  $z = \pm l$  และโครงสร้างสมมูลสายส่ง 2 สายสำหรับ รูป 2.2 (a) คือรูปที่ 2.2 (b)

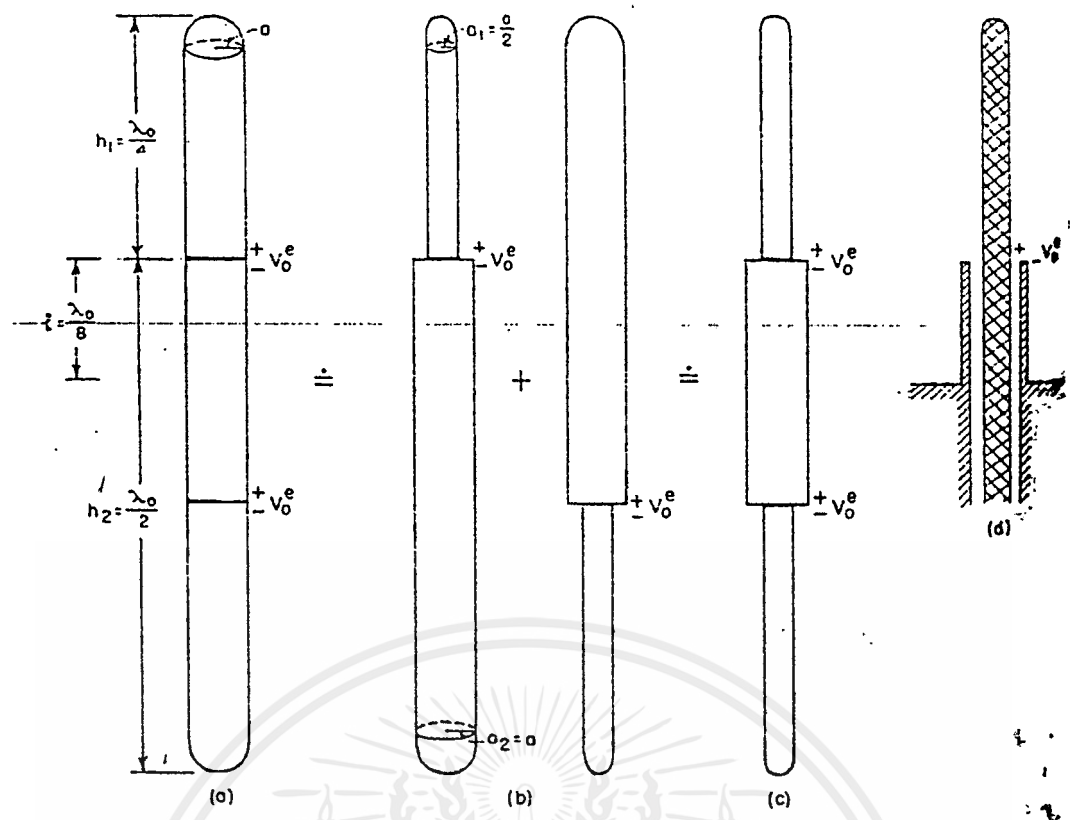
ตามสมการของแมกซ์เวลล์โดยใช้ทฤษฎีการทับซ้อน (Superposition) จะได้ว่าค่ากระแสที่จุดใดๆ ตลอดความยาวของสายอากาศ รูป 2.2 (c) เป็นค่าผลรวมของกระแสที่มาจากแหล่งกำเนิด ดังแสดงในรูปที่ 2.3

การคำนวณค่ากระแสของแหล่งกำเนิดตัวบนในสายอากาศสมมาตรทางด้านซ้ายมือในภาพ 2.3 จะได้การวิเคราะห์แบบจุดกึ่งกลางของสายอากาศโดยอาศัยการวิเคราะห์ในสายอากาศแบบไม่สมมาตร ส่วนกระแสในสายอากาศด้านขวาของรูป 2.3 หาได้จากการวิเคราะห์แบบจุดกึ่งกลางสายอากาศโดยสลับปลายสาย และผลสุดท้ายของการคำนวณหาค่ากระแสในสายอากาศด้านซ้ายมือ คือผลรวมของกระแสในสายอากาศอีก 2 สายนั่นเอง



รูปที่ 2.2 สลีฟไดโพลพร้อมภาพเงาและ  
วงจรสมมูลของสายส่ง 2 สาย

รูปที่ 2.3 การประยุกต์ใช้ทฤษฎีการทับซ้อนที่มี 2  
แหล่งจ่าย



รูปที่ 2.4 สายอากาศสมมาตรพร้อมโวลเตจขับจากสไลด์เจนเนอเรเตอร์และวงจรสมมูล

ค่าอิมพีแดนซ์ที่ปลายของแหล่งกำเนิดตัวบนในสายอากาศด้านซ้ายมือ 2.2 หาได้จากอัตราส่วนระหว่างค่าโวลเตจขับ (Driving Voltage :  $V_0^e$ ) กับกระแสรวมที่ปลายสาย ดังนี้

$$Z_{in} = V_0^e / (I_0 + I_B) = V_0^e / (I_0 + I_A) \tag{2.1a}$$

และค่าแอดมิตแตนซ์เท่ากับ

$$Y_{in} = (I_0 + I_A) / V_0^e \tag{2.1b}$$

การวิเคราะห์เชิงตัวเลขหาค่าอิมพีแดนซ์ของการแพร่กระจายกระแสในลึฟไดโพลมีความซับซ้อนมากเนื่องจากมีแฟคเตอร์หลายค่า ในรูป 2.4 (a) พิจารณากรณีเป็นสายอากาศสมมาตร เมื่อโวลเตจขับ ได้มาจากสไลด์เจนเนอเรเตอร์ (Slice Generator) หรือ ค่าความไม่ต่อเนื่องของศักย์สเกลาร์ (Discontinuities in Scalar Potential ) ให้  $\beta_0 h_1 = \pi/2$ ,  $\beta_0 h_2 = \pi$  และ  $h_2/a_2$  ดังนั้น  $\Omega_2 = 2\ln(2h_1/a_2) = 10$  เมื่อ  $h_2 = 2h_1$  ในทำนองเดียวกันกรณี  $a_2 = a_1$ ,  $\Omega_1 = 2\ln(2h_1/a_1) = 9.3$  เมื่อค่าอิมพีแดนซ์ของสายอากาศครั้งคลื่น  $h_1 = \lambda_0/4$  แปรผันตาม  $\Omega$  จะมีค่าความผิดพลาดเกิดขึ้นเล็กน้อยเมื่อ  $\Omega=10$  ซึ่งค่านี้จะมีผลกับ  $a_1 = a_2/2$  ในทางกายภาพเงื่อนไขที่  $\Omega_1 = \Omega_2 = 10$  มีความสำคัญสำหรับสายอากาศแบบไม่สมมาตร เมื่อ  $h_2 = 2h_1, a_2 = 2a_1$  แต่ไม่มีความจำเป็นสำหรับสายอากาศแบบสมมาตรที่มี 2 แหล่งจ่ายเท่าใดนัก ดังนั้นจึงเป็นการวิเคราะห์สายอากาศแบบไม่สมมาตรแต่ละคู่ในรูป 2.4 (b) ผลเฉลยจากใช้ทฤษฎีการทับซ้อนนั้นจะมีความสัมพันธ์กับโครงสร้างทางกายภาพของสายอากาศที่ส่วนขยายภายนอกแต่ละตัวไม่สามารถมีรัศมีที่เอกสารเป็นเอกสารทั้งสองส่วนไว้สำหรับการเชิงเนเพื่อการศึกษาเท่านั้น เมื่ออนุญาตให้เห็นไปใช้ประโยชน์ในการคำนวณว่ากรณีใดๆ ทั้งสิ้น อีกทั้งห้ามมิให้ดัดแปลงเนื้อหาและต้องอ้างอิงถึงเจ้าของเอกสารทุกครั้งที่มีการนำไปใช้

ต่างกันพร้อมๆ กันได้ ซึ่งจะเห็นได้ว่าสายอากาศในรูป 2.4 (d) ได้มาจากการใช้ทฤษฎีการทับซ้อนของสายอากาศ 2 ตัวในรูปที่ 2.4 (b)

ค่า  $I_0$  และ  $I_A$  ที่ตรงกลางของสายอากาศแบบไม่สมมาตรในรูป 2.3 ที่ค่า  $\Omega_1 = \Omega_2 = 10$  หาได้จากหน้า 405 มีค่าดังนี้

$$\frac{I_0}{V_0^e} = 3.98 \angle 51^\circ = 2.51 + j3.1 \text{ มิลลิแอมป์/โวลต์} \quad (2.2a)$$

$$\frac{I_A}{V_0^e} = 4.4 \angle -81^\circ = 0.68 - j4.34 \text{ มิลลิแอมป์/โวลต์} \quad (2.2b)$$

แทนค่าสมการ (2) ใน (1b) จะได้ค่าแอดมิตแตนซ์ของจุดขับที่ตรงปลายสายอากาศของแต่ละสไลด์เจเนอเรเตอร์ในสายอากาศที่มีแหล่งจ่าย 2 แหล่ง หรือ ตรงปลายของสไลด์เจเนอเรเตอร์ 1 ตัวของโครงสร้างแบบสมมาตรตามแนวตั้งบนพื้นผิวตัวนำยาวอนันต์

$$Y_{in} = (I_0 + I_A)/V_0^e = (3.18 - j1.24) \times 10^{-3} \text{ โหมห์} \quad (2.3a)$$

ซึ่งจะได้ค่าอินพุทอิมพีแดนซ์เป็น

$$Z_{in} = 273 + j106 \text{ โอห์ม} \quad (2.3b)$$

ดังนั้น การแพร่กระจายของกระแสบนสายอากาศที่มีแหล่งกำเนิด 2 ตัว ซึ่งมาจากทฤษฎีการทับซ้อน มีค่าเท่ากับ

$$[I(z)]_{sym.ant.} = [I(z) + I(-z)]_{asym.ant.} \quad (2.4)$$

เมื่อกระแสในแหล่งจ่ายตัวล่างของรูปกลางในรูป 2.3 มีค่าเท่ากับกระแสในแหล่งจ่ายตัวบนของรูปขวามีขนาดและเฟสของกระแสในสายอากาศสมมาตร 2 แหล่งกำเนิด มีค่าดังนี้

$$I = \sqrt{(I_t \cos \theta_t + I_b \cos \theta_b)^2 + (I_t \sin \theta_t + I_b \sin \theta_b)^2} \quad (2.5a)$$

เมื่อ

$$\theta_t = \tan^{-1} \left[ \frac{(I_t \sin \theta_t + I_b \sin \theta_b)}{(I_t \cos \theta_t + I_b \cos \theta_b)} \right] \quad (2.5b)$$

กำหนดให้

$$\begin{aligned} I_t &= I_t e^{j\theta_t} \equiv I(z), \\ I_b &= I_b e^{j\theta_b} \equiv I(-z) \end{aligned} \quad (2.6)$$

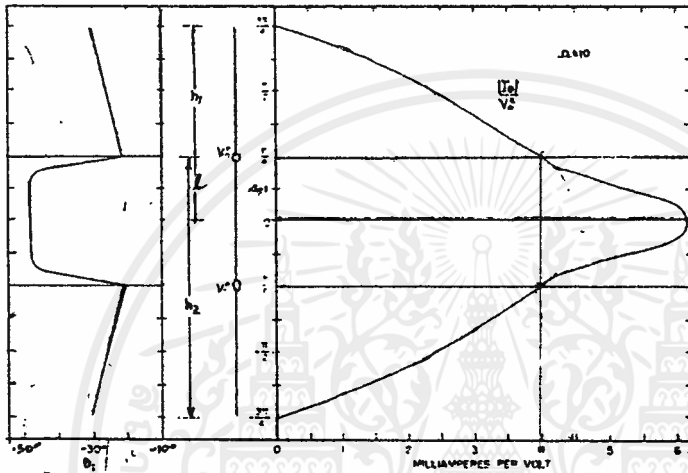
เอกสารนี้เป็นเอกสารที่สงวนไว้สำหรับการใช้งานเพื่อการศึกษาเท่านั้น ไม่อนุญาตให้นำไปใช้ประโยชน์ด้านการค้าไม่ว่ากรณีใดๆ ทั้งสิ้น อีกทั้งห้ามมิให้ตัดแปลงเนื้อหาและต้องอ้างอิงถึงเจ้าของเอกสารทุกครั้งที่มีการนำไปใช้

โดย

$I$  = ขนาดของกระแส

$\theta_r$  = เฟสของกระแส ทั้ง  $I$  และ  $\theta_r$  นี้จะหมายถึง  $V_0^e$

ซึ่งสามารถแสดงได้ดังรูปที่ 2.5 โดย  $\beta_0 h_1 = \pi/2$ ,  $\beta_0 h_2 = \pi$  และ  $\Omega_1 = \Omega_2 = 10$  กระแสที่ไหลในส่วนกลางของสายอากาศระหว่างแหล่งกำเนิดทั้ง 2 นั้น จะมีความสัมพันธ์และมีความแตกต่างทางเฟสจากกระแสส่วนนอกประมาณ 25 องศาจากค่าเฉลี่ย



รูปที่ 2.5 ค่ากระแสในสลิฟไดโพลตามทฤษฎีและภาพเงา

ค่าแอดมิตแตนซ์และอิมพีแดนซ์ของสายอากาศ (Base Driven Antenna) โดยมีความยาวอิลเลคตริก (Electric Length)  $\beta h = 3\pi/4$ ,  $\Omega = 10$  บนตัวนำสมมาตร คือ

$$Y_0 = (2.8 - j11) \times 10^{-3} \quad \text{โมห์,}$$

$$Z_0 = 310 + j122 \quad \text{โอห์ม} \quad (2.7)$$

ซึ่งค่าเหล่านี้จะไม่ต่างจากค่าใน (2.3a,b) นัก โดยได้จากสายอากาศตัวเดียวกัน เมื่อจุดขั้วอยู่ที่ตำแหน่ง  $\lambda/8$  จากระนาบตัวนำ

ค่าของอิมพีแดนซ์ (2.3b) และกระแสในส่วนบนดังรูป 2.5 เป็นค่าโดยประมาณที่ปลายสาย และกระแสบนสลิฟไดโพล ดังรูป 2.4 (d) จะขึ้นอยู่กับความยาวของสลิฟ และ รอยต่อระหว่างปลายสายโคแอกเซียลที่ ซึ่งมีการป้อนค่าโวลเตจขั้วและเป็นจุดปลายสาย บริเวณพื้นผิวที่มีมากหรือน้อยของสายอากาศรวมทั้งพื้นที่บริเวณปลายสายนั้น จะมีผลทำให้เกิดการสะสมประจุได้ บางครั้งอาจมีการสะสมที่บริเวณสารไดอิเล็กตริก บริเวณใกล้ๆ หรืออาจเกิดจากระยะห่างระหว่างตัวนำในและตัวนำนอกที่ ซึ่งหมายถึงการเกิดผลกระทบของสายส่ง (Transmission Line End Effects) และ ผลกระทบการคัปปลิงสัญญาณ (Coupling Effects) ขึ้น

เอกสารนี้เป็นเอกสารที่สงวนไว้สำหรับใช้เพื่อการศึกษาเท่านั้น ไม่อนุญาตให้เผยแพร่โดยไม่ได้รับอนุญาตจากผู้จัดทำ  
ไม่ว่ากรณีใดๆ ทั้งสิ้น อีกทั้งห้ามมิให้ตัดแปลงเนื้อหาและต้องอ้างอิงถึงเจ้าของเอกสารทุกครั้งที่มีการนำไปใช้

ระหว่างสายโคแอกเชียลและ สายอากาศ ซึ่งในการวิเคราะห์สายอากาศแบบทรงกระบอกจะไม่ได้รวมเอาผลกระทบบดงกล่าวเข้าไปด้วย จึงได้ค่าอิมพีแดนซ์ของสลิปไดโพลที่แตกต่างจากทฤษฎี ถ้าระยะห่างระหว่างตัวนำนอกกับตัวนำในของสายโคแอกเชียล  $(b-a)$  มีค่าน้อย พร้อมทั้งสารไดอิเล็กตริกและพื้นผิวที่ทำให้เกิดการสะสมประจุ ทำหน้าที่เสมือนวงจรสมมูลของตัวคาปาซิแตนซ์ที่ต่อขนานอยู่กับสายอากาศ ความต้านทานที่วัดได้จะน้อยกว่าทฤษฎี และค่ารีแอคแตนซ์จะมีค่าลบมากกว่าตามอุดมคติ ถ้าเส้นผ่าศูนย์กลางของสลิปใหญ่กว่าสายอากาศจะทำให้การประมาณค่าไม่ใกล้เคียงเท่ากับกรณีที่มีเส้นผ่าศูนย์กลางที่ใกล้เคียงกับสายอากาศ

ใช้การวิเคราะห์เชิงตัวเลขสำหรับคำนวณอินพุทอิมพีแดนซ์เมื่อมีการเปลี่ยนความยาวของสลิปเพื่อนำไปใช้ในการหาการแพร่กระจายกระแส อย่างไรก็ตามพฤติกรรมของสายอากาศที่เป็นฟังก์ชันของความถี่ของอินพุทอิมพีแดนซ์ตามรูปกระแสใน 30.4 ซึ่งคำนวณได้โดยใช้ข้อมูลของกระแสและค่าอิมพีแดนซ์ตามที่ทำค่าได้

สมมติให้ความถี่มีค่า  $f_0$  สำหรับ  $\beta_0 h_1 = \pi/2, \beta_0 h_2 = \pi, \beta_0 \ell = \pi/4$  และความเร็วเชิงมุมมีค่าเท่ากับ  $\omega_0$  สำหรับช่วงความถี่เปลี่ยนแปลงจาก  $\omega_0 - \Delta\omega$  ถึง  $\omega_0 + \Delta\omega$  เมื่อ  $\Delta\omega = \omega_0/4$  ซึ่งความยาวไดอิเล็กตริกแบ่งได้ดังนี้

$$\frac{3}{4}\omega_0 \leq \omega \leq \frac{5}{4}\omega_0 : \begin{cases} \frac{3\pi}{8} \leq \beta_0 h_1 \leq \frac{5\pi}{8} \\ \frac{3\pi}{4} \leq \beta_0 h_2 \leq \frac{5\pi}{4} \\ \frac{3\pi}{16} \leq \beta_0 \ell \leq \frac{5\pi}{10} \end{cases} \quad (2.8)$$

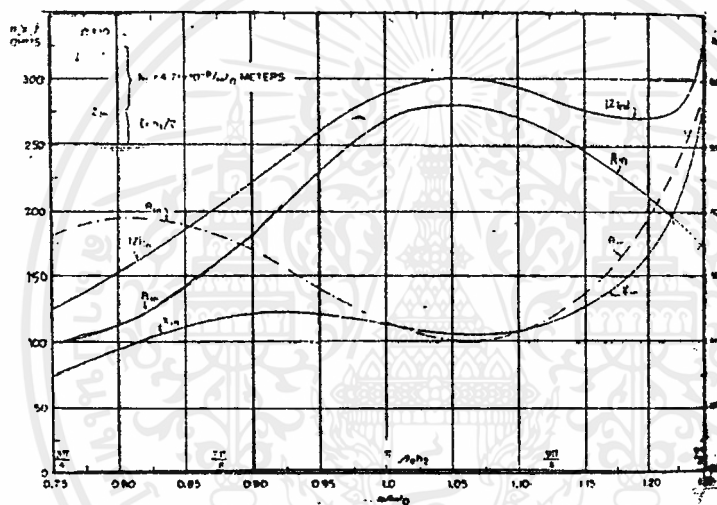
ค่าอินพุทอิมพีแดนซ์และแอดมิตแตนซ์ที่แหล่งกำเนิด  $z = \ell$  มีค่าตามสมการ (2.1a,b) ในการคำนวณหาแอดมิตแตนซ์ หรืออิมพีแดนซ์ บนช่วงนี้จะเป็นจะต้องรู้  $I_0$  ที่จุดซบที่ระยะ  $z = -\ell$  ซึ่งจะได้ค่าอิมพีแดนซ์และ  $I_A$  ในสายอากาศที่ไม่สมมาตร สำหรับ  $\beta_0 h_1 = \pi/2, 3\pi/4, \pi, 5\pi/4$  การคำนวณหาค่ากระแสที่ต้องการสามารถหาได้จากช่วง (2.8) คือ  $\beta_0 h_2 = 3\pi/4, \pi, 5\pi/4$  และค่ากลาง  $\beta_0 h_2 = \pi$  การหาค่ากระแสส่วนล่างที่ 2 ของสายอากาศแบบไม่สมมาตรหาได้จากกระแสในครึ่งล่างของสายอากาศแบบสมมาตรคูณกับ  $z_2/z_1 + z_2$  เมื่อ  $z_1$  และ  $z_2$  คืออิมพีแดนซ์ของสายอากาศสมมาตรของความยาว  $h_1$  และ  $h_2$  ตามลำดับ ค่าอิมพีแดนซ์เหล่านี้  $\left(\frac{I_0}{V_0^e} = Y_2\right)$  สามารถหาได้จากช่วงที่กำหนดให้เช่น  $3\pi/8 \leq \beta_0 h_1 \leq 5\pi/8, 3\pi/4 \leq \beta_0 h_2 \leq 5\pi/4$  โดยใช้ค่าอิมพีแดนซ์และแอดมิตแตนซ์จากบทที่ 2 ของ [1] (หน้า 30)

กระแส  $I_A$  หาได้จากเส้นกราฟการแพร่กระจายกระแสอันดับที่ 2 (Second Order) แต่สามารถหาค่าได้เฉพาะในช่วง  $\beta_0 h = 3\pi/4$  ในการประมาณค่าของการเปลี่ยนแปลง  $I_A/V_0^e$  สามารถหาได้จากการพลอตกราฟของขนาดและเฟสทั้งจริงและจินตภาพของ  $I_A$  ในฟังก์ชันของ  $\beta_0 h$  จากนั้นใช้การเปลี่ยนค่า (Interpolate) ค่าจากกราฟเหล่านี้จะได้ค่าประมาณของอิมพีแดนซ์ของสลิปไดโพล ซึ่งสามารถคำนวณได้มากกว่าช่วงความถี่ที่กำหนดได้ โดย

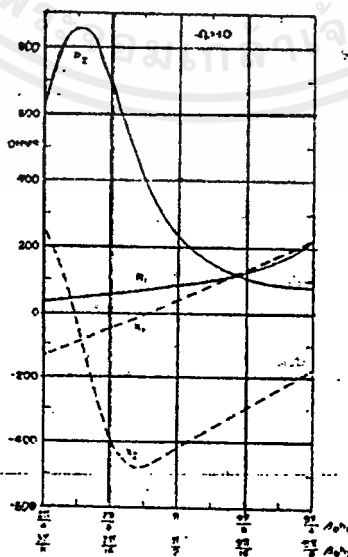
$$\frac{1}{Z_m} = Y_m = 2 \left( \frac{I_0 + I_A}{V_0^e} \right) \left( \frac{z_2}{z_1 + z_2} \right) \quad (2.9)$$

โดยที่  $I_0$  และ  $I_A$  คือ ค่าที่หาได้จากเส้นกราฟอันดับที่ 2 ของบทที่ 2 (หน้า 22) ในเทอมของแหล่งกำเนิดตัวเดียวกับ  $V_0^e$  ข้อจำกัดกรณีนี้คือ  $z = \ell = 0$  ดังนั้นที่จุดกลางของสายอากาศจะมีโวลเตจ เท่ากับ  $2V_0^e$

กราฟที่แสดงอินพุทอิมพีแดนซ์  $Z_m = R_m + jX_m = Z_m e^{j\theta_m}$  ของสลีฟไดโพลในรูปที่ 2.6 ซึ่งเป็นฟังก์ชันของ  $\beta_0 h_2$  และ  $\omega/\omega_0$  สำหรับการเปรียบเทียบตัวแปรใน  $Z_1 = R_1 + jX_1$  และ  $Z_2 = R_2 + jX_2$  ของสายอากาศแบบสมมาตรของความยาวไฟฟ้าครึ่งคลื่นในช่วง  $3\pi/8 \leq \beta_0 h_1 \leq 5\pi/8$  และ  $3\pi/4 \leq \beta_0 h_2 \leq 5\pi/4$  ตามที่แสดงในรูป 2.7 จะเห็นได้ว่าค่ารีแอกแตนซ์มีค่าคงที่เข้าใกล้ 110 โอห์ม โดย  $x_1$  และ  $x_2$  มีการเปลี่ยนแปลงกว้างมากทั้งด้านบวกและด้านลบ ส่วนค่า  $R_m$  ของสลีฟไดโพลเปลี่ยนแปลงภายใน 50 เพอร์เซ็นต์ของค่าเฉลี่ยซึ่งเข้าใกล้ 200 โอห์ม ส่วน  $R_2$  จะอยู่ในช่วง 80-850 โอห์ม และ  $R_1$  จะเปลี่ยนแปลงเกินช่วงใกล้ 100 เพอร์เซ็นต์ จากค่าเฉลี่ยคือ 110 โอห์ม



รูปที่ 2.6 ค่าอิมพีแดนซ์ของสลีฟไดโพลตามทฤษฎี



รูปที่ 2.7 ค่าอิมพีแดนซ์ของสายอากาศสมมาตรแบบจุดขั้วตรงกลาง

เอกสารนี้เป็นเอกสารที่สงวนไว้สำหรับการใช้งานเพื่อการศึกษาเท่านั้น ไม่อนุญาตให้นำไปใช้ประโยชน์ด้านการค้าไม่ว่ากรณีใดๆ ทั้งสิ้น อีกทั้งห้ามมิให้ตัดแปลงเนื้อหาและต้องอ้างอิงถึงเจ้าของเอกสารทุกครั้งที่มีการนำไปใช้

เมื่อพิจารณาทางด้านความถี่ของคลื่นไดโพลจะพบว่ามันสามารถทำงานได้ในช่วงที่กว้างขึ้นมากกว่า ทั้งไดโพลครึ่งคลื่นและเต็มคลื่น และถ้าต้องการช่วงแบนด์วิดท์ที่กว้างแบบนี้ควรที่จะออกแบบระบบแมทชิ่ง (Reactive Matching Network) ให้ค่า SWR บนคลื่นไดโพลดีขึ้นนั่นเอง

ตามวิธีการคำนวณในวิเคราะห์สายอากาศคลื่นไดโพลของเทเลอร์ (Taylor) เมื่อคลื่นไดโพลประกอบด้วย 2 ส่วนนั้น ไทรอลฟังก์ชัน (Taylor Function) สำหรับการแพร่กระจายกระแสจะยิ่งซับซ้อนมากขึ้น สำหรับสายอากาศนั้นจะมีข้อจำกัดคือ

$$\beta_0(h_1 + \ell) < 2\pi, \beta_0\ell < \pi \quad (2.10)$$

โดย

$\ell$  = ระยะจากกราวด์เพลน  $z=0$  ถึงจุดจับ  $z=\ell$

$h_1$  = ระยะจากจุดจับ  $z=\ell$  ถึงจุดปลายของสายอากาศ

โดยมีสมการต่อไปนี้เป็นไทรอลฟังก์ชัน

$$I_{zT} = I_{IT} [1 + C(\alpha + \cos \beta_0 z)], \quad (0 \leq z \leq \ell) \quad (2.11a)$$

$$I_{zT} = I_{IT} \{ \delta [1 - \cos \beta_0(h_1 + \ell - z)] + D[\sin \beta_0(h_1 + \ell - z) + \varepsilon \{1 - \cos \beta_0(h_1 + \ell - z)\}] \} \quad (2.11b)$$

โดย  $\alpha = -\cos \beta_0\ell, \delta = 1/(1 - \cos \beta_0 h), \varepsilon = -\sin \beta_0 h / (1 - \cos \beta_0 h_1)$  (2.11c)

และ  $I_{IT}$  = กระแสที่จุดจับ

C, D = ค่าคงที่เชิงซ้อน

แทนสมการ (2.11a), (2.11b) ลงในสมการอินทิกรัลในบทที่ 2 หน้า 39 (สมการที่ 13) เพื่อหาค่ากระแส ค่าประมาณของอิมพีแดนซ์ของคลื่นไดโพลหาได้ดังนี้

$$Z_m = \frac{j\zeta_0}{4\pi} (\gamma_0 + \gamma_c C + \gamma_D D + \gamma_{cc} C^2 + \gamma_{DD} D^2 + \gamma_{CD} CD) \quad (2.12)$$

โดย  $\gamma$ 's คือค่าฟังก์ชันอย่างยาวของ  $\beta_0 h_1, \beta_0 \ell, \beta_0 a$  และการรวมของพจน์เหล่านี้ ซึ่งมีความสอดคล้องกับตรีโกณมิติและรูปร่างทั่วไปของอินทิกรัลของไซน์และโคไซน์ในรูปแบบตาราง

เมื่อ  $Z_m$  จาก (2.12) อยู่ในรูป C, D เราสามารถหาค่าที่ดีที่สุดของ C, D ได้โดยให้  $\frac{\partial Z_m}{\partial C} = 0$  และ  $\frac{\partial Z_m}{\partial D} = 0$

$$C = \frac{\gamma_D \gamma_{CD} - 2\gamma_C \gamma_{DD}}{4\gamma_{CC} \gamma_{DD} - \gamma_{CD}^2} \quad (2.13a)$$

$$D = \frac{\gamma_C \gamma_{CD} - 2\gamma_D \gamma_{CC}}{4\gamma_{CC} \gamma_{DD} - \gamma_{CD}^2} \quad (2.13b)$$

แทนสมการ (2.13a), (2.13b) ใน (2.11a, b) และ (2.12) จะได้สูตรของเทเลอร์ (Taylor's Formular) สูตรสุดท้าย เพื่อหาค่า  $I_z$  และอินพุทอิมพีแดนซ์ ( $Z_m$ )

ในการคำนวณเชิงตัวเลขของ  $\gamma$  ใน (2.12), (2.13a, b) จะมีความยุ่งยากมาก ดังนั้นเทเลอร์จึงแนะนำ ไทรอลฟังก์ชันที่ง่าย ๆ เพื่อหากระแสในทั้ง 2 ส่วนซึ่งฟังก์ชันนี้ จะมีความแม่นยำน้อย และใช้ได้เมื่อ  $\beta_0 h_1 \leq \pi/2$  เท่านั้น นั่นคือ

- เอกสารนี้เป็นเอกสารที่สงวนไว้สำหรับการใช้งานเพื่อการศึกษาเท่านั้น ไม่อนุญาตให้นำไปใช้ประโยชน์ด้านการค้า  
ไม่ว่ากรณีใดๆ ทั้งสิ้น อีกทั้งห้ามมิให้ตัดแปลงเนื้อหาและต้องอ้างอิงถึงเจ้าของเอกสารทุกครั้งที่มีการนำไปใช้

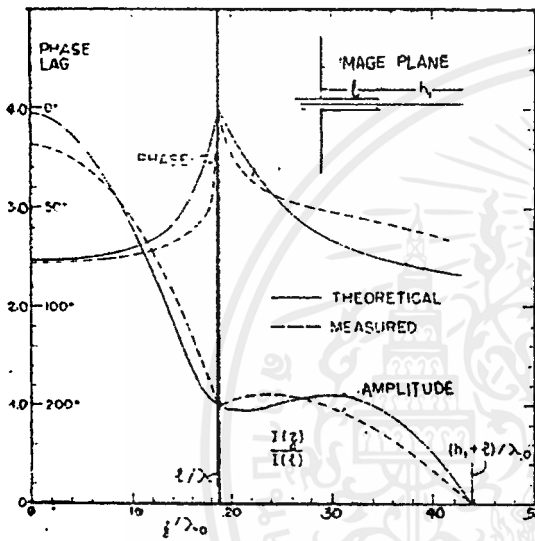
$$I_{zr} = I_{zl} [1 + C(\cos \beta_0 z - \cos \beta_0 h)], \quad (0 \leq z \leq \ell) \quad (2.14a)$$

$$I_{zr} = I_{zl} \frac{\sin \beta_0 (h_1 + \ell - z)}{\sin \beta_0 h_1}, \quad (\ell \leq z \leq h_1 + \ell) \quad (2.14b)$$

เมื่อ  $C = -\gamma_{cc}/2\gamma_{cc}$  แล้ว

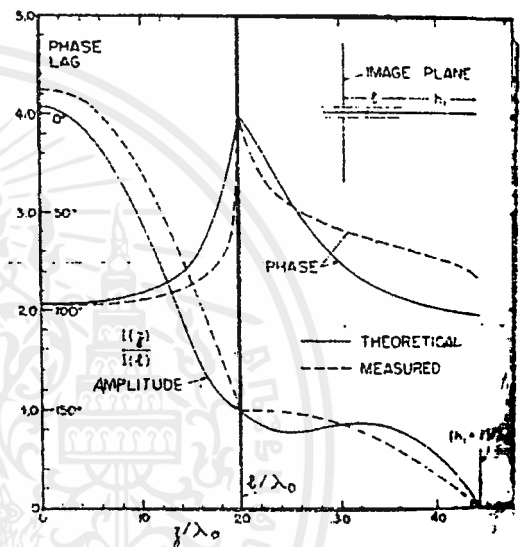
$$Z_a = \frac{j\zeta_0}{4\pi} \left( \gamma_0 - \frac{\gamma_0^2}{4\gamma_{cc}} \right) \quad (2.15)$$

โดย  $\gamma$  เป็นฟังก์ชันซูดใหม่ของ  $\beta_0 h_1, \beta_0 \ell, \beta_0 a$  ซึ่งยังสอดคล้องกับตรีโกณมิติและอินทิกรัลของไฮนัมและโคไฮนัมอยู่



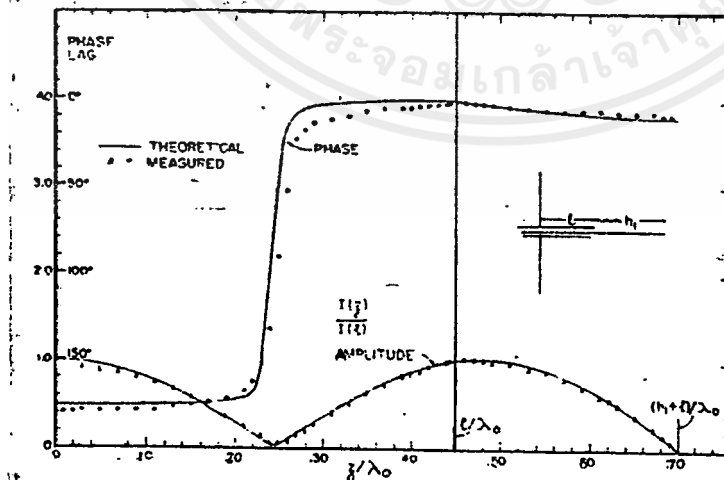
รูปที่ 2.8 (a) กระแสบนสายอากาศลัดที่

$$\ell = 0.188 \lambda, h_1 = 0.25 \lambda$$



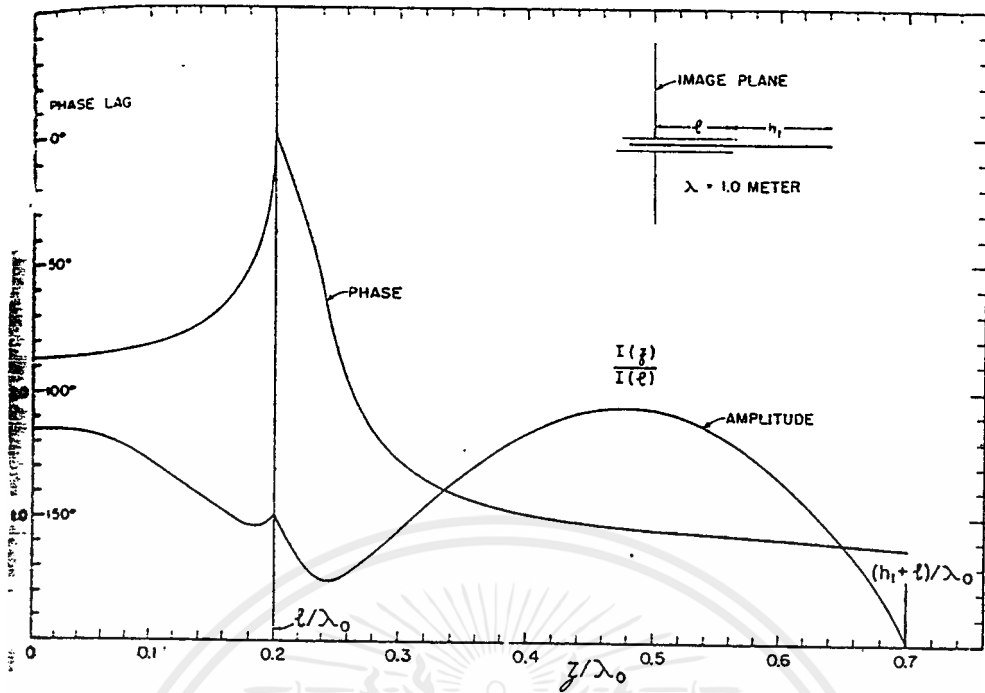
รูปที่ 2.8 (b) กระแสบนสายอากาศลัดที่

$$\ell = 0.20 \lambda, h_1 = 0.25 \lambda$$



รูปที่ 2.8 (c) กระแสบนสายอากาศลัดที่  $\ell = 0.45 \lambda, h_1 = 0.25 \lambda$

เอกสารนี้เป็นเอกสารที่สงวนไว้สำหรับการใช้งานเพื่อการศึกษาเท่านั้น ไม่อนุญาตให้นำไปใช้ประโยชน์ด้านการค้า  
ไม่ว่ากรณีใดๆ ทั้งสิ้น อีกทั้งห้ามมิให้ตัดแปลงเนื้อหาและต้องอ้างอิงถึงเจ้าของเอกสารทุกครั้งที่มีการนำไปใช้



รูปที่ 2.8 (d) กระแสบนสายอากาศสลิปที่  $l = 0.20 \lambda$ ,  $h_1 = 0.5 \lambda$

ในการทดลองวัดค่าของกระแสและอิมพีแดนซ์โดยเทเลอร์ โดยใช้สายอากาศที่มีความยาวทั้งหมดเป็น  $h_1 + l$  และสลิปยาว  $l$  ในการวัดค่าแอมพลิจูดและเฟสของกระแสบนโครงสร้างของสายอากาศดังกล่าว และกระแสบนสายโคแอกเซียลที่ป้อนสัญญาณให้กับส่วนสลิปด้วย โดยจะใช้สายโพรบขนาดเล็ก

จากรูปที่ 2.8 (a,b,c,d) จะพบว่าค่าที่ได้จากการวัดมีความใกล้เคียงกับค่าทางทฤษฎีพอสมควร และอยู่ในขั้นที่ยอมรับได้ โดยทางทฤษฎีนั้นจะใช้การคำนวณสูตรแบบสั้น (2.14 a,b) ที่ค่า  $l, h$  ต่างๆ กัน และที่  $z = l$  จะได้ค่าจากการคำนวณเท่ากับค่าจากการทดลอง

### 2.3 ทฤษฎีความเป็นหนึ่ง (Uniqueness Theorem) [4]

เมื่อไรก็ตามที่มีการแก้ปัญหาสมการทางแม่เหล็กไฟฟ้า มักจะได้คำตอบเพียงคำตอบเดียวเสมอ ซึ่งเราจะต้องรู้ถึงสภาวะ, ข้อมูลต่างๆ ที่จะได้มาซึ่งคำตอบนั้น สนามจากแหล่งกำเนิดที่แพร่กระจายในตัวกลางที่มีการสูญเสียจะมีค่าความเป็นหนึ่งภายในตัวกลางนั้นเมื่อมีคุณสมบัติ 3 ข้อ ตามทฤษฎีความเป็นหนึ่งกล่าวไว้ ดังต่อไปนี้

1. องค์ประกอบในแนวสัมผัสของ สนามไฟฟ้า (E) อยู่เหนือขอบเขต
2. องค์ประกอบในแนวสัมผัสของ สนามแม่เหล็ก (H) อยู่เหนือขอบเขต
3. มีองค์ประกอบในแนวสัมผัสของสนามไฟฟ้าอยู่เหนือขอบเขตและมีองค์ประกอบในแนวสัมผัสของสนามแม่เหล็กอยู่เหนือส่วนที่เหลือ

โดยทั่วไปแล้ว ทฤษฎีความเป็นหนึ่งจะใช้ไม่ได้กับตัวกลางที่ไม่มีการสูญเสีย ในการพิจารณาทฤษฎีในกรณีนี้ จะกำหนดให้สนามที่แพร่กระจายเข้าใกล้ศูนย์ ซึ่งสามารถกำหนดให้เป็นขอบเขตของสนามในตัวเอกสารนี้เป็นเอกสารที่สงวนไว้สำหรับการใช้งานเพื่อการศึกษาเท่านั้น ไม่อนุญาตให้นำไปเผยแพร่ในเชิงพาณิชย์ไม่ว่ากรณีใดๆ ทั้งสิ้น อีกทั้งห้ามมิให้ดัดแปลงเนื้อหาและต้องอ้างอิงถึงเจ้าของเอกสารทุกครั้งที่มีการนำไปใช้

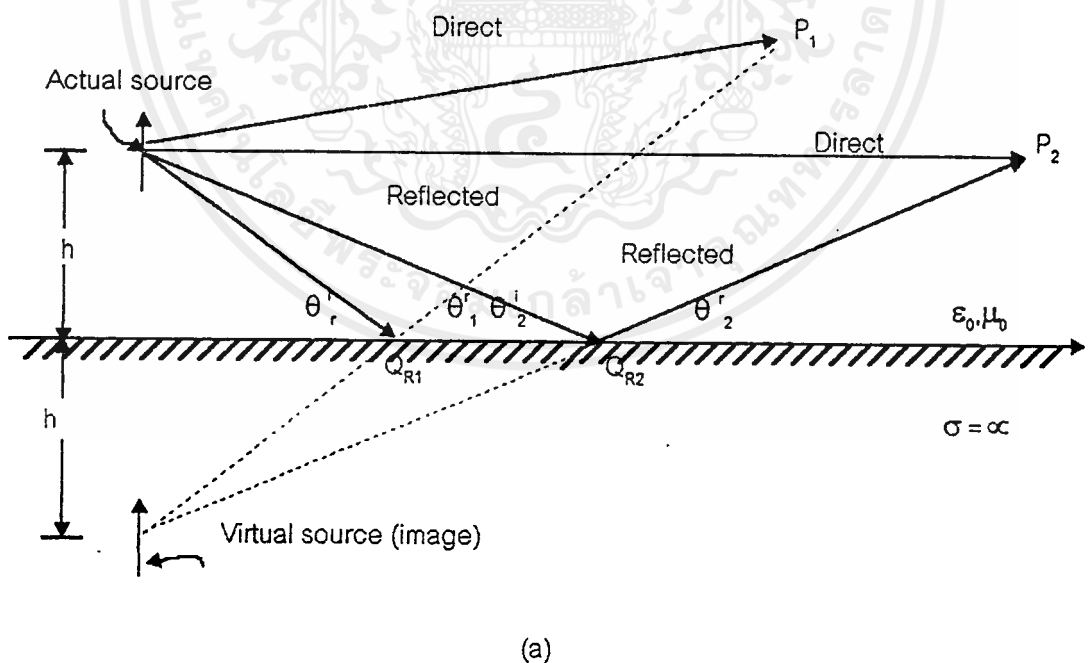
กลางที่มีการสูญเสียได้ (ในตัวกลางที่มีการสูญเสียจะเกิดสนามขึ้นมากมาย) อย่างไรก็ตาม คำตอบของ ทฤษฎีความเป็นหนึ่งของตัวกลางที่ไม่มีการสูญเสียนี้ มีวิเศษเฉพาะของมันเองในการหาซึ่งอาจจะไม่เหมือนกับ เงื่อนไขข้างต้นก็ได้

## 2.4 ทฤษฎีเงา (Image Theory) [4]

การแก้ปัญหากรณีมีสิ่งกีดขวางวางอยู่ใกล้กับแหล่งแพร่กระจายคลื่นสามารถทำได้โดยการพิจารณา คุณสมบัติของการแพร่กระจายคลื่นทั้งหมด ในทางปฏิบัติสิ่งกีดขวางที่มักจะเจอเสมอคือพื้นดิน คลื่นที่แพร่ กระจายจะตกกระทบที่พื้นและสะท้อนกลับ โดยปริมาณคลื่นสะท้อนกลับและทิศทางจะขึ้นอยู่กับโครงสร้าง และองค์ประกอบของพื้นดินนั้นๆ

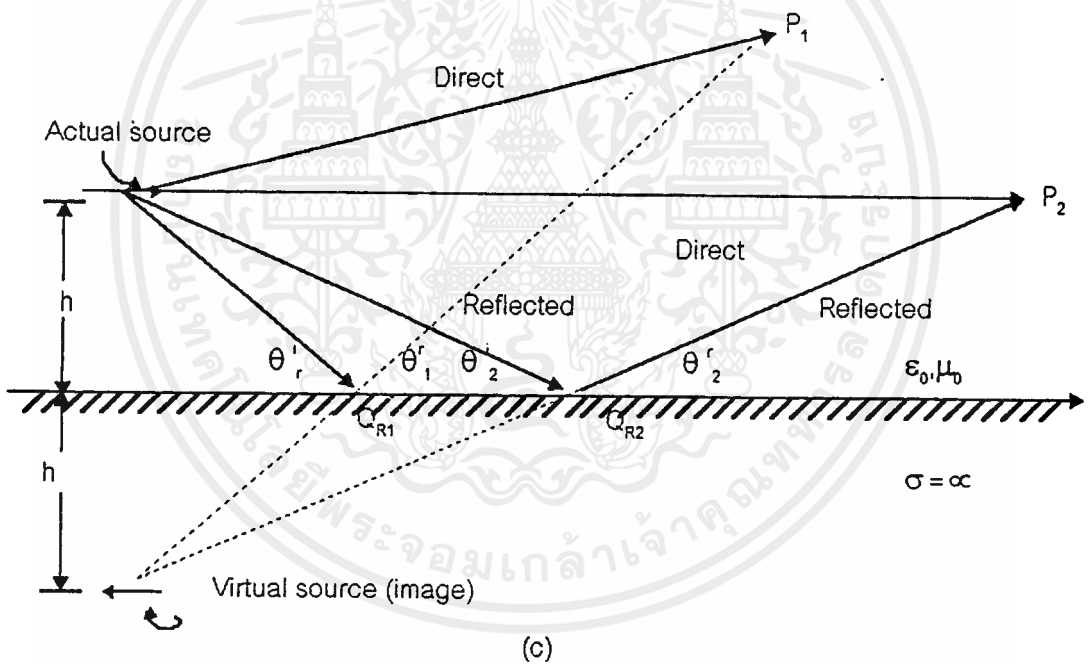
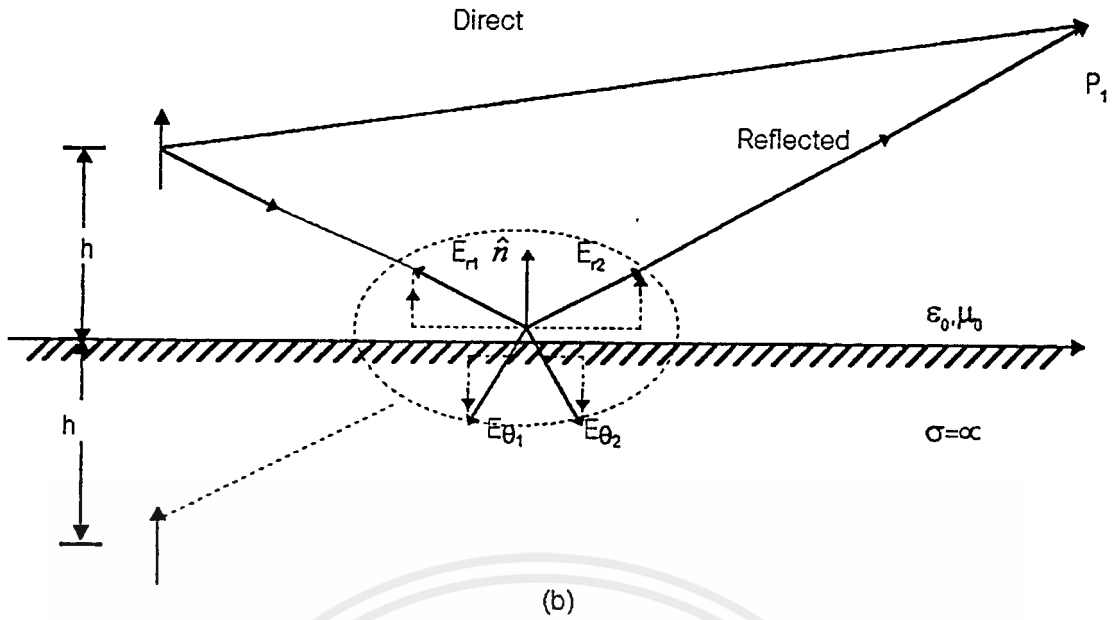
โดยทั่วไป พื้นดินจัดเป็นตัวกลางที่มีการสูญเสีย ซึ่งค่าความนำ ( $\sigma$ ) จะเพิ่มขึ้นตามความถี่จึงเสมือน ว่าพื้นดินเป็นตัวนำที่ดัดซึ่งขึ้นอยู่กับค่าความถี่ที่เป็นองค์ประกอบ ในการวิเคราะห์อย่างง่าย เราจะสมมติให้ พื้นดินเป็นตัวนำสมบูรณ์ (Perfect Conductor) รูปร่างแบน และไร้ขอบเขต (Infinite) ซึ่งสามารถนำข้อสมมติ นี้ไปใช้กับแหล่งกำเนิดคลื่นอื่นๆ ที่อยู่ใกล้วัตถุที่เป็นตัวนำสมบูรณ์ รูปร่างแบน และไร้ขอบเขตได้ แต่ในทาง ปฏิบัติไม่สามารถสร้างเงื่อนไขดังกล่าวได้ แต่เราสามารถสมมติ (ในทางไฟฟ้า) ให้มันมีขนาดใหญ่มากๆ ได้

ในการวิเคราะห์แหล่งแพร่กระจายคลื่นที่ใกล้ตัวนำสมบูรณ์ จะใช้รูปเงา (Image) เพื่อหาคลื่นสะท้อน กลับ ดังนั้นแหล่งกำเนิดใหม่จึงเป็นเพียงแหล่งกำเนิดเสมือน ที่อ้างอิงจากแหล่งกำเนิดจริง โดยจะพิจารณาให้ แหล่งกำเนิดเสมือนมีการแพร่กระจายคลื่นเหนือตัวนำเหมือนกับแหล่งกำเนิดจริง ดังรูป



รูปที่ 2.9 ไดโพลตั้งฉากและแหล่งกำเนิดเสมือน แสดงคลื่นสะท้อนกลับจากตัวนำสมบูรณ์ไร้ขอบเขต (a) แหล่งกำเนิดจริงและแหล่งกำเนิดเสมือน (b) องค์ประกอบของสนามที่จุดตกกระทบ (c) คลื่นตรงและคลื่นสะท้อนกลับ

เอกสารนี้เป็นเอกสารที่สงวนไว้สำหรับการใช้งานเพื่อการศึกษาเท่านั้น ไม่อนุญาตให้นำไปใช้ประโยชน์ด้านการค้า ไม่ว่ากรณีใดๆ ทั้งสิ้น อีกทั้งห้ามมิให้ดัดแปลงเนื้อหาและต้องอ้างอิงถึงเจ้าของเอกสารทุกครั้งที่มีการนำไปใช้



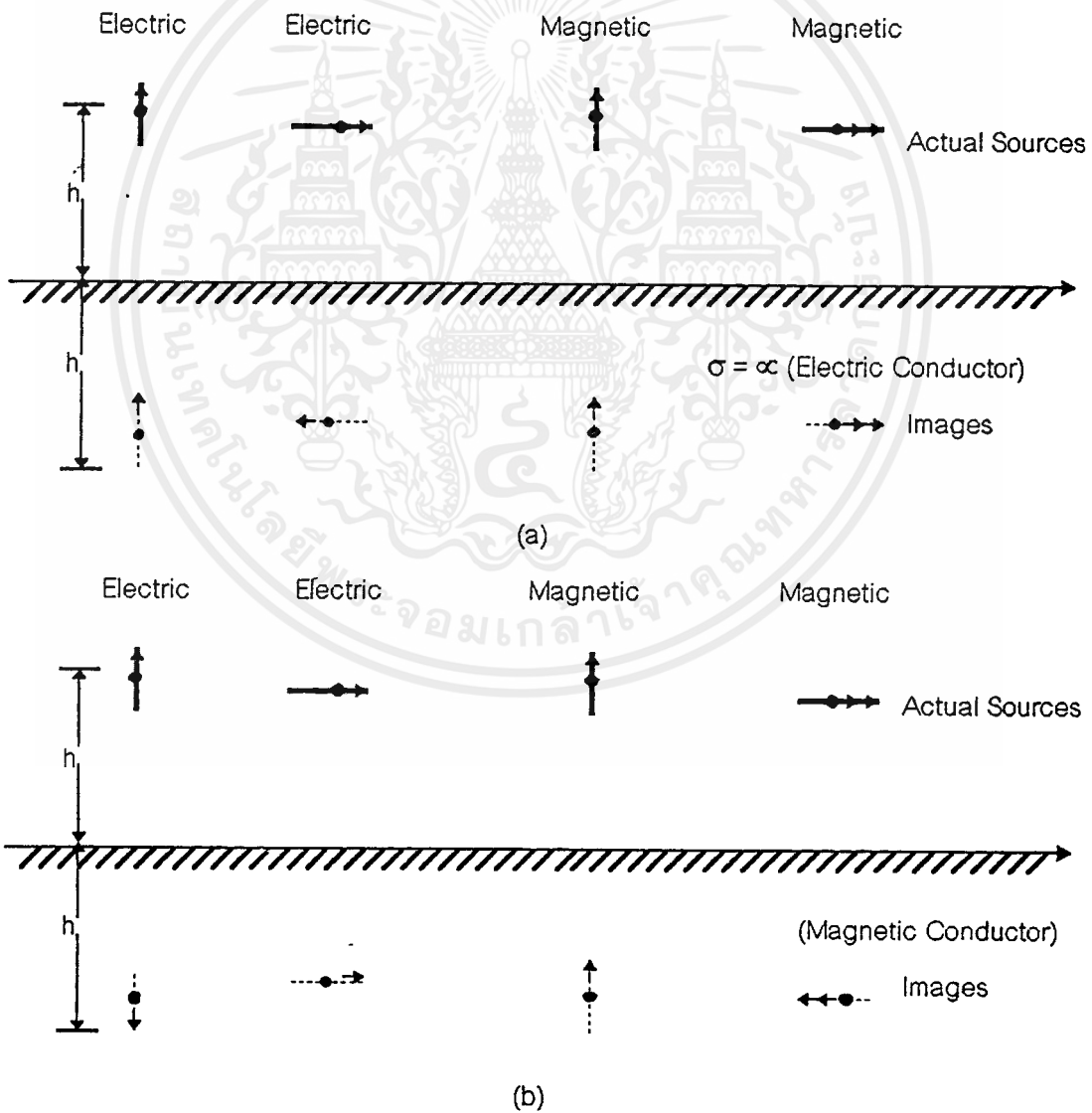
รูปที่ 2.9 (ต่อ) .

สนามจากแหล่งกำเนิดเสมือนจะไม่ใช้ค่าสนามที่แท้จริง จึงมีค่าเป็น 0 ซึ่งค่าสนามจากแหล่งกำเนิดเสมือนเป็นค่าที่ไม่จำเป็นสำหรับการคำนวณ

กำหนดให้  $h$  เป็นระยะห่างจากไดโพลในแนวตั้งฉาก ( Vertical Electric Dipole) มายังตัวนำสมบูรณ์ ดังรูปที่ 2.9 (a) สมมติให้ไม่มีการเกิดการมีขวลคัปปลิงสัญญาณ ( Mutual Coupling) พลังงานจากแหล่งกำเนิดจริงจะแพร่กระจายไปทุกทิศทุกทาง จะมีคลื่นตรง (Direct Wave) เดินทางมายังจุดสังเกต  $P_1$  และมีคลื่นเดินทางไปยัง  $R_1$  ที่รอยต่อ และสะท้อนกลับขึ้นไปคำนวณได้จากการใช้กฎของการสะท้อนกลับ คือ  $\theta_r = \theta_t$  ซึ่งเป็นไปตามหลักที่พลังงานคลื่นในตัวกลางเนื้อเดียวนั้นเดินทางเป็นเส้นตรงไปตามระยะไม่ว่ากรณีใดๆ ทั้งสิ้น อีกทั้งห้ามมิให้ตัดแปลงเนื้อหาและต้องอ้างอิงถึงเจ้าของเอกสารทุกครั้งที่มีการนำไปใช้

ทางสั้นๆ และเมื่อ ขยายระยะทางจริงลงมาได้รอยต่อ ทำให้เสมือนว่าคลื่นมีการแพร่กระจายจากแหล่งกำเนิดเสมือนที่อยู่ห่างจากรอยต่อเป็นระยะทาง  $h$  เท่ากับระยะห่างจากรอยต่อถึงแหล่งกำเนิดจริง สำหรับจุด  $P_2$  จะมีคลื่นสะท้อนจากจุด  $R_2$  และถ้าลากเส้นตรงจากระยะทางจริงลงมายังได้รอยต่อก็จะได้ข้อสรุปเหมือนจุด  $P_2$  เงื่อนไขดังกล่าวสามารถใช้ได้กับจุดทุกจุดที่อยู่เหนือรอยต่อนั่นเอง

โดยทั่วไปปริมาณคลื่นสะท้อนกลับจะคำนวณ โดยอาศัยองค์ประกอบของตัวกลางที่อยู่ได้รอยต่อ ตามความสัมพันธ์ดังที่ได้กล่าวมาแล้วข้างต้น สำหรับตัวนำสมบูรณ์ได้รอยต่อ คลื่นตกกระทบจะมีการสะท้อนกลับหมดคือมีค่าสนามเป็น 0 ที่รอยต่อ ตามเงื่อนไขรอยต่อจะไม่มีค่าองค์ประกอบทางผิวสัมผัสของสนามไฟฟ้าในทุกจุดตลอดแนวรอยต่อ เงื่อนไขนี้ใช้ในการหาโพลาไรซ์ของคลื่นสะท้อนกลับ แหล่งกำเนิดเสมือนควรมีทิศตั้งฉากและมีทิศทางเดียวกับแหล่งกำเนิดจริง ดังนั้นสัมประสิทธิ์การสะท้อนกลับจะใช้ค่า  $+1$  เนื่องจากเงื่อนไขรอยต่อต่อค่าองค์ประกอบผิวสัมผัสของสนามไฟฟ้ามีผลต่อพื้นผิวปิดนั้น ในกรณีนี้ที่รอยต่อมีค่าจาก  $-\infty$  ถึง  $+\infty$  ดังนั้นผลเฉลยจึงมีเพียงค่าเดียวซึ่งเป็นไปตามทฤษฎีความเป็นหนึ่ง



รูปที่ 2.10 แหล่งกำเนิดสนามไฟฟ้าและสนามแม่เหล็กพร้อมทั้งแหล่งกำเนิดเสมือน (a) แหล่งกำเนิด

สนามไฟฟ้า (b) แหล่งกำเนิดสนามแม่เหล็ก

เอกสารนี้เป็นเอกสารที่สงวนลิขสิทธิ์ไว้สำหรับใช้ในข้อสอบเท่านั้น ไม่อนุญาตให้นำไปใช้ประโยชน์ด้านการค้าไม่ว่ากรณีใดๆ ทั้งสิ้น อีกทั้งห้ามมิให้ตัดแปลงเนื้อหาและต้องอ้างอิงถึงเจ้าของเอกสารทุกครั้งที่มีการนำไปใช้

แหล่งกำเนิดที่มีทิศทางการแพร่กระจายคลื่นแบบแนวนอน (Horizontal) ดังแสดงในรูป 2.9 (b) ถ้าใช้การวิเคราะห์ในแบบไดโพลตั้งฉาก (Vertical Dipole) จะได้แหล่งกำเนิดเสมือนที่มีระยะห่างจากรอยต่อเท่ากับ  $h$  เหมือนกัน แต่ทำมุม  $180$  องศา กับแหล่งกำเนิดจริง จึงใช้ค่าสัมประสิทธิ์การสะท้อนกลับเท่ากับ  $-1$  จะได้ผลเฉลยเป็นค่าเดียว เช่นกัน เพราะเงื่อนไขรอยต่อใช้ได้กับพื้นที่ผิวปิด กรณีนี้พิจารณาความยาวจาก  $-\infty$  ถึง  $+\infty$

จากแหล่งกำเนิดสนามไฟฟ้า (Electric Source) จะได้แหล่งกำเนิดสมมูลขึ้นมาคือ แหล่งกำเนิดสนามแม่เหล็ก (Magnetic Source) และสารตัวนำแม่เหล็ก แต่ค่าองค์ประกอบผิวสัมผัสผลของสนามแม่เหล็กจะหายไปบริเวณพื้นผิวโดยรอบของสนามแม่เหล็ก ในรูปที่ 2.10(a) แสดงแหล่งกำเนิดจริงและแหล่งกำเนิดเสมือน รูปลูกศรเดียวแสดงแหล่งกำเนิดสนามไฟฟ้า สำหรับระนาบตัวนำไฟฟ้า และรูปลูกศรคู่แสดงแหล่งกำเนิดและทิศทางของสนามแม่เหล็ก

## 2.5 ทฤษฎีพื้นผิวสมมูล (Surface Equivalence Theorem) [4]

ทฤษฎีพื้นผิวสมมูล เป็นทฤษฎีที่ว่าด้วยการแทนที่แหล่งกำเนิดจริง เช่น สายอากาศ , อุปกรณ์ส่งสัญญาณ ด้วยแหล่งกำเนิดสมมูล ( Equivalence Source) ซึ่งจะอยู่ภายในบริเวณพื้นผิวที่พิจารณา เนื่องจากแหล่งกำเนิดสมมูลจะมีการแพร่กระจายคลื่นเหมือนกับแหล่งจ่ายจริงทุกประการ

ทฤษฎีพื้นผิวสมมูล เริ่มมีการนำมาใช้ตั้งแต่ปี พ.ศ.2479 โดย เชลคูโนฟฟ์ (Schelkunoff) และมีความคล้ายคลึงกับหลักการของไฮเกนส์ ที่กล่าวไว้ว่า "แต่ละจุดของหน้าคลื่นปฐมภูมิ (Primary Wavefront) สามารถพิจารณาให้เป็นแหล่งกำเนิดใหม่ของ คลื่นวงกลมทุติยภูมิ (Secondary Spherical Wave) และหน้าคลื่นทุติยภูมินี้สามารถกลายเป็นล้นคลื่น (Envelope) ของคลื่นวงกลมทุติยภูมินี้ได้ " ทฤษฎีพื้นผิวสมมูลใช้พื้นฐานของทฤษฎีความเป็นหนึ่ง ซึ่งกำหนดให้สนามในตัวกลางที่มีการสูญเสียมีขอบเขตจำกัดและที่ค่าความสูญเสียมีค่าเท่ากับ  $0$  ดังนั้นถ้าทราบค่าองค์ประกอบแทนแฉง์ของสนามไฟฟ้าเหนือพื้นผิวปิด จะทำให้สามารถคำนวณหาสนามในแหล่งกำเนิดที่อยู่ในบริเวณต่างๆ ได้

ตามทฤษฎีพื้นผิวสมมูล สนามที่อยู่ด้านนอกของพื้นผิวปิดจินตภาพ (Imaginary Closed Surface) หาได้จากการแทนที่เหนือบริเวณพื้นผิวนั้นด้วยความหนาแน่นของกระแสไฟฟ้าและกระแสแม่เหล็กค่าหนึ่งที่เหมาะสมและตรงตามเงื่อนไขรอยต่อ กรณีความหนาแน่นกระแสดังกล่าวเป็นความหนาแน่นของกระแสไฟฟ้า ดังนั้นจะได้สนามภายในพื้นผิวปิดเป็นศูนย์ และสนามด้านนอกมีค่าเท่ากับคลื่นที่แพร่กระจายออกมาจากแหล่งกำเนิดจริง ดังนั้นวิธีการนี้สามารถใช้ในการหาค่าสนามที่แพร่กระจายภายนอกพื้นผิวปิดที่เกิดจากแหล่งกำเนิดที่อยู่ภายในนั้นได้ โดยใช้การอินทิเกรตรอบพื้นผิวปิด ความถูกต้องของค่าสนามที่ได้จะขึ้นอยู่กับองค์ประกอบทางแทนแฉง์ของสนามรอบพื้นผิวปิดนั้น

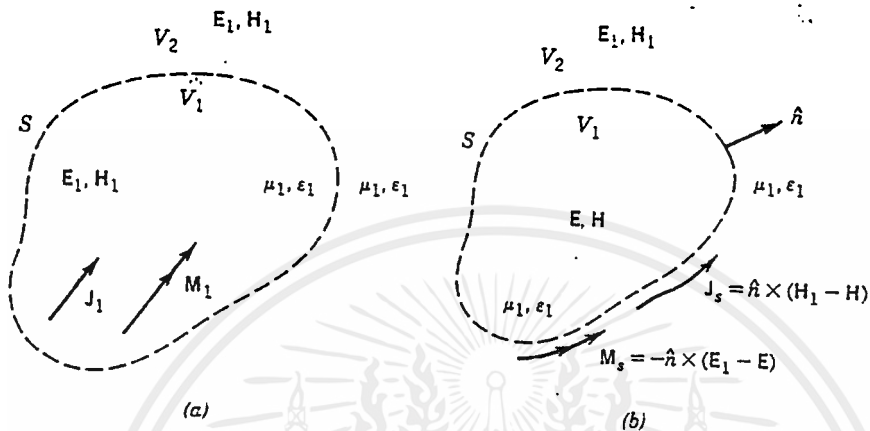
ในการนำประยุกต์ใช้ส่วนใหญ่ การเลือกพื้นผิวปิดส่วนมากจะเลือกส่วนที่มีตัวนำอยู่ด้วย เนื่องจากจะทำให้องค์ประกอบทางแทนแฉง์ของสนามไฟฟ้าหายไป ทำให้ลดพจน์ที่จะอินทิเกรตลง

ตามทฤษฎีพื้นผิวสมมูล จะพิจารณาให้  $J_s, M_s$  เป็นความหนาแน่นกระแสที่แพร่กระจายจากแหล่งกำเนิดจริง ดังแสดงในรูปที่ 2.11(a) แหล่งกำเนิดจะแพร่กระจายสนาม  $E_s$  และ  $H_s$  ในทุกทิศทาง เพื่อหาวิธีการคำนวณสนามภายนอกพื้นผิวปิด จึงเลือกพื้นผิวปิดเป็น  $S$  ค่าพารามิเตอร์ภายใน  $S$  คือ  $V_s$  และภายนอก

เอกลีกรีนเป็นเอกลักษณ์ที่สงวนลิขสิทธิ์เพื่อใช้ในการเรียนการสอน ไม่อนุญาตให้นำไปเผยแพร่โดยไม่ได้รับอนุญาต  
ไม่ว่ากรณีใดๆ ทั้งสิ้น อีกทั้งห้ามมิให้ดัดแปลงเนื้อหาและต้องอ้างอิงถึงเจ้าของเอกสารทุกครั้งที่มีการนำไปใช้

S คือ  $V_2$  ชั้นแรกทำการแทนที่แหล่งกำเนิดจริงด้วยแหล่งกำเนิดเสมือนที่มีการแพร่กระจายของสนาม  $E_1$  และ  $H_1$  ภายนอกพื้นผิว S

ที่ใช้รูปที่ 2.12(b) แก้ปัญหาในรูป 2.11(a) คือแหล่งจ่ายจริง ( $J_1, M_1$ ) จะถูกย้ายออก และสมมติให้มีสนาม E,H อยู่ภายในและสนาม  $E_1, H_1$  อยู่ภายนอกพื้นผิวปิด S โดยสนามเหล่านี้จะต้องเป็นไปตามเงื่อนไขรอยต่อทั้งองค์ประกอบผิวสัมผัสทางไฟฟ้าและองค์ประกอบผิวสัมผัสทางแม่เหล็ก



รูปที่ 2.11 (a) แหล่งกำเนิดจริง (b) รูปเสมือนที่ใช้ในการแก้ปัญหา

ดังนั้นสำหรับพื้นผิวปิดจินตภาพ S จะได้แหล่งกำเนิดเสมือนดังนี้

$$J_s = \hat{n} \times (H_1 - H) \tag{2.15a}$$

$$M_s = -\hat{n} \times (E_1 - E) \tag{2.15b}$$

เป็นแหล่งกำเนิดที่มีการแพร่กระจายไปในพื้นที่ๆ ไม่มีรอยต่อ (ตัวกลางเดียวกันในทุกๆ ตำแหน่ง) จะได้ว่าความหนาแน่นกระแสใน (2.15a) และ (2.15b) จะสมมูลกันเฉพาะค่า  $V_2$  เท่านั้น เป็นเพราะว่ามีสนาม  $E_1, H_1$  เฉพาะภายนอกพื้นผิวปิด S เท่านั้น ส่วนสนาม E,H จะสมมูลกันเฉพาะค่า  $V_1$  เท่านั้น เมื่อมีการแพร่กระจายของกระแสในพื้นที่ๆ ไม่มีรอยต่อ สามารถคำนวณหากระแสของสนามโดยใช้สมการจากหน้า 259-261 สมการ (630-6-35a) ในที่นี้จะให้เป็นสมการ (\*) ในกรณีที่จะได้กล่าวถึงต่อไป)

เราใช้องค์ประกอบผิวสัมผัสของสนามไฟฟ้าของ E,H ในการกำหนดสมการขึ้นมา จากทฤษฎีความเป็นหนึ่งเราจะพบว่าต้องการเพียงค่าองค์ประกอบผิวสัมผัสของสนามไฟฟ้าหรือ องค์ประกอบผิวสัมผัสของสนามแม่เหล็ก ค่าใดหนึ่งเท่านั้นในการคำนวณหาค่าของสนาม ได้มีการแสดงให้เห็นว่าการแก้ปัญหาดังกล่าว เราต้องการเฉพาะกระแสแม่เหล็ก (องค์ประกอบผิวสัมผัสของสนามไฟฟ้า) หรือ กระแสไฟฟ้า (องค์ประกอบผิวสัมผัสของสนามแม่เหล็ก) ซึ่งจะนำไปใช้ในรูป 2.12(b)

ค่า E,H ใน S ซึ่งเป็นพื้นที่ๆไม่พิจารณาจะกำหนดให้เป็นศูนย์ จากรูป 2.12(b) จึงทำให้ได้รูป 2.13(a) ซึ่งมีสมการดังนี้

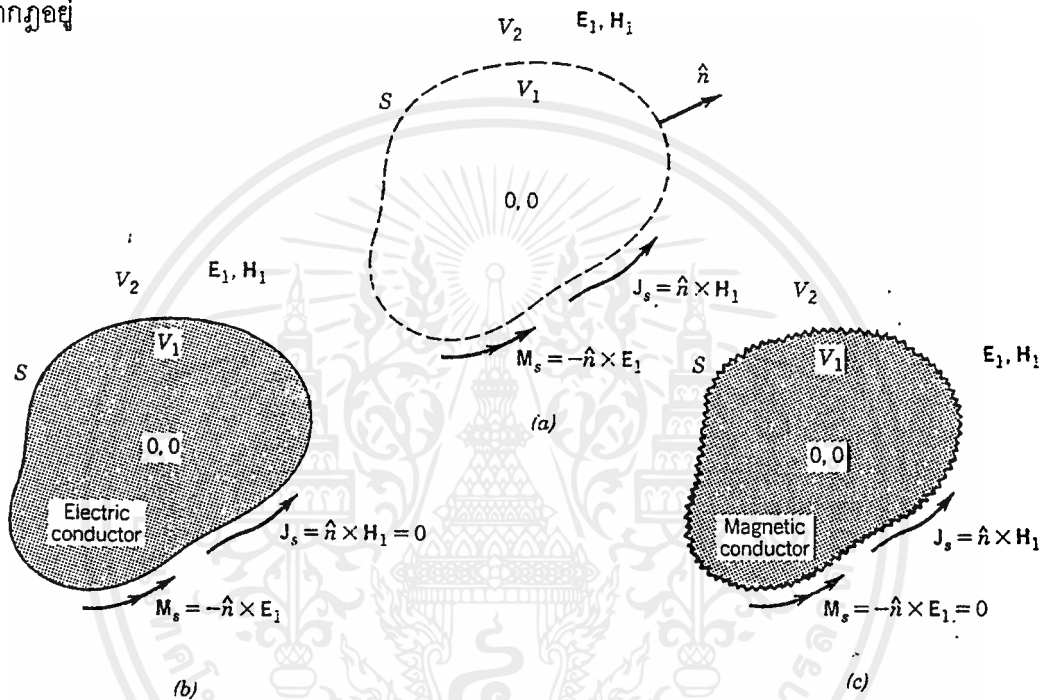
$$J_s = \hat{n} \times (H_1 - H)|_{H=0} = \hat{n} \times H_1 \tag{2.16a}$$

เอกสารนี้เป็นเอกสารที่สงวนลิขสิทธิ์ไว้เพื่อการศึกษาเท่านั้น ไม่อนุญาตให้ใช้ประโยชน์ด้านการค้าไม่ว่ากรณีใดๆ ทั้งสิ้น อีกทั้งห้ามมิให้ตัดแปลงเนื้อหาและต้องอ้างอิงถึงเจ้าของเอกสารทุกครั้งที่มีการนำไปใช้

$$M_s = -\hat{n} \times (E_1 E) \Big|_{E=0} = -\hat{n} \times E_1 \tag{2.16b}$$

สมการ (2.16a ,b) เรียกว่า หลักการเสมือนของเลิฟ (Love's Equivalent Principle) สนามที่แพร่กระจายในตัวกลางที่ไม่มีรอยต่อ จะมีค่า  $\mu, \epsilon$  เท่ากัน ซึ่งใช้สมการ (\*) ในการหาค่าสนามบริเวณต่างๆ ได้

จากหลักการเสมือนของเลิฟ จะทำให้เกิดสนาม  $E, H=0$  ภายใน  $S$  และถ้า  $E, H=0$  แล้วจะทำให้สนามภายนอกไม่มีผลต่อสนามภายใน ดังนั้นจึงสามารถแทน  $S$  นี้ด้วย "ตัวนำสมบูรณ์" (Perfect Conductor,  $\sigma=\infty$ ) ตัวนำสมบูรณ์จะมีผลต่อ  $J_s$  และไม่สามารถใช้สมการใน (\*) มาใช้เพราะมีความหนาแน่นกระแสไม่ไหลในตัวกลาง สมมติโครงสร้างทางเรขาคณิตของตัวนำไฟฟ้าจะเหมือนกับพื้นผิวรอบข้างของ  $S$  โดยมี  $J_s$  และ  $M_s$  ปรางกฏอยู่

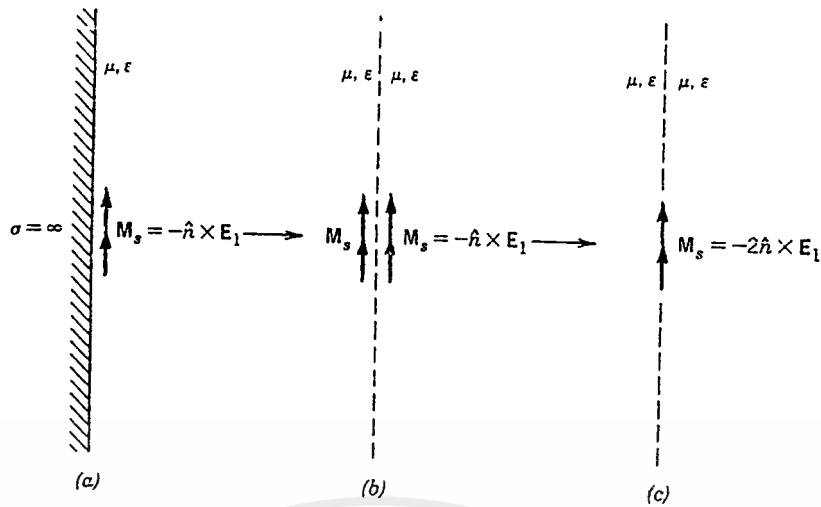


รูปที่ 2.12 โครงสร้างตามหลักการพื้นผิวเสมือน (a) หลักการเสมือนของเลิฟ (b) ตัวนำไฟฟ้าเสมือน (c) ตัวนำแม่เหล็กเสมือน

เมื่อแทนที่ภายใน  $S$  เช่น ตัวนำไฟฟ้า จะพบว่า  $J_s$  มีค่าเท่ากับ 0 (Short Circuited) จึงเหลือเพียง  $M_s$  เท่านั้น จึงทำให้เกิดสนาม  $E_1, H_1$  ออกมานอกผิว  $S$  แต่เมื่อกำหนดเช่นนี้แล้วจะไม่สามารถใช้สมการ (\*) ในการแก้ปัญหาได้เพราะไม่เกิดการแพร่กระจายของกระแสในตัวกลาง จะเหลือเพียงค่า  $M_s$  ในกรณีของตัวนำไฟฟ้า ดังที่แสดงในรูปที่ 2.12(b) ค่าความหนาแน่นกระแส  $J_s$  ซึ่งเป็นองค์ประกอบผิวสัมผัสของพื้นผิว  $S$  จะถูกลัดวงจรโดยตัวนำไฟฟ้า ดังนั้นสมการเสมือนจากรูปที่ 2.12(a) จะลดรูปเป็น 2.12(b) จะมีเพียงความหนาแน่นกระแส  $M_s$  เหนือพื้นผิว  $S$  เท่านั้นที่แพร่กระจายอยู่ ในขณะที่ตัวนำไฟฟ้างำเนิดสนาม  $E_1, H_1$  ภายนอกพื้นผิว  $S$  สนามที่ได้มีค่าเท่ากับศูนย์ แต่ก็เป็นที่ที่ไม่นำมาคำนวณ ปัญหายุ่งยากสำหรับการนำทฤษฎีพื้นผิวเสมือนมาใช้ก็คือไม่สามารถใช้สมการ (\*) เพราะไม่มีการกระจายกระแสไปยังตัวกลางที่ไม่มีรอยต่อ จึงต้องมีการแก้ปัญหาของการแพร่กระจายของแหล่งกำเนิดกระแสแม่เหล็กใกล้แผ่นตัวนำสมบูรณ์ซึ่งค่อนข้างยุ่งยาก

ดังกล่าว

เอกสารนี้เป็นเอกสารที่สงวนไว้สำหรับการใช้งานเพื่อการศึกษาเท่านั้น ไม่อนุญาตให้นำไปใช้ประโยชน์ด้านการค้า ไม่ว่าจะกรณีใดๆ ทั้งสิ้น อีกทั้งห้ามมิให้ตัดแปลงเนื้อหาและต้องอ้างอิงถึงเจ้าของเอกสารทุกครั้งที่มีการนำไปใช้



รูปที่ 2.13 โครงสร้างเสมือนสำหรับการแพร่กระจายของแหล่งกำเนิดกระแสแม่เหล็กใกล้แผ่นตัวนำไฟฟ้า  
สมบูรณ์

ก่อนที่จะมีการใช้โครงสร้างเรขาคณิตอย่างง่ายประกอบและการประมาณค่าต่างๆ ขอกล่าวถึงรูป 2.13(a) แทนที่จะแทนตัวนำไฟฟ้าสมบูรณ์ภายในพื้นผิว S จะแทนที่ด้วยตัวนำแม่เหล็กสมบูรณ์แทน ซึ่งจะทำให้กระแสแม่เหล็ก = 0 ทำให้ได้สมการดังรูป 2.13(c) ดังนั้นสมการ (\*) จึงใช้ไม่ได้ทำให้การวิเคราะห์ยากขึ้น เหมือนกับรูป 2.11(a,b)

ในการแก้ปัญหา โดยเฉพาะในรูป 2.13(b) ขั้นแรกเราจะกำหนดให้พื้นผิวของตัวนำไฟฟ้ามีรูปร่างแบนและมีขนาดกว้าง ดังรูป 2.13(a) สำหรับปัญหาโครงสร้างนี้คือต้องการทราบว่าแหล่งกำเนิดกระแสแม่เหล็กมีการแพร่กระจายคลื่นอย่างไรเมื่อเทียบกับตัวนำไฟฟ้าแผ่นนี้ตามทฤษฎีเงา จะได้โครงสร้างตามรูป 2.13(b) ทำให้ได้แหล่งกำเนิดเสมือนที่ด้านข้างของตัวนำ (แทนที่แผ่นตัวนำแบนและเป็นอนันต์) และมีทิศทางเดียวกับแหล่งกำเนิดจริงเมื่อรวมกันจะได้ดังรูป 2.13(c) และมีการแพร่กระจายในตัวกลางจึงสามารถใช้สมการ (\*) ได้ ทำให้ได้ค่า E,H ที่ถูกต้องถ้าพื้นผิวไม่เป็นไปตามเงื่อนไขดังกล่าว แต่มีความโค้งมากกว่าความยาวคลื่นมากก็สามารถใช้ข้อกำหนดนี้ได้เช่นกัน

### บทที่ 3

#### การออกแบบและการคำนวณ

โครงการนี้จะทำการออกแบบสายอากาศปล่อยคลื่นแบบอินเวสซีฟชนิดโคแอกเซียลคอลลิเนียร์ที่ความถี่ 2450 MHz ซึ่งสร้างมาจากสายโซลิตโคแอกเซียลที่มีเส้นผ่านศูนย์กลาง 0.2 ซม. จำนวน 2 เอลิเมนต์ โดยสลัดสายตัวนำในและตัวนำนอกของแต่ละเอลิเมนต์ เพื่อให้กระแสที่ป้อนมีค่าเดียวกัน ซึ่งเป็นสายอากาศที่มีการแพร่กระจายคลื่นแบบอสมมิโคเรกซ์แนล แล้วหุ้มรอยต่อของเอลิเมนต์ด้วยปลอกทองเหลืองขนาดเส้นผ่านศูนย์กลางเท่ากับ 0.4 ซม. เพื่อเพิ่มความแรงของสนามไฟฟ้า ทำให้มีบริเวณความร้อนของการใช้งานที่เกิดจากสนามเพิ่มมากขึ้น สำหรับสลิตจะแบ่งออกเป็น 2 ขนาดคือขนาดความยาว 1.634 ซม. และ 3.164 ซม. เพื่อเปรียบเทียบผลของสลิตที่มีต่อการแพร่กระจายคลื่นของสายอากาศ ดังที่จะได้กล่าวถึงในรายละเอียดในการออกแบบและการสร้างต่อไป

#### 3.1 การออกแบบและการสร้าง

การออกแบบ จะสามารถคำนวณขนาดความยาวของสายอากาศได้จากคุณสมบัติของสายอากาศโคแอกเซียลคอลลิเนียร์ที่ความยาวทั้งหมดจะต้องยาวเท่ากับ  $\lambda/2$  [3] ซึ่งสายโซลิตโคแอกเซียลที่ใช้ในการสร้างมี  $\lambda_0$  เท่ากับ 9.39 ซม. ดังนั้น

ความยาวของสายอากาศมีค่าเท่ากับ 4.695 ซม.

ส่วนสลิตที่นำมาหุ้มสายโซลิตโคแอกเซียลนั้นเลือกใช้ 2 ขนาดตามการทดลองของ King [5] คือ

$$2l = 1.634 \text{ ซม.}$$

และ

$$2l = 3.164 \text{ ซม.}$$

โดยเลือกใช้ที่อัตราส่วน

$$l/\lambda_0 = 0.125 \quad (\text{ซึ่งจะได้ค่า } h_1 = 1.530 \text{ ซม.})$$

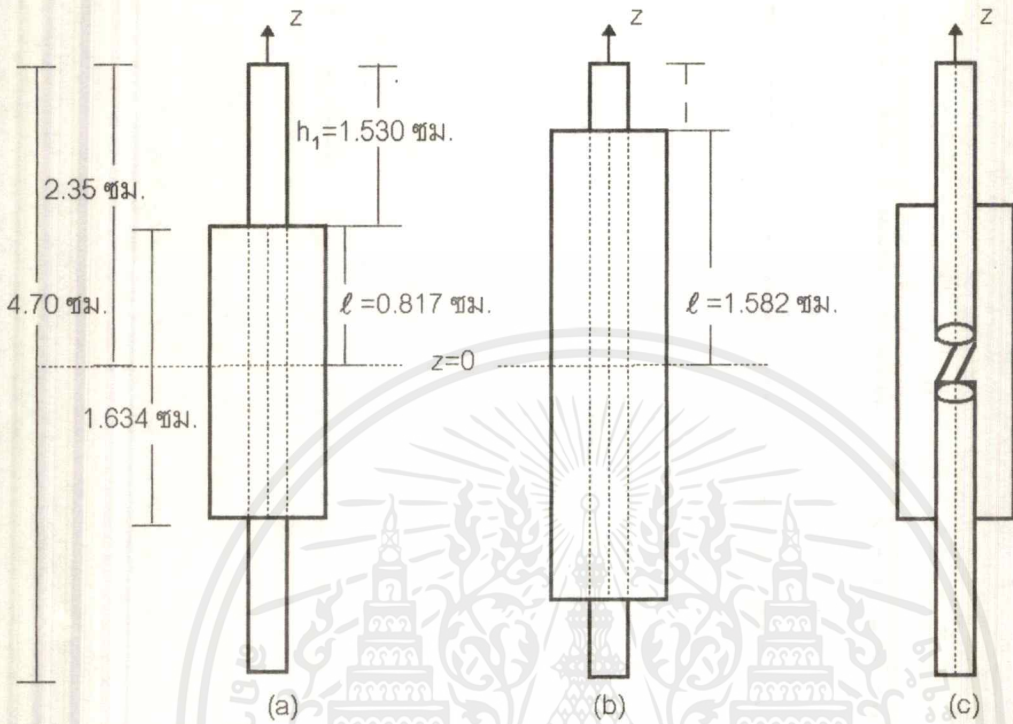
และ

$$l/\lambda_0 = 0.0625 \quad (\text{ซึ่งจะได้ค่า } h_2 = 0.7653 \text{ ซม.})$$

ตามลำดับ เพื่อใช้ในการเปรียบเทียบค่าสนามไฟฟ้าของทั้ง 2 กรณี โดยรูปที่ 3.1 (a,b) เป็นรูปที่ได้จากการออกแบบ

**การสร้าง** ทำได้โดยตัดสายโซลิตโคแอกเซียลขนาดเส้นผ่านศูนย์กลาง 0.2 ซม. ยาว 4.695 ซม. แล้วตัดออกเป็น 2 ส่วนที่มีความยาวเท่ากันเรียกว่าเอลิเมนต์ ซึ่งแต่ละเอลิเมนต์จะยาว 2.35 ซม. แล้วทำการสลัดสายตัวนำใน (Inner Conductor) และตัวนำนอก (Outer Conductor) ของแต่ละเอลิเมนต์โดยทำการเชื่อมตัวนำในและตัวนำนอกของเอลิเมนต์หนึ่งเข้ากับตัวนำนอกและตัวนำในของอีกเอลิเมนต์หนึ่งตามลำดับ จากนั้นหุ้มด้วยปลอกทองเหลือง ซึ่งเรียกว่า "สลิต" เส้นผ่านศูนย์กลาง 0.4 ซม. โดยมี 2 ขนาดคือความยาว 1.634 และ 3.164 ซม. โดยหุ้มบริเวณรอยต่อของการสลัดสายของทั้งสองเอลิเมนต์ซึ่งแสดงได้ดัง

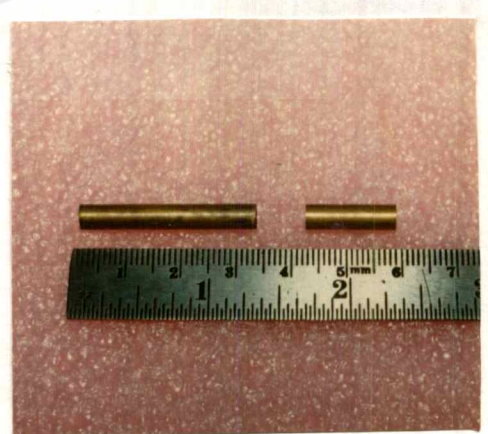
รูป 3.1(c) และสายอากาศโคแอกเซียลคอลลิเนียร์ที่ได้จากการสร้างแสดงในรูปที่ 3.2 ส่วนสลัฟจะแสดงในรูปที่ 3.3



รูปที่ 3.1 (a) สายอากาศแบบโคแอกเซียลคอลลิเนียร์ที่มีปลอกหุ้มโดยมี  $h_1 = 1.530$  มม.,  $l = 0.817$  มม.  
 (b) สายอากาศแบบโคแอกเซียลคอลลิเนียร์ที่มีปลอกหุ้มโดยมี  $h_1 = 0.76$  มม.,  $l = 1.582$  มม.  
 (c) การสลับตัวนำนอกและตัวนำในของแต่ละเอเลเมนต์



รูปที่ 3.2 สายอากาศโคแอกเซียลคอลลิเนียร์ที่ได้จากการออกแบบ



รูปที่ 3.3 สลัฟของเหลือขนาด

เอกสารนี้เป็นเอกสารที่สงวนไว้สำหรับการใช้งานเพื่อการศึกษาเท่านั้น ไม่อนุญาตให้นำไปเผยแพร่โดยไม่ขออนุญาต  
ไม่ว่ากรณีใดๆ ทั้งสิ้น อีกทั้งห้ามมิให้ตัดแปลงเนื้อหาและต้องอ้างอิงถึงเจ้าของเอกสารทุกครั้งที่มีการนำไปใช้

### 3.2 ขั้นตอนการคำนวณ

จากขั้นตอนการออกแบบดังที่กล่าวมาแล้วในหัวข้อ 3.1 ซึ่งได้ค่าออกมา 2 กรณีคือ  
กรณีที่ 1

$$h_1 = 1.530 \text{ ซม. และ } l = 0.817 \text{ ซม.}$$

กรณีที่ 2

$$h_1 = 0.76 \text{ ซม. และ } l = 1.583 \text{ ซม.}$$

ซึ่งค่าที่ได้จะนำมาใช้หาค่ากระแสที่แพร่กระจายรอบๆ สายอากาศได้โดยมีขั้นตอนต่างๆ ดังนี้

(1) ใช้สมการหาการแพร่กระจายของกระแส (Current Distribution Equation) [5]

$$I_z^{(z)} = I_z [1 + C(\cos \beta_0 - \cos \beta_0 h_1)] \quad 0 \leq z \leq l$$

$$I_z^{(z)} = I_z \frac{\sin \beta_0 (h_1 + l - z)}{\sin \beta_0 h_1} \quad l \leq z \leq h_1 + l$$

(2) แทนค่าตัวแปรต่างๆ ลงในสมการตามข้อ (1) แล้วนำไปหาค่าสนามไฟฟ้า (Electric Field : E)

โดยใช้สูตร

$$E_{Ax} = \frac{-j\eta}{4\pi\beta} \iiint_v \left\{ G_1 J_x + (x-x')G_2 [(x-x')J_x + (y-y')J_y + (z-z')J_z] \right\} \cdot e^{-j\beta R} dx' dy' dz'$$

$$E_{Ay} = \frac{-j\eta}{4\pi\beta} \iiint_v \left\{ G_1 J_y + (y-y')G_2 [(x-x')J_x + (y-y')J_y + (z-z')J_z] \right\} \cdot e^{-j\beta R} dx' dy' dz'$$

$$E_{Az} = \frac{-j\eta}{4\pi\beta} \iiint_v \left\{ G_1 J_z + (z-z')G_2 [(x-x')J_x + (y-y')J_y + (z-z')J_z] \right\} \cdot e^{-j\beta R} dx' dy' dz'$$

(3) นำค่าที่ได้จากการคำนวณมาพล็อตกราฟเพื่อนำผลที่ได้ไปเปรียบเทียบกับผลการทดลอง

### 3.3 วิธีการคำนวณ

จากสมการหาการแพร่กระจายของกระแสของ King ซึ่งได้จากการทดลองโดยพิจารณาให้สาย  
อากาศวางในแกน z มี 2 สมการคือ

$$I_z^{(z)} = I_z [1 + C(\cos \beta_0 - \cos \beta_0 h_1)] \quad 0 \leq z \leq l \quad (3.1)$$

$$I_z^{(z)} = I_z \frac{\sin \beta_0 (h_1 + l - z)}{\sin \beta_0 h_1} \quad l \leq z \leq h_1 + l \quad (3.2)$$

ก่อนที่จะทำการแทนค่าหาค่า  $I(z)$  ที่ระยะต่างๆ นั้นจะต้องหาค่า C เพื่อแทนค่าใน (3.1) ก่อนซึ่งหาได้จากวิธีการตามบทที่ 2 หน้า 39 [5] ดังนั้นการใช้งานเพื่อการศึกษาเท่านั้น ไม่อนุญาตให้นำไปใช้ประโยชน์ด้านการค้า  
ไม่ว่ากรณีใดๆ ทั้งสิ้น อีกทั้งห้ามมิให้ดัดแปลงเนื้อหาและต้องอ้างอิงถึงเจ้าของเอกสารทุกครั้งที่มีการนำไปใช้

$$z_0 = \frac{1}{I_0^2} \left[ z^i \int_{-h}^h I_z^2 dz + j \frac{\zeta_0}{4\pi} \int_{-h}^h \int_{-h}^h k(z-z') I_z I_{z'} dz dz' \right] \quad (3.3)$$

แทนค่า  $I_{zT} = I_z [1 + C(\cos \beta_0 z - \cos \beta_0 h_1)]$  ลงใน (3.3) และกำหนดให้  $I_0 = I_z$

$$z_0 = \frac{1}{I_z^2} \left[ z^i \int_{-h}^h I_z^2 [1 + C(\cos \beta_0 z - \cos \beta_0 h_1)]^2 dz + j \frac{\zeta_0}{4\pi} \int_{-h}^h \int_{-h}^h k(z-z') \right. \\ \left. I_z^2 [1 + C(\cos \beta_0 z - \cos \beta_0 h_1)] [1 + C(\cos \beta_0 z' - \cos \beta_0 h_1)] dz dz' \right] \quad (3.4)$$

$$= \frac{4\pi}{j\zeta_0} \cdot z^i \int_{-h}^h [1 + 2C(\cos \beta_0 z - \cos \beta_0 h_1) + C^2(\cos \beta_0 z - \cos \beta_0 h_1)^2] dz + \\ \int_{-h}^h \int_{-h}^h k(z-z') [1 + C(\cos \beta_0 z - \cos \beta_0 h_1) + C(\cos \beta_0 z' - \cos \beta_0 h_1) + \\ C^2(\cos \beta_0 z - \cos \beta_0 h_1)(\cos \beta_0 z' - \cos \beta_0 h_1)] dz dz' \quad (3.5)$$

$$= j \frac{\zeta_0}{4\pi} (\gamma_0 + C\gamma_c + C^2\gamma_{cc}) \quad (3.6)$$

เพราะฉะนั้น

$$\gamma_0 = \frac{4\pi}{j\zeta_0} \cdot z^i \int_{-h}^h dz + \int_{-h}^h \int_{-h}^h k(z-z') dz dz' \quad (3.7)$$

$$\gamma_c = \frac{4\pi}{j\zeta_0} \cdot z z^i \left( \int_{-h}^h (\cos \beta_0 z - \cos \beta_0 h_1) dz + \int_{-h}^h \int_{-h}^h k(z-z') (\cos \beta_0 z' - \right. \\ \left. \cos \beta_0 h_1) dz dz' + \int_{-h}^h \int_{-h}^h k(z-z') (\cos \beta_0 z - \cos \beta_0 h_1) dz dz' \right) \quad (3.8)$$

$$\gamma_{cc} = \frac{4\pi}{j\zeta_0} \cdot z^i \int_{-h}^h (\cos \beta_0 z - \cos \beta_0 h_1)^2 dz + \int_{-h}^h \int_{-h}^h k(z-z') (\cos \beta_0 z - \cos \beta_0 h_1) \cdot (\cos \beta_0 z' - \\ \cos \beta_0 h_1) dz dz' \quad (3.9)$$

$$\text{เมื่อ } k(z-z') = \frac{1}{\beta_0} \left( \frac{\partial^2}{\partial z^2} + \beta_0^2 \right) \frac{e^{-j\beta_0 R}}{R}$$

โดย

$$\zeta_0 = \text{อินทรีนซิติคิมพีแดนซ์} = 120\pi \text{ โอห์ม}$$

$$z^i = \text{อิมพีแดนซ์ภายใน} = \frac{1+j}{2\pi a} \cdot \sqrt{\frac{\omega}{2vG}}$$

เอกสารนี้เป็นเอกสารที่สงวนไว้สำหรับการ  $\sqrt{\frac{\omega}{2vG}}$  ศึกษาเท่านั้น ไม่อนุญาตให้นำไปใช้ประโยชน์ด้านการค้า  
ไม่ว่ากรณีใดๆ ทั้งสิ้น อีกทั้งห้ามมิให้ตัดแปลงเนื้อหาและต้องอ้างอิงถึงเจ้าของเอกสารทุกครั้งที่มีการนำไปใช้

$$\beta_0 = \text{ค่าคงที่เฟส} = \frac{2\pi}{\lambda_0}$$

$$\omega = \text{ความเร็วเชิงมุม} = 2\pi f \text{ (เรเดียนวินาที)}$$

$$\lambda = \text{ความยาวคลื่นมีค่าเท่ากับ } c/f \text{ โดย } c = \text{ความเร็วแสง} = 3 \times 10^8 \text{ (เมตรวินาที)}$$

$$f = \text{ความถี่ที่ใช้งาน} = 2450 \text{ MHz}$$

$$a = \text{รัศมีของตัวนำในของสายโคแอกเซียล} = 0.1 \text{ มม.}$$

$$v = \text{สภาพต้านทานแม่เหล็กสมบรูณ์} = \frac{1}{\epsilon}$$

$$\sigma = \text{ค่าความนำของสายโคแอกเซียล} = 5.76 \times 10^7 \text{ (ทองแดง)}$$

$$h = \text{ความยาวของสายอากาศ (ซม)}$$

ดังนั้น

$$C = \frac{-\gamma_c}{2\gamma_{cc}} \quad (3.10)$$

เนื่องจากขณะทำการทดลองโดยวางสายอากาศในแกน  $x$  ดังนั้นในการคำนวณจึงคิดระยะในแกน  $x$  เสมอ เมื่อคำนวณค่า  $C$  ตามสมการ (3.10) โดยแทนค่าตัวแปรต่างๆ ตามที่ได้กำหนดไว้ข้างต้นจะได้ค่า  $C$  ที่  $\ell = 0.817$  ซม. ตามตาราง 3.1(a) และค่า  $C$  ที่  $\ell = 1.582$  ซม. ตามตาราง 3.1(b)

| $h_x$ | $C$            |
|-------|----------------|
| 0     | 0              |
| 0.1   | -13.318-0.004i |
| 0.2   | -12.992-0.126i |
| 0.3   | -12.098-1.277i |
| 0.4   | -12.723-3.961i |
| 0.5   | -14.785-5.47i  |
| 0.6   | -16.376-6.295i |
| 0.7   | -17.532-7.085i |
| 0.8   | -17.505-7.588i |

(a)

| $h_x$ | $C$             |
|-------|-----------------|
| 0     | 0               |
| 0.1   | -3.416-0.004i   |
| 0.2   | -3.445 - 0.018i |
| 0.3   | -3.475 - 0.015i |
| 0.4   | -3.512 - 0.014i |
| 0.5   | -3.558 - 0.014i |
| 0.6   | -3.614 - 0.013i |
| 0.7   | -3.681 - 0.013i |
| 0.8   | -3.756 - 0.013i |

(b)

| $h_x$ | $C$            |
|-------|----------------|
| 0.9   | -16.384-7.008i |
| 1.0   | -13.55-4.602i  |
| 1.1   | -8.909-1.136i  |
| 1.2   | -3.622+1.275i  |
| 1.3   | 0.426+1.905i   |
| 1.4   | 2.679+1.637i   |
| 1.5   | 3.66+1.204i    |

ตารางที่ 3.1 (a) ค่า  $C$  ที่ระยะ  $\ell = 0.817$ ,  $h_1 = 1.530$  ซม. (b) ค่า  $C$  ที่ระยะ  $\ell = 1.582$ ,  $h_1 = 0.76$  ซม.

จากนั้นแทนค่า  $C$  ตามตาราง 3.1(a) และแทนค่า  $x$  ตั้งแต่ 0 ถึง 0.8 ลงไปในสมการที่ (3.1) จะได้ค่า  $I(x)$  ที่  $\ell = 0.817$  ซม. ตามตารางที่ 3.2(a) ในทำนองเดียวกันแทนค่า  $C$  ต่างๆ ตามตารางที่ 3.1(b) และแทนค่า  $x$  ตั้งแต่ 0 ถึง 1.5 ลงไปในสมการที่ 3.1 จะได้ค่า  $I(x)$  ที่  $\ell = 1.582$  ซม. ตามตารางที่ 3.2(b)

| $h_x$ | $ I(x) $ |
|-------|----------|
| 0     | 2.8900   |
| 0.1   | 2.7750   |
| 0.2   | 2.5090   |
| 0.3   | 2.4460   |
| 0.4   | 2.0760   |
| 0.5   | 1.5050   |
| 0.6   | 1.1220   |
| 0.7   | 1.1040   |
| 0.8   | 1.06400  |

(a)

| $h_x$ | $ I(x) $ |
|-------|----------|
| 0     | 9.968    |
| 0.1   | 9.876    |
| 0.2   | 9.756    |
| 0.3   | 9.652    |
| 0.4   | 9.231    |
| 0.5   | 8.654    |
| 0.6   | 7.980    |
| 0.7   | 7.452    |
| 0.8   | 6.845    |

(b)

| $h_x$ | $ I(x) $ |
|-------|----------|
| 0.9   | 6.210    |
| 1.0   | 5.561    |
| 1.1   | 4.942    |
| 1.2   | 4.035    |
| 1.3   | 2.816    |
| 1.4   | 1.752    |
| 1.5   | 1        |

ตารางที่ 3.2 (a) ค่า  $I(x)$  ที่  $x = 0$  ถึง 0.8 ซม. (b) ค่า  $I(x)$  ที่  $x = 0$  ถึง 1.5 ซม.

สำหรับค่ากระแสในช่วง 0.9 ถึง 2.3 ซม. ของสายอากาศที่  $\ell = 0.817$  ซม. หาได้โดยการแทนค่า  $x$  ลงในสมการที่ 3.2 จะได้ค่า  $I(x)$  ตามตารางที่ 3.3(a) ในทำนองเดียวกันแทนค่า  $x$  ตั้งแต่ 1.6 ถึง 2.3 ซม. ลงในสมการที่ 3.2 จะได้  $I(x)$  ของสายอากาศที่มี  $\ell = 1.582$  ซม. ตามตารางที่ 3.3(b)

| $h_v$ | $ I(x) $ |
|-------|----------|
| 0.9   | 6.210    |
| 1.0   | 5.561    |
| 1.1   | 4.942    |
| 1.2   | 4.035    |
| 1.3   | 2.816    |
| 1.4   | 1.752    |
| 1.5   | 1        |
| 1.6   | 0.977    |
| 1.7   | 0.857    |
| 1.8   | 0.722    |
| 1.9   | 0.591    |
| 2.0   | 0.459    |
| 2.1   | 0.326    |
| 2.2   | 0.191    |
| 2.3   | 0.057    |

(a)

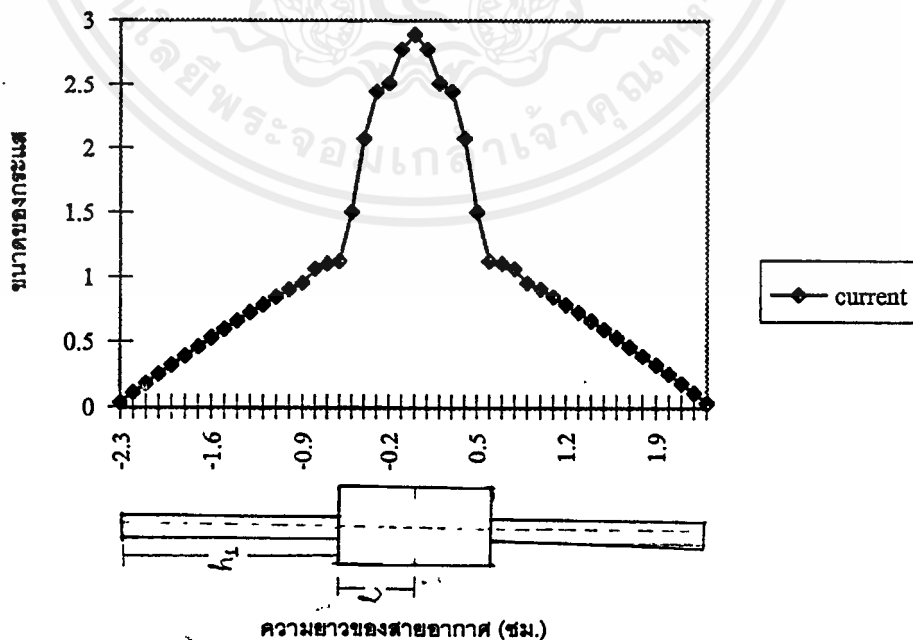
| $h_v$ | $ I(x) $ |
|-------|----------|
| 1.6   | 0.529    |
| 1.7   | 0.461    |
| 1.8   | 0.392    |
| 1.9   | 0.322    |
| 2.0   | 0.251    |
| 2.1   | 0.179    |
| 2.2   | 0.107    |
| 2.3   | 0.034    |

(b)

ตารางที่ 3.3(a) ค่า  $I(x)$  ที่  $x=0.9$  ถึง 2.3 ซม. (b) ค่า  $I(x)$  ที่  $x=1.6$  ถึง 2.3 ซม.

จากนั้นนำค่าตามตารางที่ 3.2(a), 3.3(a) และ 3.2(b), 3.3(b) มาพลอตกราฟการกระจายกระแสของสายอากาศที่มีสลิปยาว 1.634 และ 3.164 ซม. ซึ่งจะได้ดังรูปที่ 3.4(a) และ 3.4(b) ตามลำดับ

กราฟแสดงการกระจายกระแสของสายอากาศโคแอกเนียบลคอลลิเนียร์ที่มี  
สลิปยาว 0.817 ซม.



(a)

เอกสารนี้เป็นเอกสารที่สงวนไว้สำหรับการใช้งานเพื่อการศึกษาเท่านั้น ไม่อนุญาตให้นำไปใช้ประโยชน์ด้านการค้า  
ไม่ว่ากรณีใดๆ ทั้งสิ้น อีกทั้งห้ามมิให้ดัดแปลงเนื้อหาและต้องอ้างอิงถึงเจ้าของเอกสารทุกครั้งที่มีการนำไปใช้



สมการช่วง สมการช่วง  $\ell \leq x \leq h_1 + \ell$  เมื่อ  $h_1 = 1.530$  ซม.

$$I(x)_2 := 0.956 + (-0.54 + (-0.15 + (3.42319 \cdot 10^{-15} + (0.833333 + (-4.16667 + (12.5 + (-27.7778 + (52.0833 + (-90.9392 + (154.321 + (-250.521 + (375.782 + (-507.466 + 604.508(-2.2+x)) \cdot (-2.1+x)) \cdot (-2.0+x)) \cdot (-1.9+x)) \cdot (-1.8+x)) \cdot (-1.7+x)) \cdot (-1.6+x)) \cdot (-1.5+x)) \cdot (-1.4+x)) \cdot (-1.3+x)) \cdot (-1.2+x)) \cdot (-1.1+x)) \cdot (-1.0+x)) \cdot (-0.9+x))$$

สมการช่วง  $0 \leq x \leq \ell$  เมื่อ  $\ell = 1.582$  ซม.

$$I_{x1} := 9.968 + (-0.92 + (-1.4 + (7.333333 + (-1.57.083 + (725.823 + (-2037.5 + (4660.71 + (-10339.8 + (22936 + (-47575 + (87386.8 + (-140590 + (201437.0 + (-263745 + 321881(-1.4+x)) \cdot (-1.3+x)) \cdot (-1.1+x)) \cdot (-1.0+x)) \cdot (-0.9+x)) \cdot (-0.8+x)) \cdot (-0.7+x)) \cdot (-0.6+x)) \cdot (-0.5+x)) \cdot (-0.4+x)) \cdot (-0.3+x)) \cdot (-0.2+x)) \cdot (-0.1+x)) \cdot x$$

สมการช่วง  $\ell \leq x \leq h_1 + \ell$  เมื่อ  $h_1 = 0.76$  ซม.

$$I_{x2} := 0.977 + (-1.26 + (-0.15 + (0.166667 + (5.08621 \cdot 10^{-13} + (-0.833333 + (1.38889 + 7.93651(-2.2+x)) \cdot (-2.1+x)) \cdot (-2.0+x)) \cdot (-1.9+x)) \cdot (-1.7+x)) \cdot (-1.6+x))$$

จากนั้นนำสมการของ  $I(x)$  ที่ได้ทำการอินทิเกรตโพเลขข้างต้นทั้งสองช่วงคือ  $0 \leq x \leq \ell$  และ  $\ell \leq x \leq h_1 + \ell$  ของแต่ละกรณี ไปแทนในสมการของสนามไฟฟ้า (Electric Field Equation) ซึ่งสมการของสนามไฟฟ้าแสดงได้ดังนี้

$$E_A = E_{Ax} \bar{a}_x + E_{Ay} \bar{a}_y + E_{Az} \bar{a}_z \quad (3.11)$$

โดย

$$E_{Ax} = \frac{-j\eta}{4\pi\beta} \iiint_v \{G_1 J_x + (x-x')G_2 [(x-x')J_x + (y-y')J_y + (z-z')J_z]\} e^{-j\beta R} dx' dy' dz'$$

$$E_{Ay} = \frac{-j\eta}{4\pi\beta} \iiint_v \{G_1 J_y + (y-y')G_2 [(x-x')J_x + (y-y')J_y + (z-z')J_z]\} e^{-j\beta R} dx' dy' dz'$$

$$E_{Az} = \frac{-j\eta}{4\pi\beta} \iiint_v \{G_1 J_z + (z-z')G_2 [(x-x')J_x + (y-y')J_y + (z-z')J_z]\} e^{-j\beta R} dx' dy' dz'$$

$$G_1 = \frac{1 - j\beta R + \beta^2 R^2}{R^3}$$

$$G_2 = \frac{3 + j3\beta R - \beta^2 R^2}{R^5}$$

เอกสารนี้เป็นเอกสารที่สงวนไว้สำหรับการใช้งานเพื่อการศึกษาเท่านั้น ไม่อนุญาตให้นำไปใช้ประโยชน์ด้านการค้า ไม่ว่าจะกรณีใดๆ ทั้งสิ้น อีกทั้งห้ามมิให้ตัดแปลงเนื้อหาและต้องอ้างอิงถึงเจ้าของเอกสารทุกครั้งที่มีการนำไปใช้

$$\beta = \text{ค่าคงที่เฟส} = \frac{2\pi}{\lambda}$$

$$R = \sqrt{(x-x')^2 + (y-y')^2 + (z-z')^2}$$

$$\eta = \text{อินทรีนซิคิมพีแดนซ์} = 120\pi$$

โดย

$$J_x = I_x \neq 0$$

$$J_y = I_y = 0$$

$$J_z = I_z = 0$$

$P(x,y,z)$  = จุดสังเกต (Observation Point)

$P(x',y',z')$  = แหล่งกำเนิด (Source Point)

คำนวณค่าสนามไฟฟ้าที่ระยะต่างๆ ซึ่งในการอินทิเกรตจะเลือกใช้อินทิเกรตตามแกน  $x$  ซึ่งเป็นแกนเดียวกับการวางสายอากาศ เพียงแกนเดียวเพื่อให้ง่ายต่อการคำนวณ ส่วนการกำหนดตัวแปรทำได้โดยการกำหนดจุด  $x, y, z$  ขึ้นมา จากนั้นเลือกใช้สมการกระแส ( $I_x$ ) ที่ตรงกับค่า  $x$  นั้นแล้วแทนค่าลงไป ค่าที่ได้จะอยู่ในรูปจำนวนเชิงซ้อนที่จุดๆ นั้น เมื่อจะนำค่าไปใช้งานจะต้องทำการหาขนาดแล้วบันทึกค่าเป็นจุดๆ ไปเรื่อยๆ จนครบระนาบตามแบบของการทดลองเพื่อที่จะได้นำไปเปรียบเทียบกับผลการทดลองได้

## บทที่ 4

## การทดลองและผลการทดลอง

## 4.1 อุปกรณ์การทดลอง

สำหรับอุปกรณ์ที่ใช้ในการทดลองเพื่อหาการแพร่กระจายกระแสของสายอากาศโคแอกเซียลคอลลิเนียร์จะใช้ชุดวัดสนามไฟฟ้าระยะใกล้ (Electric Field Mapping) ซึ่งประกอบด้วย เครื่องวิเคราะห์โครงข่าย (Network Analyzer) สแกนเนอร์ (Scanner) และคอมพิวเตอร์ ซึ่งมีรายละเอียดและวิธีการใช้งานใน [8] ซึ่งอุปกรณ์ต่างๆ ตลอดจนการติดตั้งอุปกรณ์แสดงได้ดังรูป 4.1 ,4.2 และ 4.3

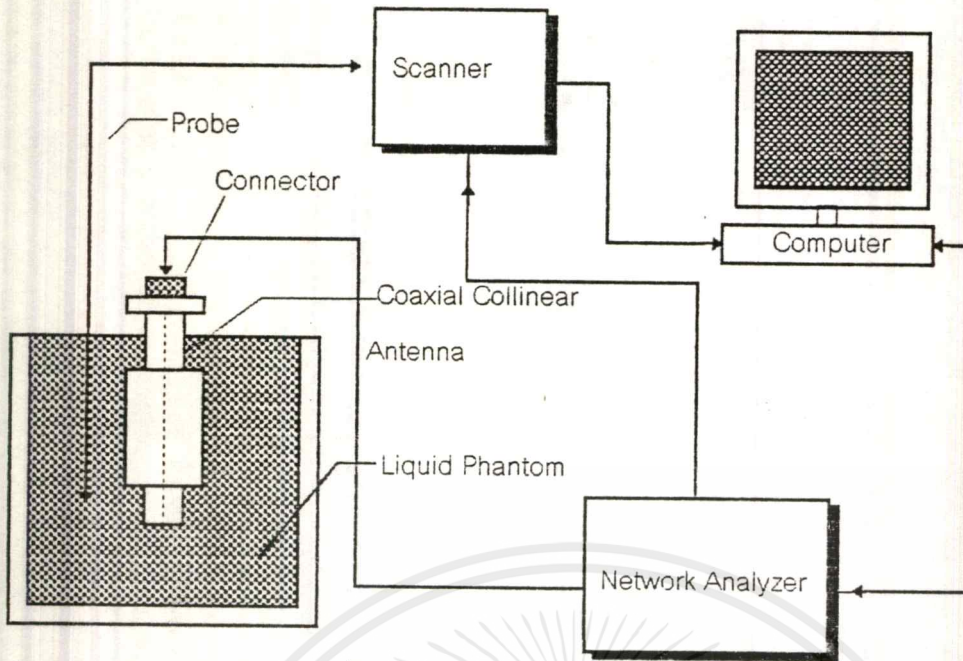


รูปที่ 4.1 เครื่องวิเคราะห์โครงข่าย



รูปที่ 4.2 สแกนเนอร์

เอกสารนี้เป็นเอกสารที่สงวนไว้สำหรับการใช้งานเพื่อการศึกษาเท่านั้น ไม่อนุญาตให้นำไปใช้ประโยชน์ด้านการค้าไม่ว่ากรณีใดๆ ทั้งสิ้น อีกทั้งห้ามมิให้ตัดแปลงเนื้อหาและต้องอ้างอิงถึงเจ้าของเอกสารทุกครั้งที่มีการนำไปใช้

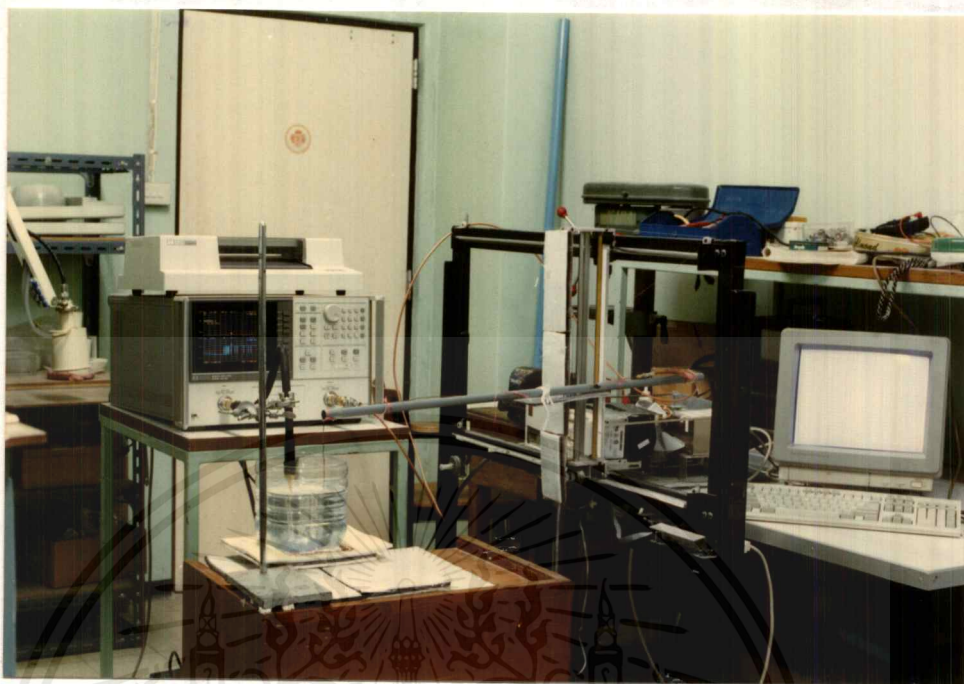


รูปที่ 4.3 บล็อกไดอะแกรมการติดตั้งอุปกรณ์การทดลองวัดค่าสนามไฟฟ้าโดยใช้ชุดวัดสนามไฟฟ้า

การติดตั้งอุปกรณ์การทดลองของชุดวัดสนามไฟฟ้าระยะใกล้จะเริ่มจากต่อพอร์ท 1 ของเครื่องวิเคราะห์โครงข่ายเข้ากับสายอากาศโคแอกเซียลคอลลิเนียร์ซึ่งจุ่มอยู่ในสารจำลองเนื้อคนชนิดเหลว (Liquid Phantom)[7] ส่วนพอร์ท 2 จะต่อเข้ากับสแกนเนอร์ ซึ่งในที่นี้สแกนเนอร์จะทำหน้าที่เป็นอุปกรณ์ที่สแกนไปตามจุดต่างๆ ภายในภาชนะตามที่ตั้งค่าไว้ในโปรแกรม โดยจะมีสายโพรบ (Probe) เป็นตัววัดค่าสนามไฟฟ้าตามตำแหน่งการเคลื่อนของสแกนเนอร์แล้วส่งค่าให้กับพอร์ท 2 เพื่อแสดงผลที่หน้าจอของเครื่องวิเคราะห์โครงข่ายและคอมพิวเตอร์ในเวลาเดียวกัน ซึ่งรูปแบบของการสแกนจะสแกนทีละระนาบ (Plane) เมื่อต้องการสแกนระนาบต่อไปสามารถทำได้โดยการเลื่อนสายอากาศและภาชนะบรรจุสารจำลองเนื้อคนเหลวให้ห่างจากโพรบตามที่ตั้งค่าไว้ในที่นี้ทำการสแกน 5 ระนาบโดยแต่ละระนาบมีระยะห่างกัน 1 ซม.

#### 4.2 ขั้นตอนการทดลอง

1. ติดตั้งชุดอุปกรณ์วัดสนามไฟฟ้าระยะใกล้และสายอากาศที่สร้างขึ้นตาม รูปที่ 4.3 โดยการติดตั้งอุปกรณ์จะแสดงในรูปที่ 4.4
2. ทำการวัดสนามไฟฟ้าที่ระนาบที่ 1 โดยจุ่มโพรบลงไปภายในภาชนะโดยห่างจากสายอากาศ 1 ซม. แล้วเริ่มให้ระบบทำงาน
3. จากนั้นเลื่อนตำแหน่งของสายอากาศกับภาชนะออกห่างจากโพรบ 1 ,2 ,3 และ 4 ซม. ตามลำดับเพื่อวัดค่าตามข้อ 2
4. ผลการทดลองที่ได้จะเก็บไว้ในรูปแบบของไฟล์ข้อมูลของคอมพิวเตอร์ ซึ่งจะนำไปแสดงผลในรูปแบบต่อไป



รูปที่ 4.4 การติดตั้งอุปกรณ์การทดลองวัดค่าสนามไฟฟ้าโดยใช้ชุดวัดสนามไฟฟ้า

#### 4.3 ผลการทดลอง

จากการวัดสนามไฟฟ้าจากสายอากาศโคแอกเซียลคอลลิเนียร์โดยใช้ชุดวัดสนามไฟฟ้าระยะใกล้ แล้วนำค่าที่ได้มาพล็อตกราฟแสดงผลของแอมพลิจูดและเฟส ตลอดจนทำการเปรียบเทียบขนาดของสนามไฟฟ้าที่ระยะต่างๆ ของสายอากาศ ซึ่งกราฟแสดงการแพร่กระจายสนามไฟฟ้าบนสายอากาศนั้นเป็นข้อมูลที่ได้จากสายอากาศที่มีความยาว 2 ขนาดดังนี้

1. สายอากาศที่มี  $l = 0.817$  ซม.,  $h_1 = 1.530$  ซม.
2. สายอากาศที่มี  $l = 1.582$  ซม.,  $h_1 = 0.76$  ซม.

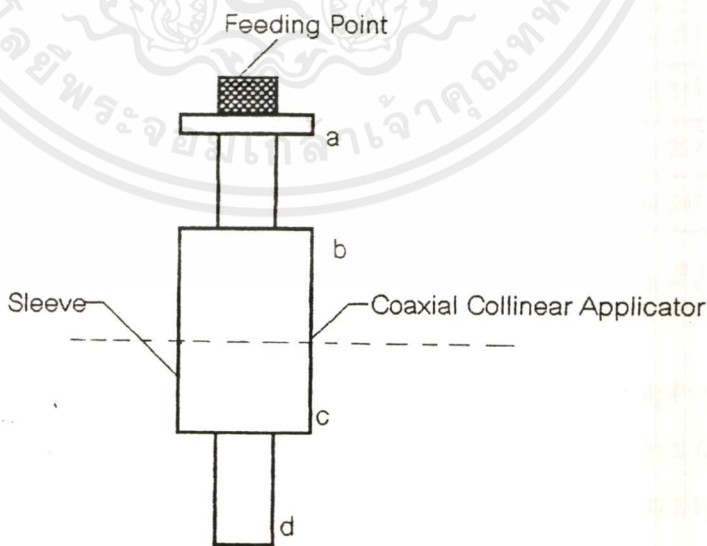
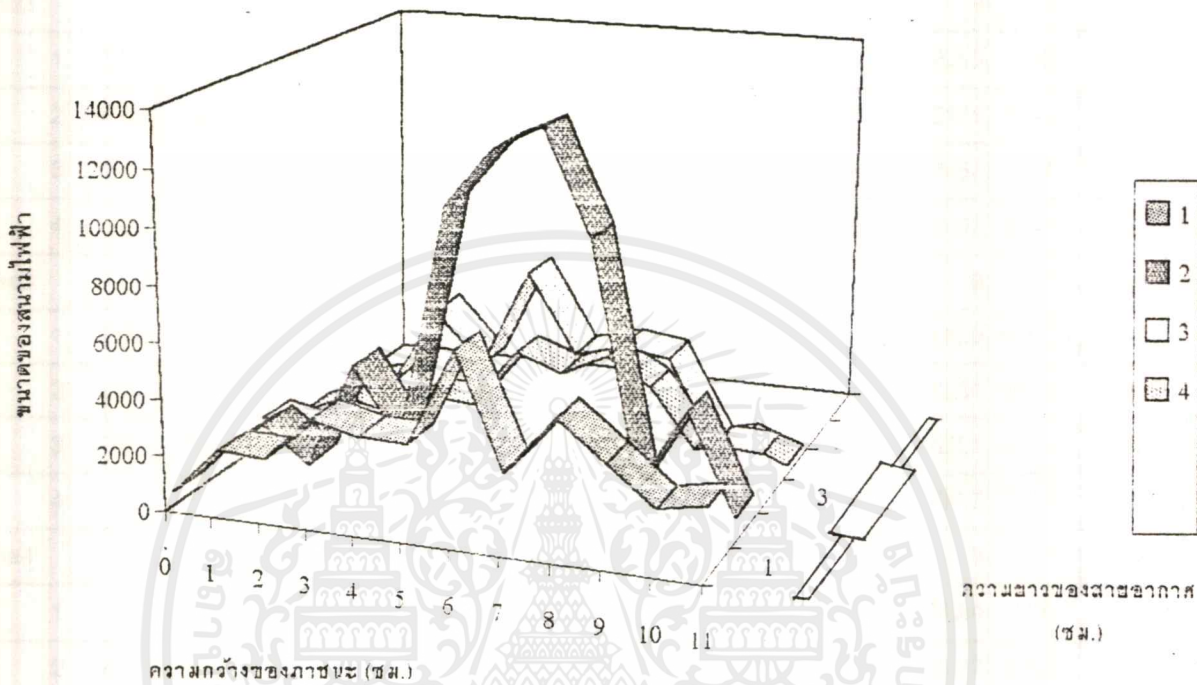
โดยกราฟและตารางที่ได้จะแสดงข้อมูลต่างๆ ดังนี้

1. ตารางแสดงขนาดของสนามไฟฟ้าที่ได้จากการทดลองและจากการคำนวณที่ระยะห่างจากสายอากาศ 1,2,3,4 และ 5 ซม.
2. กราฟแสดงขนาดของสนามไฟฟ้าที่ได้จากการคำนวณที่ระยะห่างจากสายอากาศ 1,2,3,4 และ 5 ซม.
3. กราฟแสดงขนาดของสนามไฟฟ้าที่ได้จากการทดลองที่ระยะห่างจากสายอากาศ 1,2,3,4 และ 5 ซม.
4. กราฟแสดงการเปรียบเทียบขนาดของสนามไฟฟ้าที่ได้จากการทดลองและจากการคำนวณที่ระยะ 1,2,3,4 และ 5 ซม.

เอกสารนี้เป็นเอกสารที่สงวนไว้สำหรับการใช้งานเพื่อการศึกษาเท่านั้น ไม่อนุญาตให้นำไปใช้ประโยชน์ด้านการค้าไม่ว่ากรณีใดๆ ทั้งสิ้น อีกทั้งห้ามมิให้ตัดแปลงเนื้อหาและต้องอ้างอิงถึงเจ้าของเอกสารทุกครั้งที่มีการนำไปใช้

5. กราฟแสดงการเปรียบเทียบขนาดของสนามไฟฟ้าที่ได้จากการทดลองและจากการคำนวณที่ระยะ 1,2,3 และ 4 ซม. ของความยาวสายอากาศ

6. กราฟแสดงการเปรียบเทียบเฟสของกระแสบนสายอากาศที่ได้จากการทดลองกับทางทฤษฎี สำหรับผลการทดลองในรูปของกราฟทั้งหมดจะมีรายละเอียดเกี่ยวกับ ตำแหน่งการวางสายอากาศ จุดที่ใช้วัดสนามไฟฟ้าบนสายอากาศ รวมทั้งรายละเอียดที่จะได้กล่าวต่อไปดังรูปที่ 4.5



รูปที่ 4.5 (a) ตัวอย่างรูปแบบกราฟแสดงผลการทดลองและการวางสายอากาศ

(b) ตำแหน่งที่ใช้วัดสนามไฟฟ้าบนสายอากาศ

เอกสารนี้เป็นเอกสารที่สงวนไว้สำหรับการใช้งานเพื่อการศึกษาเท่านั้น เมื่อนุญาตให้นำไปใช้ประโยชน์ด้านการค้า ไม่ว่าจะกรณีใดๆ ทั้งสิ้น อีกทั้งห้ามมิให้ดัดแปลงเนื้อหาและต้องอ้างอิงถึงเจ้าของเอกสารทุกครั้งที่มีการนำไปใช้

| Plane1 | 0     | 1     | 2     | 3      | 4      | 5      | 6      | 7      | 8      | 9      | 10     | 11    |
|--------|-------|-------|-------|--------|--------|--------|--------|--------|--------|--------|--------|-------|
| 1      | 722.9 | 1210  | 720.7 | 590.12 | 1498.2 | 1600   | 1766.5 | 1645.2 | 2335.4 | 1174.3 | 402.84 | 570.5 |
| 2      | 1637  | 1631  | 1387  | 1230.2 | 2007.5 | 4054.3 | 4148.7 | 4678   | 4487   | 2249.6 | 1470.1 | 527.2 |
| 3      | 273.9 | 568.7 | 768.8 | 671.98 | 1505.9 | 1590.5 | 1765   | 1575.2 | 488.18 | 923.1  | 515.58 | 226   |
| 4      | 118.9 | 254.1 | 456   | 188.14 | 1018.8 | 1311.1 | 1394.3 | 984.85 | 449.17 | 490.7  | 203.49 | 55.15 |
| Plane2 | 0     | 1     | 2     | 3      | 4      | 5      | 6      | 7      | 8      | 9      | 10     | 11    |
| 1      | 767.6 | 1367  | 998.4 | 2051.7 | 2459.2 | 647.87 | 469.86 | 2222.9 | 2167.8 | 1062.5 | 1288.4 | 945.4 |
| 2      | 978.4 | 569.1 | 1998  | 1906   | 3101.3 | 5433.3 | 5751.8 | 3533.1 | 1328.4 | 2171   | 154.12 | 1014  |
| 3      | 151.3 | 920.1 | 60.22 | 1478.9 | 386.88 | 1415.4 | 1254.9 | 1221.8 | 1894.4 | 488.67 | 997.6  | 265.5 |
| 4      | 110.2 | 402.5 | 232.3 | 1063.3 | 1261.2 | 1065.5 | 1393   | 1889.8 | 1118.6 | 465.97 | 354.62 | 114.6 |
| Plane3 | 0     | 1     | 2     | 3      | 4      | 5      | 6      | 7      | 8      | 9      | 10     | 11    |
| 1      | 2756  | 985.9 | 1674  | 833.36 | 2013.8 | 2802.8 | 2783.7 | 1920.4 | 942.41 | 1566.9 | 936.24 | 1005  |
| 2      | 327.9 | 1118  | 366.1 | 2457.6 | 3101.3 | 5433.3 | 5751.8 | 3533.2 | 2349.1 | 582.81 | 855.09 | 446.5 |
| 3      | 273.9 | 568.7 | 768.8 | 671.98 | 1505.9 | 1590.5 | 1765   | 1575.2 | 488.18 | 923.1  | 515.58 | 226   |
| 4      | 118.9 | 254.1 | 456   | 188.14 | 1018.8 | 1311.1 | 1394.3 | 984.85 | 449.17 | 490.7  | 203.49 | 55.15 |
| Plane4 | 0     | 1     | 2     | 3      | 4      | 5      | 6      | 7      | 8      | 9      | 10     | 11    |
| 1      | 775.6 | 717.4 | 1073  | 1006.8 | 1628   | 1711.7 | 1364.8 | 1160.7 | 1350.8 | 1579.4 | 1288.9 | 1002  |
| 2      | 99.55 | 419.5 | 265.7 | 1210.7 | 540.49 | 1056.4 | 2143.1 | 2340.3 | 1969.7 | 853.27 | 585.76 | 960.3 |
| 3      | 99.36 | 205.3 | 290.4 | 362.74 | 851.63 | 536.08 | 86.989 | 274.38 | 311.66 | 881.02 | 857.98 | 206.7 |
| 4      | 96.18 | 134.8 | 126.5 | 184.39 | 458.6  | 452.65 | 267.98 | 350.27 | 412.87 | 487.86 | 345.13 | 103.6 |
| Plane5 | 0     | 1     | 2     | 3      | 4      | 5      | 6      | 7      | 8      | 9      | 10     | 11    |
| 1      | 79.22 | 1191  | 1048  | 1043.4 | 1041.4 | 958.95 | 926.11 | 938.92 | 878.93 | 664.47 | 723.45 | 738.5 |
| 2      | 589.6 | 156.9 | 711.8 | 1069.1 | 1130.8 | 1126.1 | 995.76 | 669.33 | 139.59 | 265.61 | 442.15 | 420.1 |
| 3      | 240   | 379.1 | 147.4 | 185.62 | 415.38 | 368.18 | 180.64 | 218.52 | 307.71 | 411.32 | 114.07 | 136   |
| 4      | 80.11 | 184.9 | 152.8 | 93.471 | 125.36 | 95.822 | 74.446 | 205.5  | 220.14 | 184.54 | 193.6  | 193.7 |

ตารางที่ 4.1 ขนาดของสนามไฟฟ้าที่ได้จากการทดลองของสายอากาศโคแอกเรียลคอลลินิเยอร์ที่มีสลิปยาว 1.634 ซม.

จากตารางที่ 4.1 Plane1 ถึง Plane5 คือระยะที่ต้องการวัด (แกน z) โดยอยู่ห่างจากสายอากาศ 1,2,3,4 และ 5 ซม.ตามลำดับโดยแต่ละระยะจะมีการสแกนในแนวความกว้างของภาชนะ (แกน y) ทั้งหมด 12 จุดคือ ที่ระยะ 0 ถึง 11 ซม. จากขอบด้านข้างด้านหนึ่งถึงอีกด้านของภาชนะ และระยะสแกนในแนวลึกตามความยาวของสายอากาศ (แกน x) ทั้งหมด 4 จุดคือที่ระยะ 1,2,3 และ 4 ซม.ตามลำดับโดยกำหนดให้

แกน x คือความยาวของสายอากาศ (ซม.)

แกน y คือความกว้างของภาชนะที่บรรจุสารจำลองเนื้อคนชนิดเหลว (ซม.)

เอกสารนี้เป็นแกน z ที่สแกนได้คือระยะห่างระหว่างสายอากาศกับโพรง (ซม.) ญาติให้นำไปใช้ประโยชน์ด้านการค้า

ไม่ว่ากรณีใดๆ ทั้งสิ้น อีกทั้งห้ามมิให้ตัดแปลงเนื้อหาและต้องอ้างอิงถึงเจ้าของเอกสารทุกครั้งที่มีการนำไปใช้

| Plane1 | 0      | 1      | 2      | 3      | 4      | 5      | 6      | 7      | 8      | 9      | 10     | 11     |
|--------|--------|--------|--------|--------|--------|--------|--------|--------|--------|--------|--------|--------|
| 1      | 940.7  | 1075.9 | 1250.3 | 1483.6 | 1806.3 | 2186.6 | 2347.7 | 2186.6 | 1806.3 | 1483.6 | 1250.3 | 1075.9 |
| 2      | 3046.6 | 3497   | 4088.5 | 4907.6 | 6116.9 | 7522.1 | 9032.1 | 7522.1 | 6116.9 | 4907.6 | 4088.5 | 3497   |
| 3      | 869.9  | 972.2  | 1091.6 | 1226.1 | 1366.2 | 1483.6 | 1531.7 | 1483.6 | 1366.2 | 1226.1 | 1091.6 | 972.2  |
| 4      | 819.8  | 903.1  | 995.1  | 1091.5 | 1182.2 | 1250.3 | 1276.3 | 1250.3 | 1182.2 | 1091.5 | 995.1  | 903.1  |
| Plane2 | 0      | 1      | 2      | 3      | 4      | 5      | 6      | 7      | 8      | 9      | 10     | 11     |
| 1      | 912.1  | 1033   | 1182.2 | 1366.2 | 1586.1 | 1806.3 | 1909.1 | 1806.3 | 1586.1 | 1366.2 | 1182.2 | 1033   |
| 2      | 2966.5 | 3359.3 | 3828.5 | 4364.4 | 4914.6 | 5364.8 | 5553.5 | 5364.8 | 4914.6 | 4364.4 | 3828.5 | 3359.3 |
| 3      | 724.5  | 820.4  | 940.8  | 1095.2 | 1293.6 | 1513.3 | 1625.4 | 1513.3 | 1293.6 | 1095.2 | 940.8  | 820.4  |
| 4      | 242.5  | 274    | 315.1  | 372.3  | 456.4  | 568.8  | 637.3  | 568.8  | 456.4  | 372.3  | 315.1  | 274    |
| Plane3 | 0      | 1      | 2      | 3      | 4      | 5      | 6      | 7      | 8      | 9      | 10     | 11     |
| 1      | 869.9  | 972.2  | 1091.5 | 1226.1 | 1366.2 | 1483.6 | 1531.7 | 1483.6 | 1366.2 | 1226.1 | 1091.5 | 972.2  |
| 2      | 2828.1 | 3162.6 | 3545.8 | 3961.7 | 4364.4 | 4671.5 | 4788.5 | 4671.5 | 4364.4 | 3961.7 | 3545.8 | 3162.6 |
| 3      | 691.2  | 772    | 867.2  | 976.9  | 1095.2 | 1198.9 | 1242.8 | 1198.9 | 1095.2 | 976.9  | 867.2  | 772    |
| 4      | 231.6  | 258    | 289.7  | 328    | 372.3  | 414.5  | 433.5  | 414.5  | 372.3  | 328    | 289.7  | 258    |
| Plane4 | 0      | 1      | 2      | 3      | 4      | 5      | 6      | 7      | 8      | 9      | 10     | 11     |
| 1      | 819.8  | 903.1  | 995.1  | 1091.5 | 1182.2 | 1250.3 | 1276.1 | 1250.3 | 1182.2 | 1091.5 | 995.1  | 903.1  |
| 2      | 2663.2 | 2937.2 | 3237.1 | 3545.8 | 3828.5 | 4033.5 | 4109.4 | 4033.5 | 3828.5 | 3545.8 | 3237.1 | 2937.2 |
| 3      | 651.8  | 717.4  | 790.3  | 867.2  | 940.8  | 997    | 1018.6 | 997    | 940.8  | 867.2  | 790.3  | 717.4  |
| 4      | 218.9  | 240.2  | 264    | 289.7  | 315.1  | 335.3  | 343.2  | 335.3  | 315.1  | 289.7  | 264    | 240.2  |
| Plane5 | 0      | 1      | 2      | 3      | 4      | 5      | 6      | 7      | 8      | 9      | 10     | 11     |
| 1      | 766.6  | 833.2  | 903.1  | 972.2  | 1033   | 1075.9 | 1091.5 | 1075.9 | 1033   | 972.2  | 903.1  | 833.2  |
| 2      | 2488   | 2707.3 | 2937.2 | 3162.6 | 3359.3 | 3496.3 | 3545.8 | 3496.3 | 3359.3 | 3162.6 | 2937.2 | 2707.3 |
| 3      | 609.9  | 662.3  | 717.4  | 772    | 820.4  | 854.2  | 867.2  | 854.2  | 820.4  | 772    | 717.4  | 662.3  |
| 4      | 205.3  | 222.3  | 240.2  | 258    | 274    | 285.5  | 289.7  | 285.5  | 274    | 258    | 240.2  | 222.3  |

ตารางที่ 4.2 ขนาดของสนามไฟฟ้าที่ได้จากการคำนวณของสายอากาศโคแอกเซียลคอลลิเนียร์ที่มีสถิติยาว 1.634 ซม.

จากตารางที่ 4.2 Plane1 ถึง Plane5 คือระยะห่างที่ต้องการวัด (แกน z) โดยอยู่ห่างจากสายอากาศ 1,2,3,4 และ 5 ซม. ตามลำดับโดยแต่ละระยะจะมีการสแกนในแนวความกว้างของภาชนะ (แกน y) ทั้งหมด 12 จุดคือ ที่ระยะ 0 ถึง 11 ซม. จากขอบด้านข้างด้านหนึ่งถึงอีกด้านของภาชนะ และระยะสแกนในแนวลึกตามความยาวของสายอากาศ (แกน x) ทั้งหมด 4 จุดคือที่ระยะ 1,2,3 และ 4 ซม. ตามลำดับโดยกำหนดให้

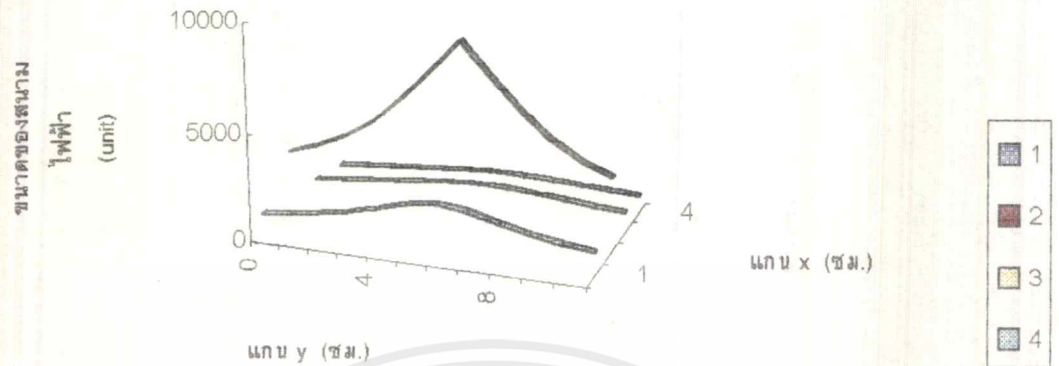
แกน x คือความยาวของสายอากาศ (ซม.)

แกน y คือความกว้างของภาชนะที่บรรจุสารจำลองเนื้อคนชนิดเหลว (ซม.)

แกน z คือระยะห่างระหว่างสายอากาศกับโพรบ (ซม.)

เอกสารนี้เป็นเอกสารที่สงวนไว้สำหรับการใช้งานเพื่อการศึกษาเท่านั้น ไม่อนุญาตให้นำไปใช้ประโยชน์ด้านการค้า ไม่ว่ากรณีใดๆ ทั้งสิ้น อีกทั้งห้ามมิให้ดัดแปลงเนื้อหาและต้องอ้างอิงถึงเจ้าของเอกสารทุกครั้งที่มีการนำไปใช้

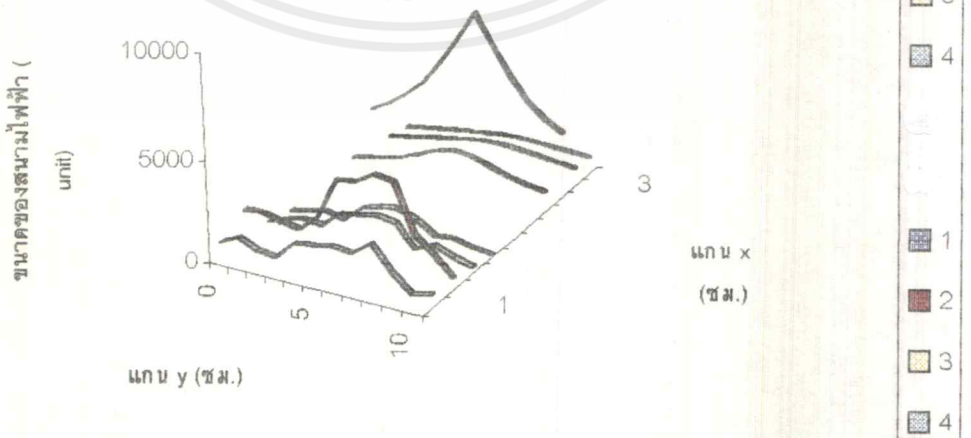
รูปที่ 4.6 แสดงสนามไฟฟ้าที่ได้จากการคำนวณที่ระยะห่างจากสายอากาศ 1 ซม.



รูปที่ 4.7 แสดงสนามไฟฟ้าที่ได้จากการทดลองที่ระยะห่างจากสายอากาศ 1 ซม.



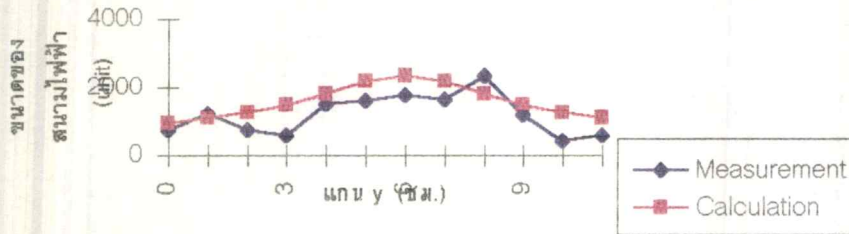
รูปที่ 4.8 แสดงการเปรียบเทียบสนามไฟฟ้าที่ได้จากการทดลองและการคำนวณที่ระยะห่างจากสายอากาศ 1 ซม.



เอกสารนี้เป็นเอกสารที่สงวนไว้สำหรับการใช้งานเพื่อการศึกษาเท่านั้น ไม่อนุญาตให้นำไปใช้ประโยชน์ด้านการค้า ไม่ว่าจะกรณีใดๆ ทั้งสิ้น อีกทั้งห้ามมิให้ตัดแปลงเนื้อหาและต้องอ้างอิงถึงเจ้าของเอกสารทุกครั้งที่มีการนำไปใช้

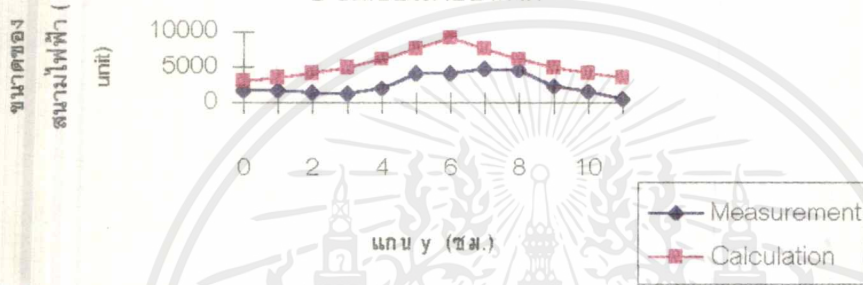
รูปที่ 4.9 แสดงการเปรียบเทียบขนาดของสนามไฟฟ้าที่ระยะ

1 ซม. ของสายอากาศ



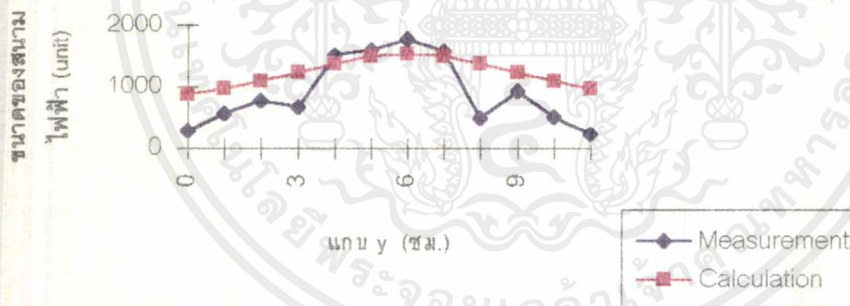
รูปที่ 4.10 แสดงการเปรียบเทียบขนาดของสนามไฟฟ้าที่ระยะ

2 ซม. ของสายอากาศ



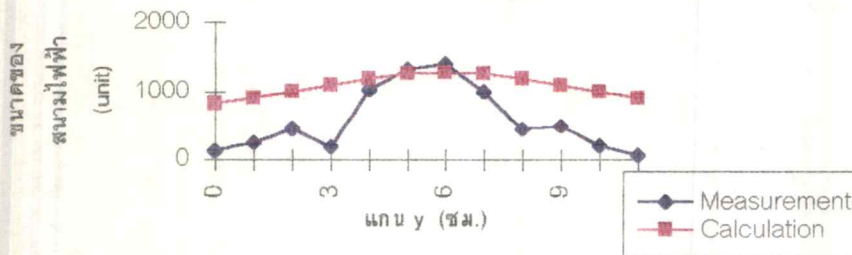
รูปที่ 4.11 แสดงการเปรียบเทียบขนาดของสนามไฟฟ้าที่ระยะ

3 ซม. ของสายอากาศ

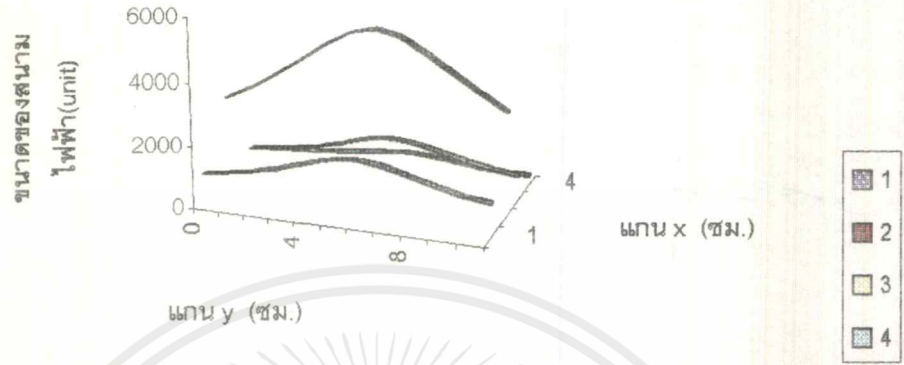


รูปที่ 4.12 แสดงการเปรียบเทียบขนาดของสนามไฟฟ้าที่ระยะ

4 ซม. ของสายอากาศ



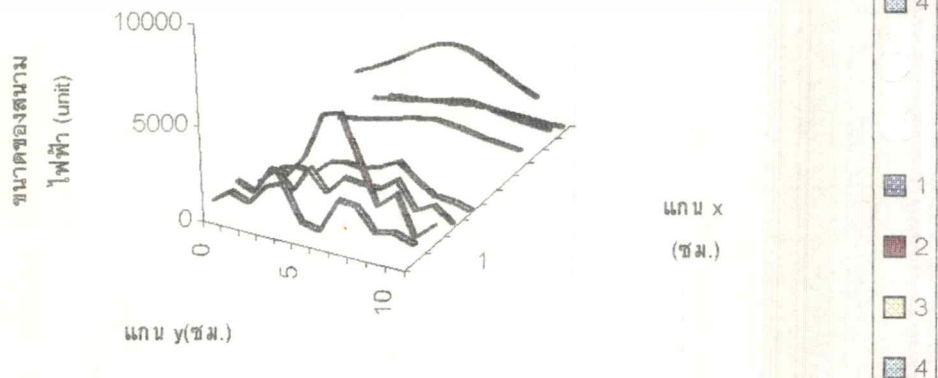
รูปที่ 4.13 แสดงขนาดของสนามไฟฟ้าที่ได้จากการคำนวณระยะห่างจากสายอากาศ 2 ชม.



รูปที่ 4.14 แสดงขนาดของสนามไฟฟ้าที่ได้จากการทดลองที่ระยะห่างจากสายอากาศ 2 ชม.

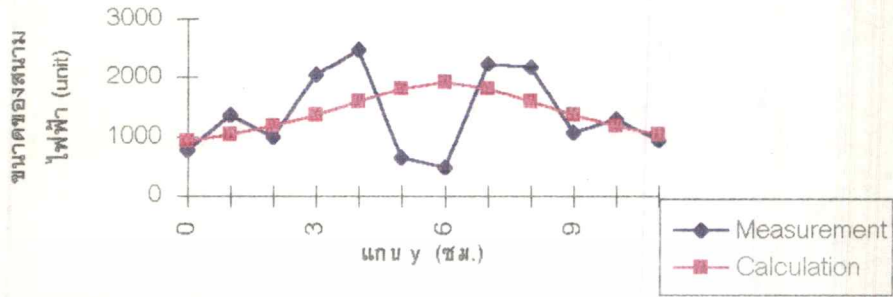


รูปที่ 4.15 แสดงการเปรียบเทียบขนาดของสนามไฟฟ้าที่ได้จากการทดลองและการคำนวณที่ระยะห่างจากสายอากาศ 2 ชม.

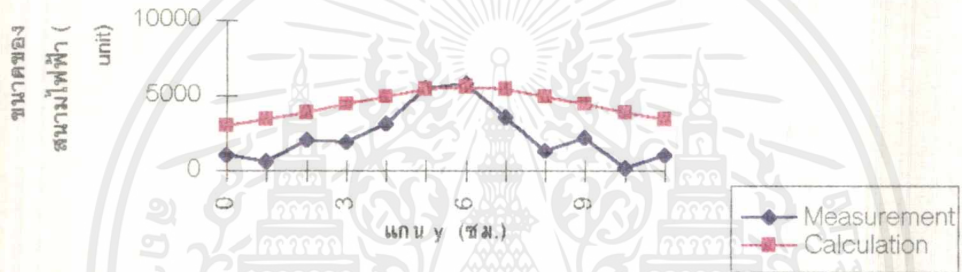


เอกสารนี้เป็นเอกสารที่สงวนไว้สำหรับการใช้งานเพื่อการศึกษาเท่านั้น ไม่อนุญาตให้นำไปใช้ประโยชน์ด้านการค้า ไม่ว่าจะกรณีใดๆ ทั้งสิ้น อีกทั้งห้ามมิให้ตัดแปลงเนื้อหาและต้องอ้างอิงถึงเจ้าของเอกสารทุกครั้งที่มีการนำไปใช้

รูปที่ 4.16 แสดงการเปรียบเทียบขนาดของสนามไฟฟ้าที่ระยะ 1 ซม.ของสายอากาศ



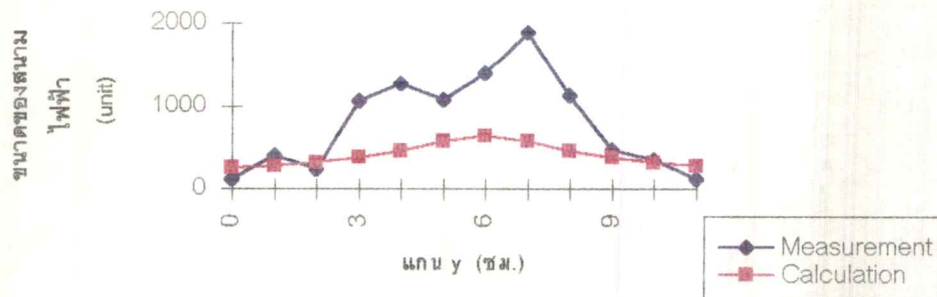
รูปที่ 4.17 แสดงการเปรียบเทียบขนาดของสนามไฟฟ้าที่ระยะ 2 ซม.ของสายอากาศ



รูปที่ 4.18 แสดงการเปรียบเทียบขนาดของสนามไฟฟ้าที่ระยะ 3 ซม.ของสายอากาศ

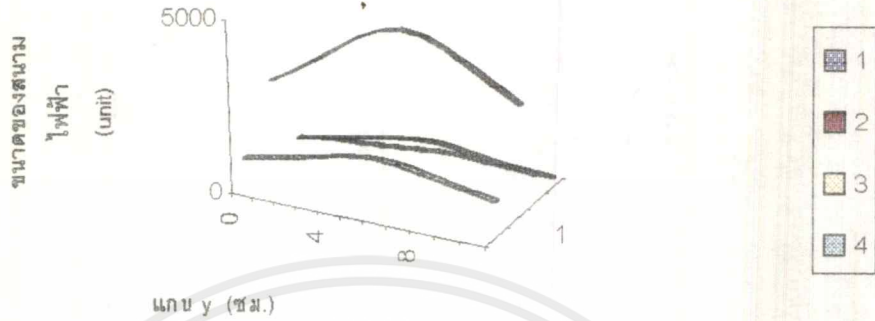


รูปที่ 4.19 แสดงการเปรียบเทียบขนาดของสนามไฟฟ้าที่ระยะ 4 ซม.ของสายอากาศ

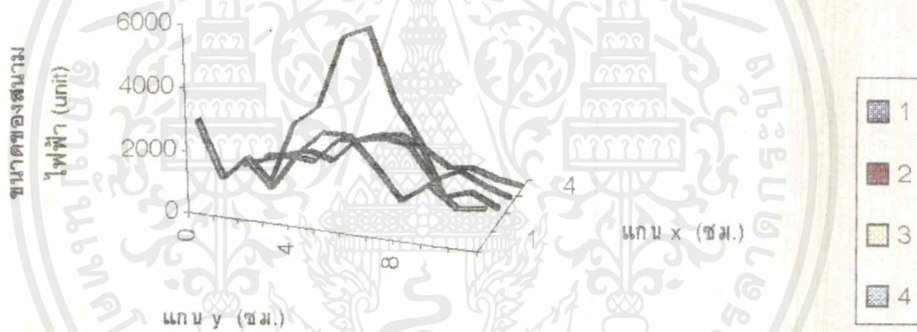


เอกสารนี้เป็นเอกสารที่สงวนไว้สำหรับการใช้งานเพื่อการศึกษาเท่านั้น ไม่อนุญาตให้นำไปใช้ประโยชน์ด้านการค้า ไม่ว่าจะกรณีใดๆ ทั้งสิ้น อีกทั้งห้ามมิให้ดัดแปลงเนื้อหาและต้องอ้างอิงถึงเจ้าของเอกสารทุกครั้งที่มีการนำไปใช้

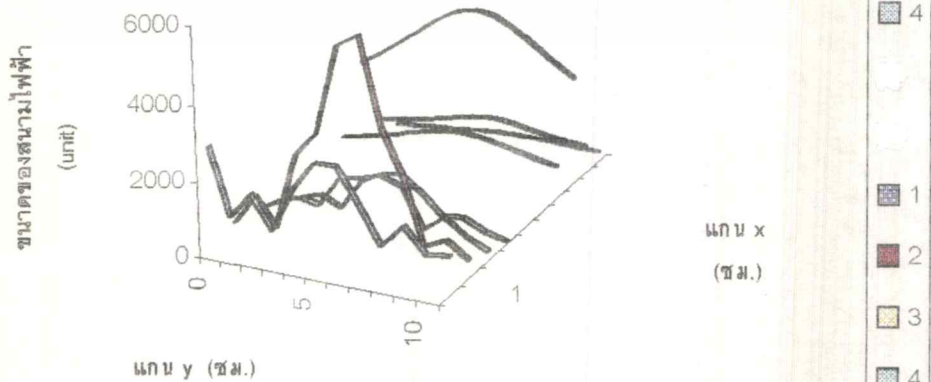
รูปที่ 4.20 แสดงขนาดของสนามไฟฟ้าที่ได้จากการคำนวณที่ระยะห่างจากสายอากาศ 3 ซม.



รูปที่ 4.21 แสดงขนาดของสนามไฟฟ้าที่ได้จากการทดลองที่ระยะห่างจากสายอากาศ 3 ซม.

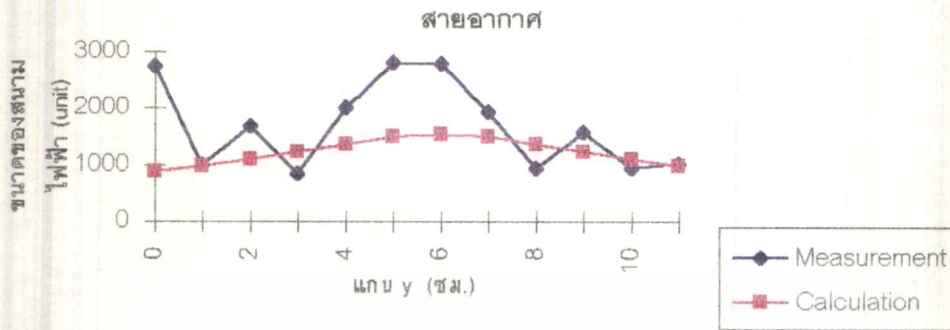


รูปที่ 4.22 แสดงการเปรียบเทียบขนาดของสนามไฟฟ้าที่ได้จากการทดลองและการคำนวณที่ระยะห่างจากสายอากาศ 3 ซม.

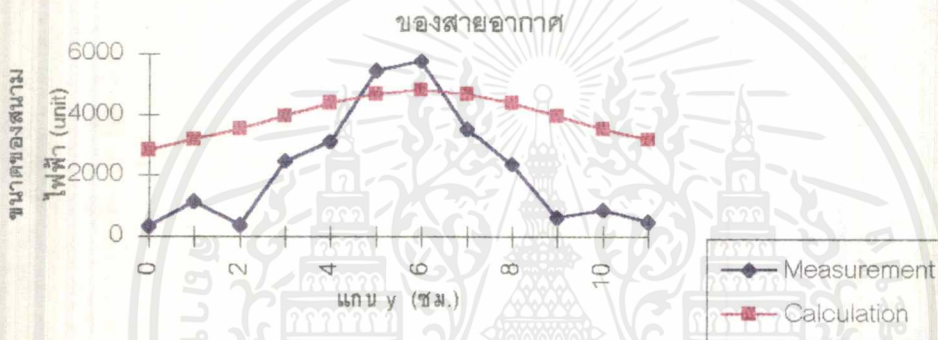


เอกสารนี้เป็นเอกสารที่สงวนไว้สำหรับการใช้งานเพื่อการศึกษาเท่านั้น ไม่อนุญาตให้นำไปใช้ประโยชน์ด้านการค้า ไม่ว่าจะกรณีใดๆ ทั้งสิ้น อีกทั้งห้ามมิให้ตัดแปลงเนื้อหาและต้องอ้างอิงถึงเจ้าของเอกสารทุกครั้งที่มีการนำไปใช้

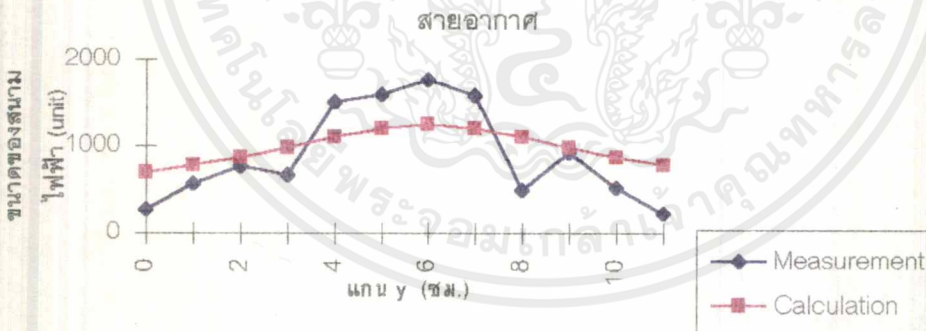
รูปที่ 4.23 แสดงการเปรียบเทียบขนาดของสนามไฟฟ้าที่ระยะ 1 ซม. ของ



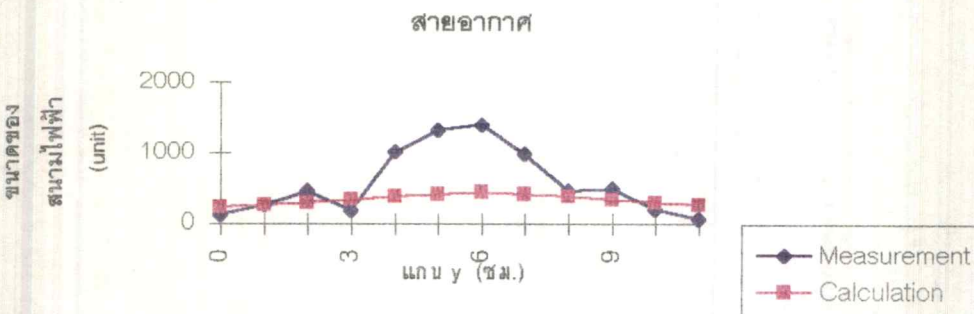
รูปที่ 4.24 แสดงการเปรียบเทียบขนาดของสนามไฟฟ้าที่ระยะ 2 ซม. ของ



รูปที่ 4.25 แสดงการเปรียบเทียบขนาดของสนามไฟฟ้าที่ระยะ 3 ซม. ของ

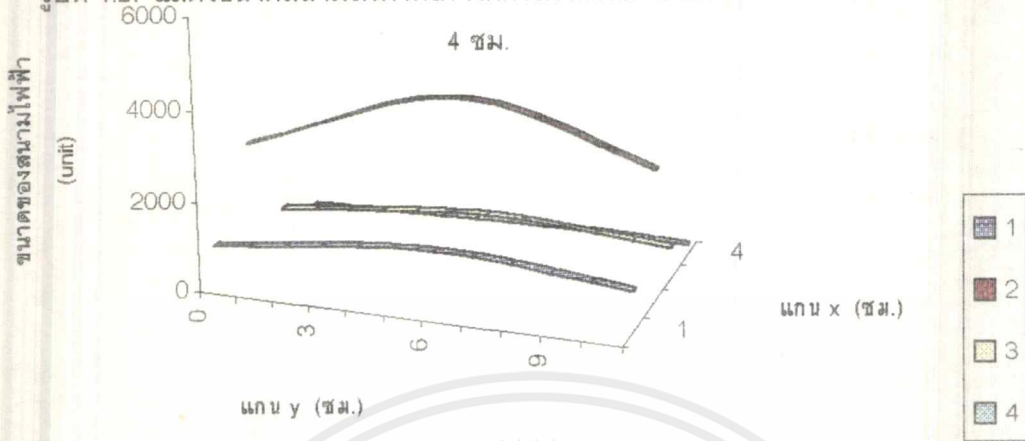


รูปที่ 4.26 แสดงการเปรียบเทียบขนาดของสนามไฟฟ้าที่ระยะ 4 ซม. ของ



เอกสารนี้เป็นเอกสารที่สงวนไว้สำหรับการใช้งานเพื่อการศึกษาเท่านั้น ไม่อนุญาตให้นำไปใช้ประโยชน์ด้านการค้า ไม่ว่าจะกรณีใดๆ ทั้งสิ้น อีกทั้งห้ามมิให้ตัดแปลงเนื้อหาและต้องอ้างอิงถึงเจ้าของเอกสารทุกครั้งที่มีการนำไปใช้

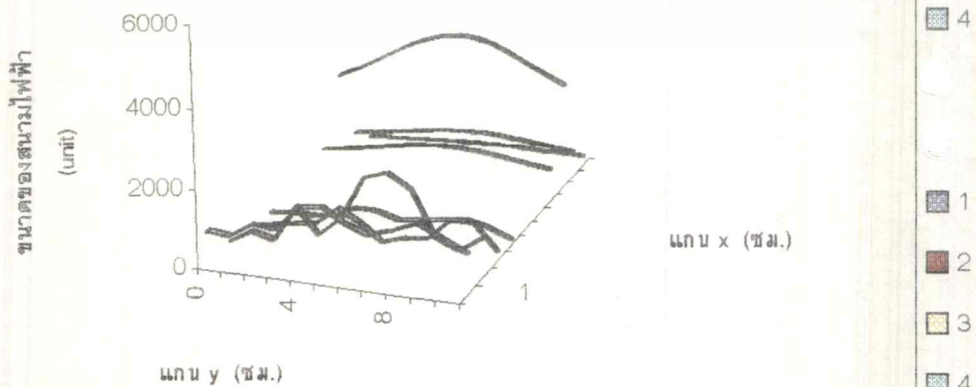
รูปที่ 4.27 แสดงขนาดสนามไฟฟ้าที่ได้จากการคำนวณที่ระยะห่างจากสายอากาศ



รูปที่ 4.28 แสดงขนาดของสนามไฟฟ้าที่ได้จากการทดลองที่ระยะห่างจากสายอากาศ 4 ซม.

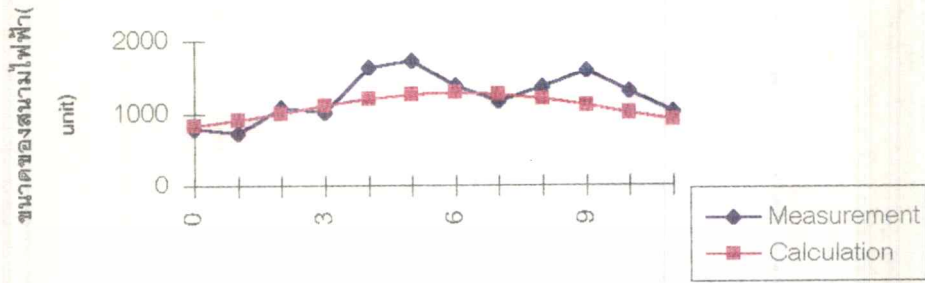


รูปที่ 4.29 แสดงการเปรียบเทียบขนาดของสนามไฟฟ้าที่ได้จากการทดลองและคำนวณที่ระยะห่างจากสายอากาศ 4 ซม.

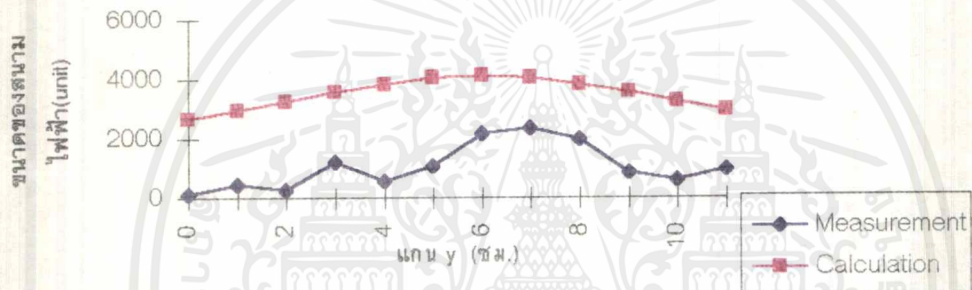


เอกสารนี้เป็นเอกสารที่สงวนไว้สำหรับการใช้งานเพื่อการศึกษาเท่านั้น ไม่อนุญาตให้นำไปใช้ประโยชน์ด้านการค้า ไม่ว่าจะกรณีใดๆ ทั้งสิ้น อีกทั้งห้ามมิให้ดัดแปลงเนื้อหาและต้องอ้างอิงถึงเจ้าของเอกสารทุกครั้งที่มีการนำไปใช้

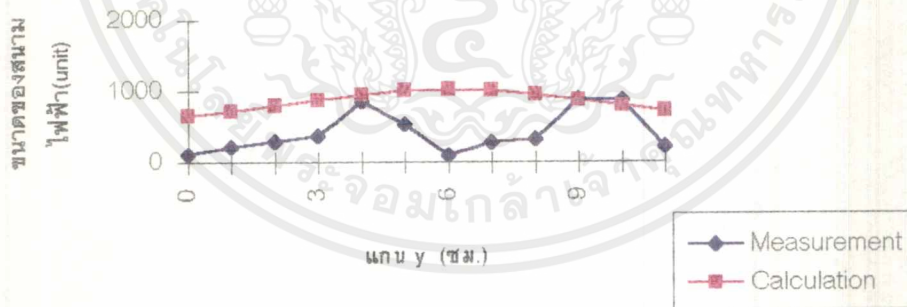
รูปที่ 4.30 แสดงการเปรียบเทียบขนาดของสนามไฟฟ้าที่ระยะ 1 ซม. ของสายอากาศ



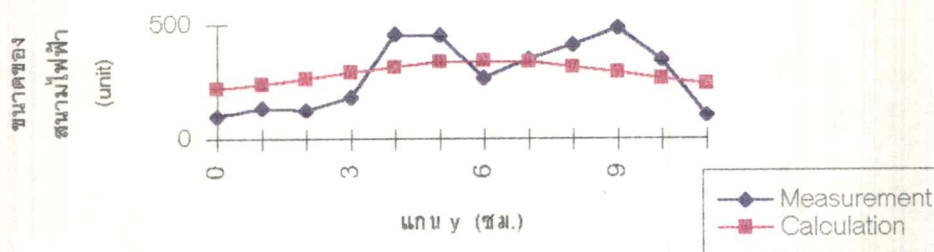
รูปที่ 4.31 แสดงการเปรียบเทียบขนาดของสนามไฟฟ้าที่ระยะ 2 ซม. ของสายอากาศ



รูปที่ 4.32 แสดงการเปรียบเทียบขนาดของสนามไฟฟ้าที่ระยะ 3 ซม. ของสายอากาศ

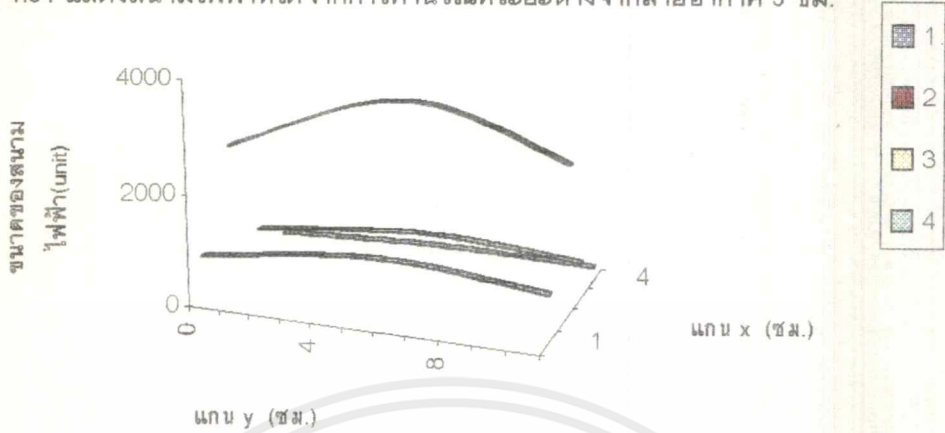


รูปที่ 4.33 แสดงการเปรียบเทียบขนาดของสนามไฟฟ้าที่ระยะ 4 ซม. ของสายอากาศ



เอกสารนี้เป็นเอกสารที่สงวนไว้สำหรับการใช้งานเพื่อการศึกษาเท่านั้น ไม่อนุญาตให้นำไปใช้ประโยชน์ด้านการค้า ไม่ว่าจะกรณีใดๆ ทั้งสิ้น อีกทั้งห้ามมิให้ดัดแปลงเนื้อหาและต้องอ้างอิงถึงเจ้าของเอกสารทุกครั้งที่มีการนำไปใช้

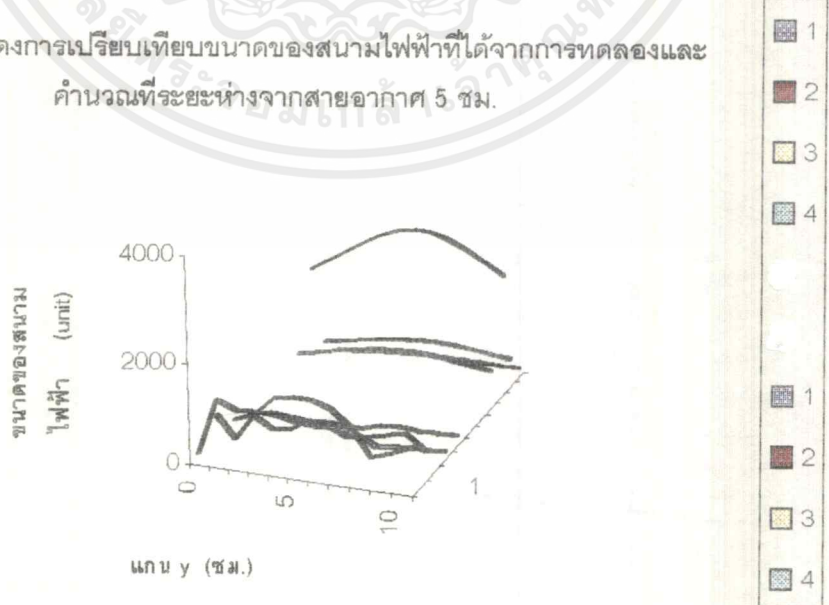
รูปที่ 4.34 แสดงสนามไฟฟ้าที่ได้จากการคำนวณที่ระยะห่างจากสายอากาศ 5 ซม.



รูปที่ 4.35 แสดงขนาดของสนามไฟฟ้าที่ได้จากการทดลองที่ระยะห่างจากสายอากาศ 5 ซม.

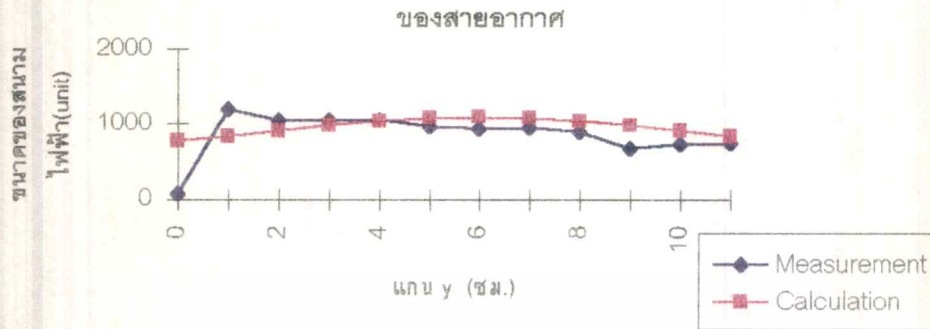


รูปที่ 4.36 แสดงการเปรียบเทียบขนาดของสนามไฟฟ้าที่ได้จากการทดลองและคำนวณที่ระยะห่างจากสายอากาศ 5 ซม.

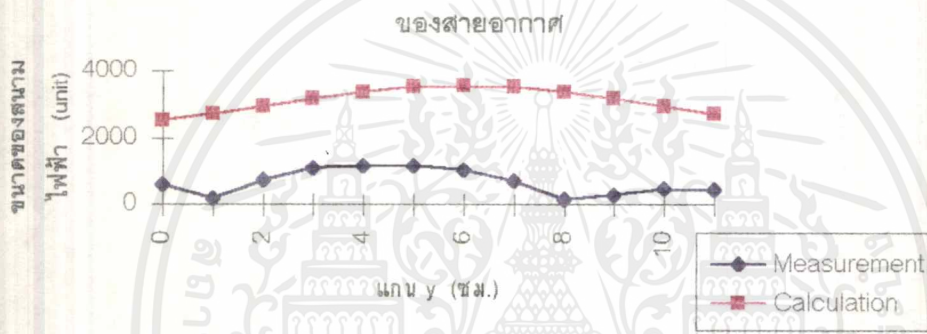


เอกสารนี้เป็นเอกสารที่สงวนไว้สำหรับการใช้งานเพื่อการศึกษาเท่านั้น ไม่อนุญาตให้นำไปใช้ประโยชน์ด้านการค้า ไม่ว่าจะกรณีใดๆ ทั้งสิ้น อีกทั้งห้ามมิให้ตัดแปลงเนื้อหาและต้องอ้างอิงถึงเจ้าของเอกสารทุกครั้งที่มีการนำไปใช้

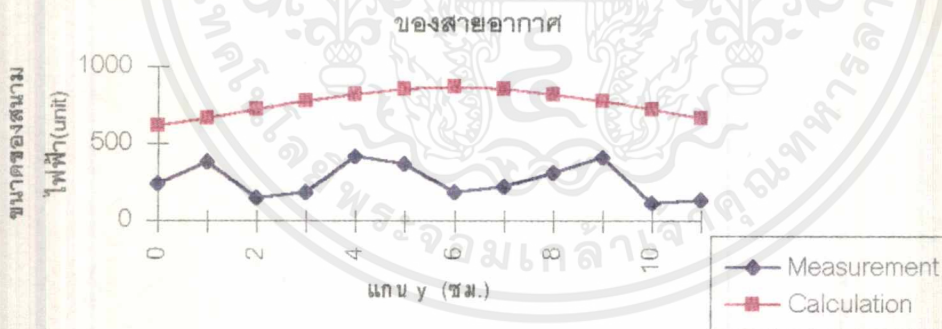
รูปที่ 4.37 แสดงการเปรียบเทียบขนาดของสนามไฟฟ้าที่ระยะ 1 ซม.



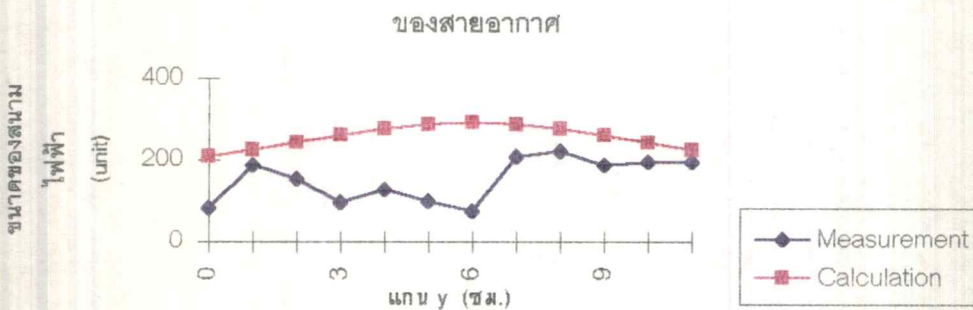
รูปที่ 4.38 แสดงการเปรียบเทียบขนาดของสนามไฟฟ้าที่ระยะ 2 ซม.



รูปที่ 4.39 แสดงการเปรียบเทียบขนาดของสนามไฟฟ้าที่ระยะ 3 ซม.



รูปที่ 4.40 แสดงการเปรียบเทียบขนาดของสนามไฟฟ้าที่ระยะ 4 ซม.

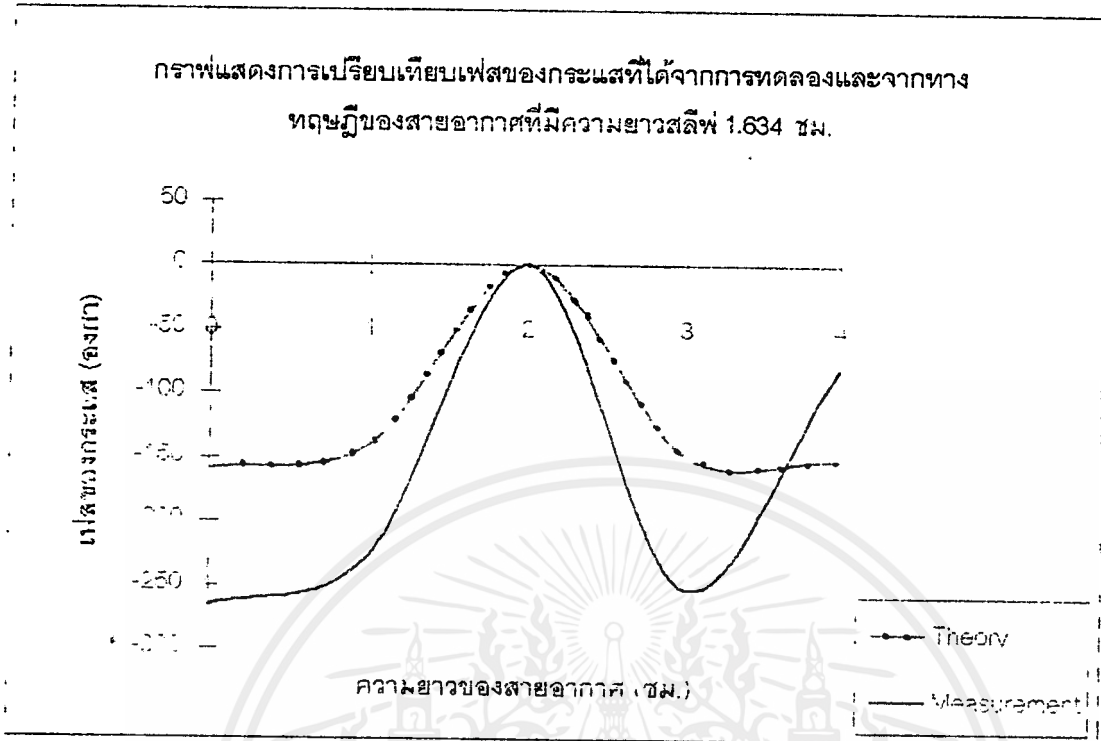


เอกสารนี้เป็นเอกสารที่สงวนไว้สำหรับการใช้งานเพื่อการศึกษาเท่านั้น ไม่อนุญาตให้นำไปใช้ประโยชน์ด้านการค้า  
ไม่ว่ากรณีใดๆ ทั้งสิ้น อีกทั้งห้ามมิให้ตัดแปลงเนื้อหาและต้องอ้างอิงถึงเจ้าของเอกสารทุกครั้งที่มีการนำไปใช้

### วิเคราะห์ผลการทดลองที่ระนาบที่ 1 ถึงระนาบที่ 5 (ระยะห่างจากสายอากาศ 1 ถึง 5 ซม.)

จากกราฟหน้า 35,37,39,41 และ 43 เป็นการแสดงขนาดของสนามไฟฟ้าที่ได้จากการคำนวณและการทดลองของสายอากาศที่มีสล็อตยาว 1.634 ซม. โดยที่เส้นกราฟแต่ละเส้นจะแสดงขนาดของสนามไฟฟ้าที่ระยะ 1,2,3 และ 4 ของสายอากาศซึ่งแทนด้วยสีม่วง น้ำตาล เหลือง ฟ้ำ ตามลำดับ จะพบว่าขนาดของสนามไฟฟ้าตั้งแต่จุดป้อนสัญญาณถึงจุดปลายของสล็อต (a-b) จะมีขนาดต่ำ และตั้งแต่จุดปลายสล็อตด้านหนึ่งถึงปลายสล็อตด้านหนึ่ง (b-c) จะมีขนาดของสนามเพิ่มขึ้นเรื่อยๆ จนมีขนาดสูงสุดที่จุดกึ่งกลางสล็อต (จุดที่เป็นรอยต่อของการสลับสายตัวนำในและตัวนำนอกของแต่ละเฮลเมนต์) และมีค่าลดลงจากจุดกึ่งกลางไปจนถึงปลายของสล็อตอีกด้านหนึ่ง ส่วนระยะสุดท้ายตั้งแต่ปลายสล็อตถึงปลายสายอากาศ (c-d) จะมีขนาดของสนามไฟฟ้าต่ำกว่าช่วงที่มีสล็อตและจะมีค่าลดลงเรื่อยๆ จนถึงปลายสล็อต ซึ่งจะเห็นได้ว่ารูปแบบการแพร่กระจายสนามไฟฟ้าที่ได้จากการทดลองจะมีลักษณะใกล้เคียงกับค่าที่ได้จากการคำนวณ กล่าวคือสัญญาณจะมีขนาดต่ำบริเวณปลายทั้งสองด้านของสายอากาศแล้วมีขนาดสูงขึ้นเรื่อยๆ จนถึงปลายสล็อตทั้งสองด้านและเมื่ออยู่ในส่วนของสล็อตจะมีขนาดสนามไฟฟ้าสูงขึ้นเรื่อยๆ และมีค่าสูงสุดที่จุดกึ่งกลางของสล็อต ซึ่งค่าสนามไฟฟ้าจะมีค่ามากกว่าค่าสนามไฟฟ้าในช่วงที่ไม่มีสล็อต

จากกราฟหน้า 36,38,40,42 และ 44 เป็นกราฟแสดงการเปรียบเทียบขนาดของสนามไฟฟ้าที่ระยะ 1,2,3 และ 4 ซม. ของสายอากาศซึ่งจะพบว่าขนาดของสนามไฟฟ้าจะมีค่าใกล้เคียงกันและมีแนวโน้มเหมือนกัน กล่าวคือระยะห่าง 1 ซม. จากจุดป้อนสัญญาณจะมีความแรงของสัญญาณใกล้เคียงกับระยะห่าง 3 ซม. จากจุดป้อนสัญญาณ ส่วนที่ระยะห่าง 2 ซม. จะมีความแรงของสัญญาณสูงสุด และที่ระยะห่าง 4 ซม. จากจุดป้อนสัญญาณจะมีความแรงของสัญญาณต่ำที่สุด ซึ่งเป็นไปตามที่ค่าที่ได้จากการคำนวณ



สำหรับกราฟข้างบนจะแสดงการเปรียบเทียบเฟสของกระแสที่ไหลในสายอากาศที่ได้จากการทดลองและทฤษฎี ซึ่งจากการทดลองจะเห็นว่าตั้งแต่ระยะจุดบิโอดัญญาณจนถึงจุดกึ่งกลางของสายอากาศเฟสจะมีค่าเพิ่มขึ้นจนกระทั่งมีค่าเท่ากับศูนย์ และจะมีค่าลดลงเรื่อยๆ จากระยะกึ่งกลางของสายอากาศจนถึงปลายคลื่นอีกด้านหนึ่งซึ่งมีค่าใกล้เคียงกับทฤษฎี

จากกราฟแสดงขนาดสนามไฟฟ้าของสายอากาศที่มีความยาว 1.634 ซม. ตั้งแต่ระยะนาบที่ 1 ถึง 5 จะเห็นว่าที่ระยะนาบที่ 1 จะมีความแรงของสัญญาณมากกว่าระยะนาบอื่นๆ เนื่องจากอยู่ใกล้สายอากาศมากที่สุด ส่วนระยะนาบอื่นๆ จะมีค่าลดลงเรื่อยๆ ตามระยะห่างของแต่ละระยะนาบนั้นๆ

| Plane1 | 0      | 1      | 2      | 3      | 4      | 5      | 6      | 7      | 8      | 9      | 10     | 11     |
|--------|--------|--------|--------|--------|--------|--------|--------|--------|--------|--------|--------|--------|
| 1      | 488.55 | 2159.7 | 2078.1 | 3674.3 | 3293.6 | 3256.4 | 6698.4 | 2711.8 | 4777.2 | 3454.8 | 2134.6 | 2471.3 |
| 2      | 773.13 | 1996   | 731.65 | 4550.5 | 2070   | 10592  | 12604  | 13489  | 9894.4 | 1466.2 | 4313   | 835.72 |
| 3      | 943.09 | 571.58 | 2617.6 | 2924.8 | 5761.1 | 3968.2 | 7517.8 | 4724   | 5178.5 | 4921   | 2005.2 | 1906.9 |
| 4      | 112.66 | 883.34 | 509.38 | 1338.5 | 1203.4 | 3410.9 | 2797.1 | 3616.8 | 2698.8 | 494.12 | 963.33 | 343.99 |
| Plane2 | 0      | 1      | 2      | 3      | 4      | 5      | 6      | 7      | 8      | 9      | 10     | 11     |
| 1      | 1856.3 | 2330.9 | 2061.2 | 3554.6 | 4507.3 | 4427   | 4596.5 | 3348.4 | 2349.7 | 2439.6 | 1944.7 | 1835   |
| 2      | 1749.3 | 2024.3 | 3461.8 | 4124.2 | 4201   | 4343.3 | 4786.3 | 4085.8 | 3651.5 | 729.74 | 1707.4 | 604.57 |
| 3      | 306.81 | 2395.3 | 1230.5 | 3722.8 | 5303.4 | 5429.5 | 5271.9 | 2730   | 1844.5 | 2002.1 | 263.87 | 758.59 |
| 4      | 755.94 | 105    | 1175.3 | 607.19 | 907    | 1564   | 765.65 | 786.1  | 899.4  | 352.9  | 591.13 | 367.72 |
| Plane3 | 0      | 1      | 2      | 3      | 4      | 5      | 6      | 7      | 8      | 9      | 10     | 11     |
| 1      | 233.78 | 2188.7 | 2965.8 | 2066.1 | 2394.9 | 2898.3 | 2703.7 | 2088.7 | 2645.5 | 2311.7 | 1815.9 | 1638.8 |
| 2      | 447.05 | 2025.5 | 782.97 | 2824.9 | 4488.2 | 4343.3 | 4668.7 | 4010.4 | 1288.9 | 1759.9 | 1333.2 | 380.84 |
| 3      | 942.26 | 398.52 | 2477.3 | 1687.6 | 1565.5 | 2778.4 | 2342.7 | 1335.3 | 2420.9 | 1412.4 | 450.57 | 820.4  |
| 4      | 269.93 | 877.98 | 108.29 | 1105.2 | 1184.8 | 847.19 | 924.97 | 1008   | 496.8  | 452.04 | 638.69 | 281.41 |
| Plane4 | 0      | 1      | 2      | 3      | 4      | 5      | 6      | 7      | 8      | 9      | 10     | 11     |
| 1      | 535.73 | 1896.8 | 1938.7 | 1932.5 | 2514.4 | 2604.6 | 2463.8 | 2330.4 | 1937.4 | 1770.5 | 1496.8 | 1174.5 |
| 2      | 965.51 | 398.32 | 1395   | 1944.7 | 1246.2 | 579.15 | 709.06 | 1486.6 | 1851.6 | 1228.6 | 546.78 | 799.66 |
| 3      | 396.07 | 969.89 | 326.75 | 1144.5 | 1993.9 | 2226.2 | 2178.8 | 1713   | 833.69 | 553.73 | 689.6  | 522.7  |
| 4      | 366.84 | 196.7  | 607.58 | 704.41 | 318.97 | 113.21 | 145.79 | 346.6  | 543.71 | 596.46 | 273.17 | 506.04 |
| Plane5 | 0      | 1      | 2      | 3      | 4      | 5      | 6      | 7      | 8      | 9      | 10     | 11     |
| 1      | 148.68 | 1266.8 | 1598.6 | 1749.9 | 1732.9 | 1725   | 1764.7 | 1716.8 | 1540.7 | 1262   | 977.04 | 1086.1 |
| 2      | 386.86 | 802.31 | 416.49 | 786.54 | 1337.1 | 1600.6 | 1440   | 913.71 | 369.71 | 414.07 | 863.94 | 549.58 |
| 3      | 90.599 | 468.69 | 806.9  | 709.83 | 406.55 | 352.49 | 384.69 | 543.03 | 653.09 | 625.64 | 301.26 | 465.54 |
| 4      | 405.85 | 236.43 | 92.454 | 420.7  | 591.61 | 671.65 | 582.34 | 483.74 | 353.8  | 143.87 | 657.8  | 194.24 |

ตารางที่ 4.3 ขนาดของสนามไฟฟ้าที่ได้จากการทดลองของสายอากาศโคแอกเชียลคอลลิเนียร์ที่มีลึฟยาว 3.164 ซม.

จากตารางที่ 4.3 Plane1 ถึง Plane5 คือระยะห่างที่ต้องการวัด (แกน z) โดยอยู่ห่างจากสายอากาศ 1,2,3,4 และ 5 ซม. ตามลำดับ โดยแต่ละระยะห่างจะมีการสแกนในแนวความกว้างของภาชนะ (แกน y) ทั้งหมด 12 จุดคือ ที่ระยะ 0 ถึง 11 ซม. จากขอบด้านข้างด้านหนึ่งถึงอีกด้านของภาชนะ และระยะสแกนในแนวลึกตามความยาวของสายอากาศ (แกน X) ทั้งหมด 4 จุดคือที่ระยะ 1,2,3 และ 4 ซม. ตามลำดับโดยกำหนดให้

แกน x คือความยาวของสายอากาศ (ซม.)

แกน y คือความกว้างของภาชนะที่บรรจุสารจำลองเนื้อคนชนิดเหลว (ซม.)

แกน z คือระยะห่างระหว่างสายอากาศกับโพรบ (ซม.) อนุญาตให้นำไปใช้ประโยชน์ด้านการค้าไม่ว่ากรณีใดๆทั้งสิ้น อีกทั้งห้ามมิให้คัดลอกเนื้อหาและต้องอ้างอิงถึงเจ้าของเอกสารทุกครั้งที่มีการนำไปใช้

| Plane1 | 0      | 1      | 2      | 3      | 4      | 5      | 6      | 7      | 8      | 9      | 10     | 11     |
|--------|--------|--------|--------|--------|--------|--------|--------|--------|--------|--------|--------|--------|
| 1      | 994.6  | 1137.8 | 1331.9 | 1623.1 | 2129   | 3080.3 | 3965.3 | 3080.3 | 2129   | 1623.1 | 1331.9 | 1137.8 |
| 2      | 8403.4 | 9606.1 | 11114  | 12994  | 15249  | 17623  | 19347  | 17623  | 15249  | 12994  | 11114  | 9606.1 |
| 3      | 9128.3 | 10434  | 12061  | 14062  | 16394  | 18864  | 20914  | 18864  | 16394  | 14062  | 12061  | 10434  |
| 4      | 1809.6 | 2070.3 | 2418   | 2920.9 | 3734.4 | 5032.9 | 5912.7 | 5032.9 | 3734.4 | 2920.9 | 2418   | 2070.3 |
| Plane2 | 0      | 1      | 2      | 3      | 4      | 5      | 6      | 7      | 8      | 9      | 10     | 11     |
| 1      | 964.8  | 1092   | 1254.4 | 1470.9 | 1767.9 | 2129   | 2303.3 | 2129   | 1767.9 | 1470.9 | 1254.4 | 1092   |
| 2      | 8147.2 | 9227.2 | 10533  | 12072  | 13755  | 15249  | 15900  | 15249  | 13755  | 12072  | 10533  | 9227.2 |
| 3      | 8849.9 | 10023  | 11436  | 13086  | 14858  | 16394  | 17048  | 16394  | 14858  | 13086  | 11436  | 10023  |
| 4      | 1755.1 | 1987.1 | 2280.2 | 2661.1 | 3161.8 | 3734.4 | 4035.7 | 3734.4 | 3161.8 | 2661.1 | 2280.2 | 1987.1 |
| Plane3 | 0      | 1      | 2      | 3      | 4      | 5      | 6      | 7      | 8      | 9      | 10     | 11     |
| 1      | 921    | 1027.7 | 1154.6 | 1304.1 | 1470.9 | 1623.1 | 1689.5 | 1623.1 | 1470.9 | 1304.1 | 1154.6 | 1027.7 |
| 2      | 7786.2 | 8685.5 | 9743.4 | 10910  | 12072  | 12994  | 13357  | 12994  | 12072  | 10910  | 9743.4 | 8685.5 |
| 3      | 8437.9 | 9434.8 | 10582  | 11841  | 13086  | 14062  | 14442  | 14062  | 13086  | 11841  | 10582  | 9434.8 |
| 4      | 1674.7 | 1870   | 2100.8 | 2368.8 | 2661.1 | 2920.9 | 3032.2 | 2920.9 | 2661.1 | 2368.8 | 2100.8 | 1870   |
| Plane4 | 0      | 1      | 2      | 3      | 4      | 5      | 6      | 7      | 8      | 9      | 10     | 11     |
| 1      | 869    | 955.5  | 1051.8 | 1154.6 | 1254.4 | 1331.9 | 1362   | 1331.9 | 1254.4 | 1154.6 | 1051.8 | 955.5  |
| 2      | 7317.1 | 8067   | 8890.4 | 9743.4 | 10533  | 11114  | 11331  | 11114  | 10533  | 9743.4 | 8890.4 | 8067   |
| 3      | 7947.2 | 8762.7 | 9657.2 | 10582  | 11436  | 12061  | 12295  | 12061  | 11436  | 10582  | 9657.2 | 8762.7 |
| 4      | 1579.4 | 1738   | 1914.1 | 2100.8 | 2280.2 | 2418   | 2471.2 | 2418   | 2280.2 | 2100.8 | 1914.1 | 1738   |
| Plane5 | 0      | 1      | 2      | 3      | 4      | 5      | 6      | 7      | 8      | 9      | 10     | 11     |
| 1      | 814    | 882.9  | 955.5  | 1027.7 | 1092   | 1137.8 | 1154.6 | 1137.8 | 1092   | 1027.7 | 955.5  | 882.9  |
| 2      | 6838.5 | 7437.9 | 8067   | 8685.5 | 9227.2 | 9606.1 | 9743.4 | 9606.1 | 9227.2 | 8685.5 | 8067   | 7437.9 |
| 3      | 7426.6 | 8078.6 | 8762.7 | 9434.8 | 10023  | 10434  | 10582  | 10434  | 10023  | 9434.8 | 8762.7 | 8078.6 |
| 4      | 1478.5 | 1604.9 | 1738   | 1870   | 1987.1 | 2070.3 | 2100.8 | 2070.3 | 1987.1 | 1870   | 1738   | 1604.9 |

ตารางที่ 4 4 ขนาดของสนามไฟฟ้าที่ได้จากการคำนวณของสายอากาศโคแอกเชียลคอลลิเนียร์ที่มีลิตีฟยาว 3.164 ซม.

จากตารางที่ 4 4 Plane1 ถึง Plane5 คือระนาบที่ต้องการวัด (แกน z) โดยอยู่ห่างจากสายอากาศ 1,2,3,4 และ 5 ซม.ตามลำดับโดยแต่ละระนาบจะมีการลแกนในแนวความกว้างของภาชนะ (แกน y) ทั้งหมด 12 จุดคือ ที่ระยะ 0 ถึง 11 ซม. จากขอบด้านข้างด้านหนึ่งถึงอีกด้านของภาชนะ และระยะดแกนในแนวลึกตามความยาวของสายอากาศ (แกน X) ทั้งหมด 4 จุดคือที่ระยะ 1,2,3 และ 4 ซม.ตามลำดับโดยกำหนดให้

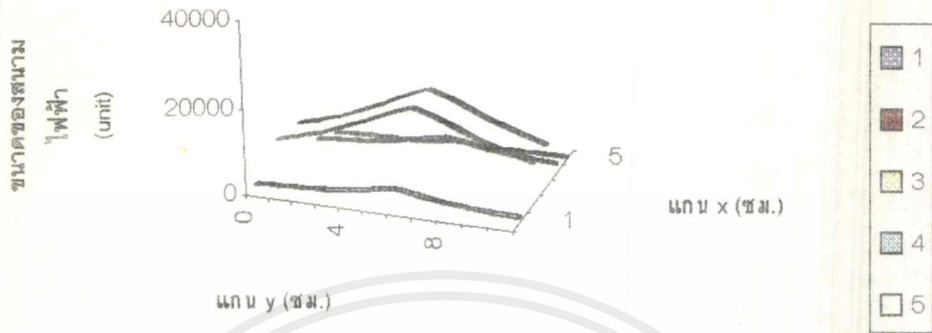
แกน x คือความยาวของสายอากาศ (ซม.)

แกน y คือความกว้างของภาชนะที่บรรจุสารจำลองเนื้อคนชนิดเหลว (ซม.)

แกน z คือระยะห่างระหว่างสายอากาศกับโพรบ (ซม.)

เอกสารนี้เป็นเอกสารที่สงวนลิขสิทธิ์ภายใต้การอนุญาตให้นำไปใช้ประโยชน์ด้านการค้าไม่ว่ากรณีใดๆทั้งสิ้น อีกทั้งห้ามมิให้ตัดแปลงเนื้อหาและต้องอ้างอิงถึงเจ้าของเอกสารทุกครั้งที่มีการนำไปใช้

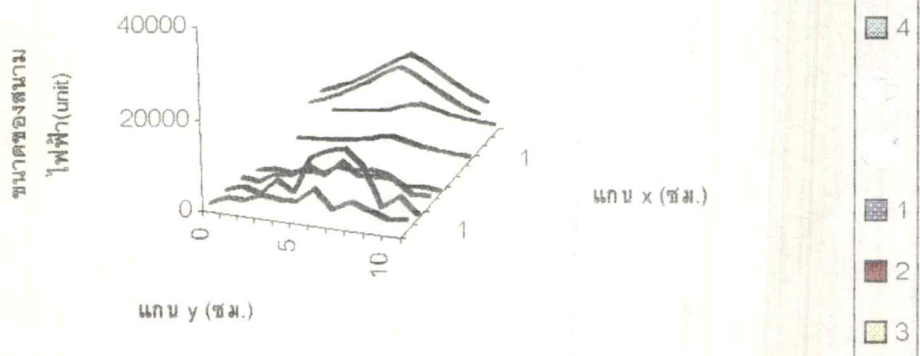
รูปที่ 4.42 แสดงขนาดของสนามไฟฟ้าที่ได้จากการคำนวณที่ระยะห่างจากสายอากาศ 1 ซม.



รูปที่ 4.43 แสดงขนาดของสนามไฟฟ้าที่ได้จากการทดลองที่ระยะห่างจากสายอากาศ 1 ซม.

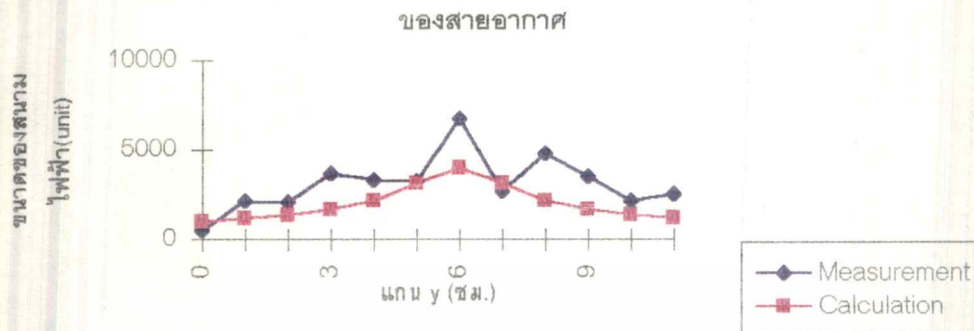


รูปที่ 4.44 แสดงการเปรียบเทียบขนาดของสนามไฟฟ้าที่ได้จากการทดลองและคำนวณที่ระยะห่างจากสายอากาศ 1 ซม.

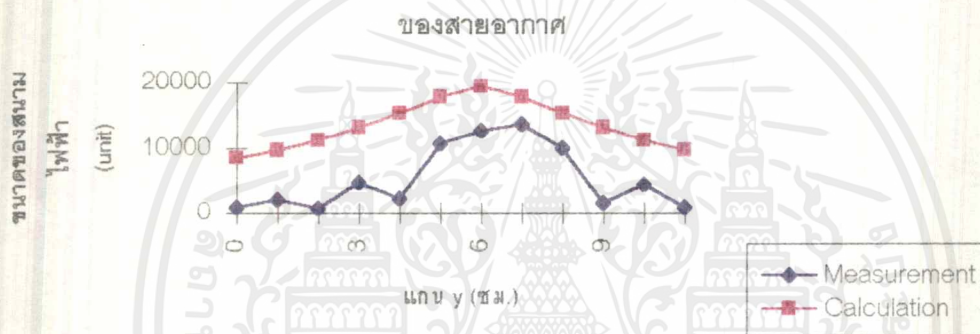


เอกสารนี้เป็นเอกสารที่สงวนไว้สำหรับการใช้งานเพื่อการศึกษาเท่านั้น ไม่อนุญาตให้นำไปใช้ประโยชน์ด้านการค้า ไม่ว่าจะกรณีใดๆ ทั้งสิ้น อีกทั้งห้ามมิให้ตัดแปลงเนื้อหาและต้องอ้างอิงถึงเจ้าของเอกสารทุกครั้งที่มีการนำไปใช้

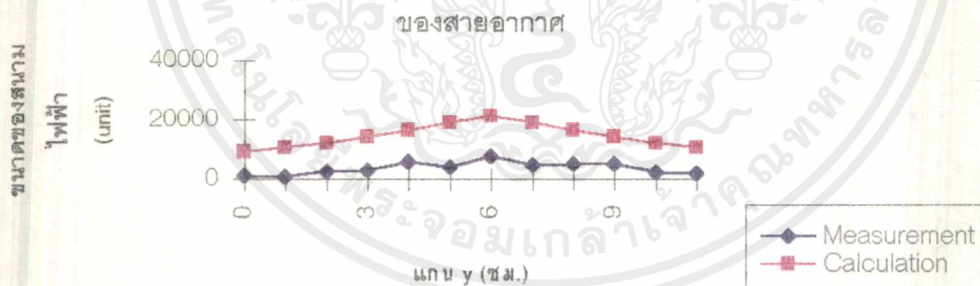
รูปที่ 4.45 แสดงการเปรียบเทียบขนาดของสนามไฟฟ้าที่ระยะ 1 ซม.



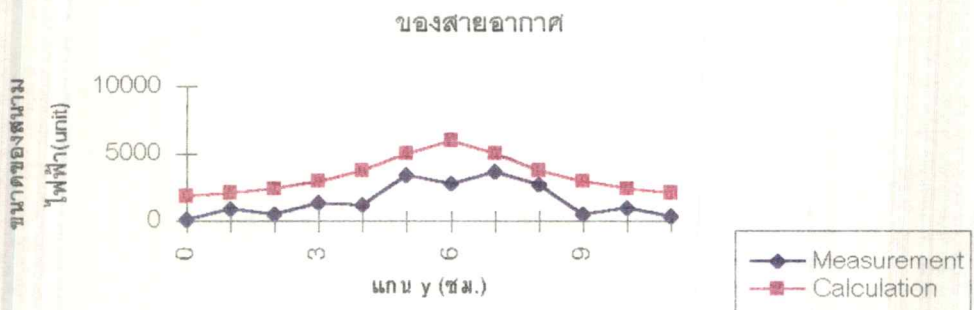
รูปที่ 4.46 แสดงการเปรียบเทียบขนาดของสนามไฟฟ้าที่ระยะ 2 ซม.



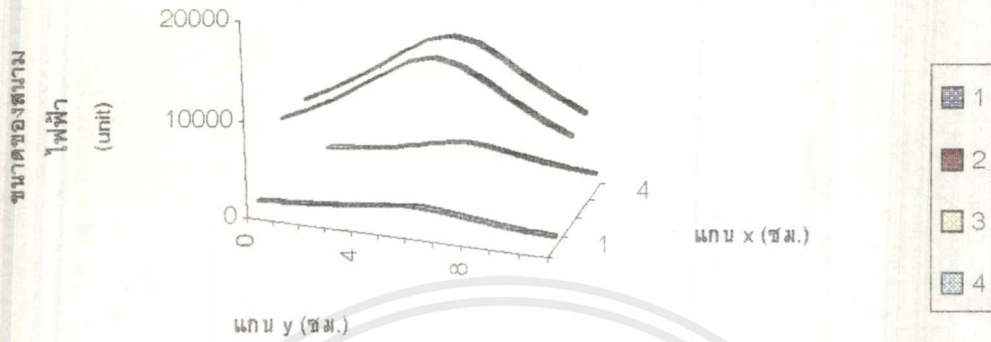
รูปที่ 4.47 แสดงการเปรียบเทียบขนาดของสนามไฟฟ้าที่ระยะ 3 ซม.



รูปที่ 4.48 แสดงการเปรียบเทียบขนาดของสนามไฟฟ้าที่ระยะ 4 ซม.



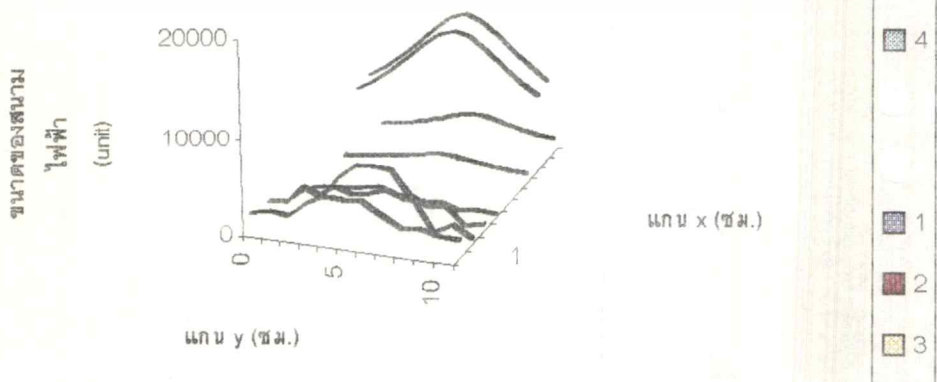
รูปที่ 4.49 แสดงขนาดของสนามไฟฟ้าที่ได้จากการคำนวณที่ระยะห่างจากสายอากาศ 2 ซม.



รูปที่ 4.50 แสดงขนาดของสนามไฟฟ้าที่ได้จากการทดลองที่ระยะห่างจากสายอากาศ 2 ซม.

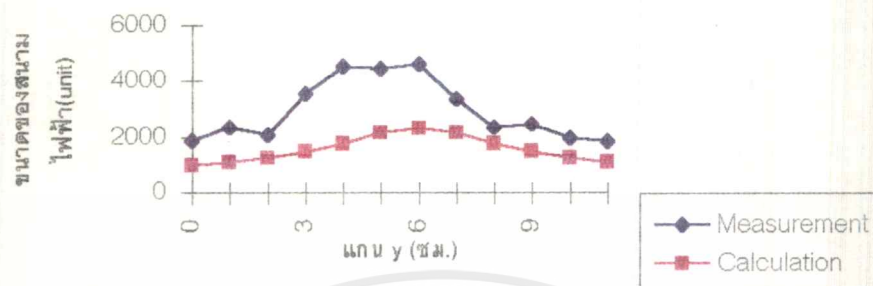


รูปที่ 4.51 แสดงการเปรียบเทียบขนาดของสนามไฟฟ้าที่ได้จากการทดลองและการคำนวณที่ระยะห่างจากสายอากาศ 2 ซม.

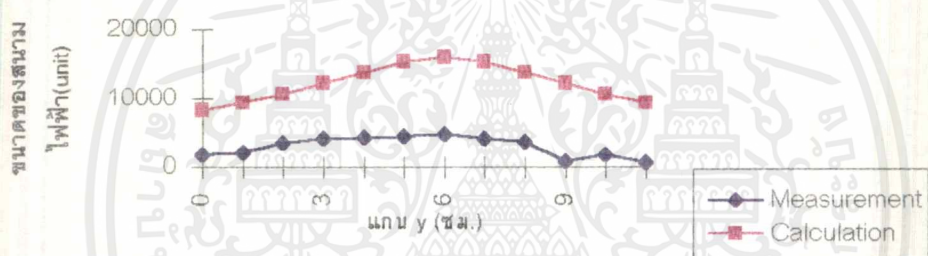


เอกสารนี้เป็นเอกสารที่สงวนไว้สำหรับการใช้งานเพื่อการศึกษาเท่านั้น ไม่อนุญาตให้นำไปใช้ประโยชน์ด้านการค้า  
ไม่ว่ากรณีใดๆ ทั้งสิ้น อีกทั้งห้ามมิให้ตัดแปลงเนื้อหาและต้องอ้างอิงถึงเจ้าของเอกสารทุกครั้งที่มีการนำไปใช้

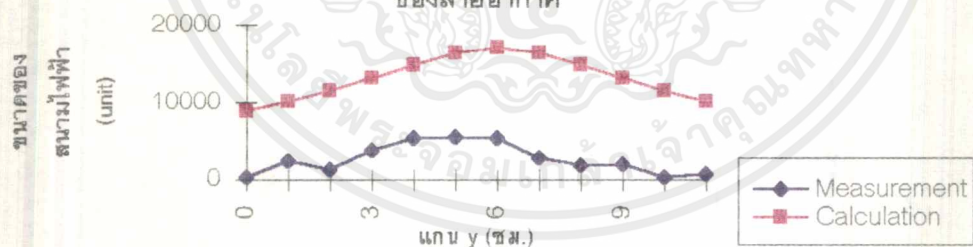
รูปที่ 4.52 แสดงการเปรียบเทียบขนาดของสนามไฟฟ้าที่ระยะ 1 ซม.  
ของสายอากาศ



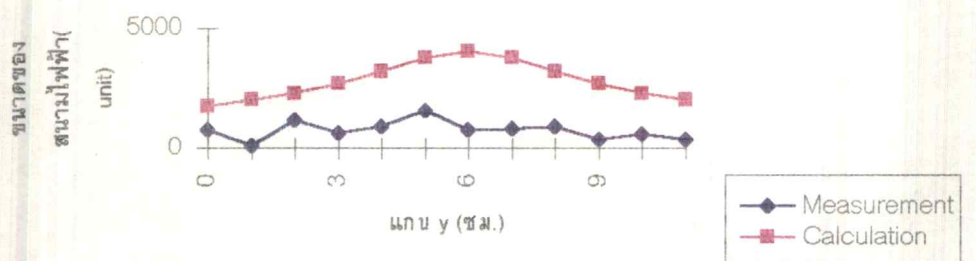
รูปที่ 4.53 แสดงการเปรียบเทียบขนาดของสนามไฟฟ้าที่ระยะ 2 ซม.  
ของสายอากาศ



รูปที่ 4.54 แสดงการเปรียบเทียบขนาดของสนามไฟฟ้าที่ระยะ 3 ซม.  
ของสายอากาศ

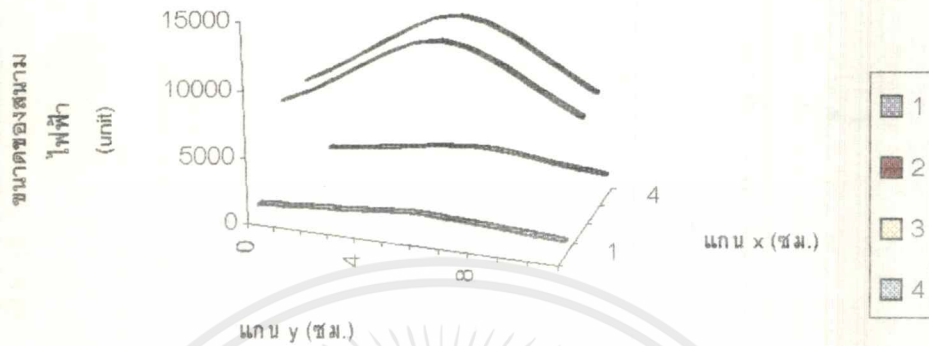


รูปที่ 4.55 แสดงการเปรียบเทียบขนาดของสนามไฟฟ้าที่ระยะ 4 ซม.  
ของสายอากาศ

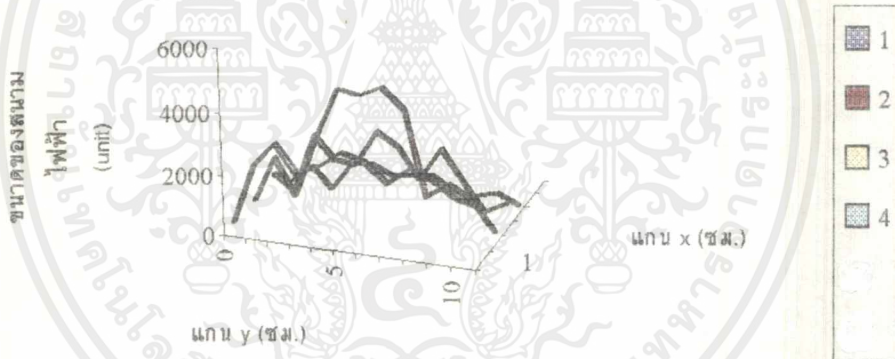


เอกสารนี้เป็นเอกสารที่สงวนไว้สำหรับการใช้งานเพื่อการศึกษาเท่านั้น ไม่อนุญาตให้นำไปใช้ประโยชน์ด้านการค้า  
ไม่ว่ากรณีใดๆ ทั้งสิ้น อีกทั้งห้ามมิให้ดัดแปลงเนื้อหาและต้องอ้างอิงถึงเจ้าของเอกสารทุกครั้งที่มีการนำไปใช้

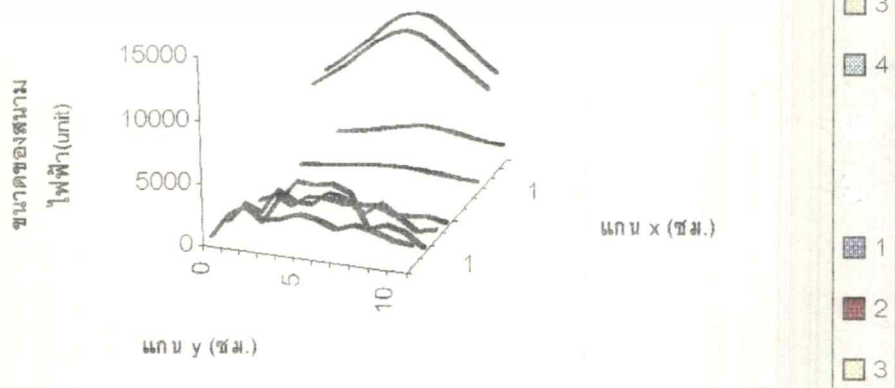
รูปที่ 4.56 แสดงขนาดของสนามไฟฟ้าที่ได้จากการคำนวณที่ระยะห่างจากสายอากาศ 3 ซม.



รูปที่ 4.57 แสดงขนาดของสนามไฟฟ้าที่ได้จากการทดลองที่ระยะห่างจากสายอากาศ 3 ซม.

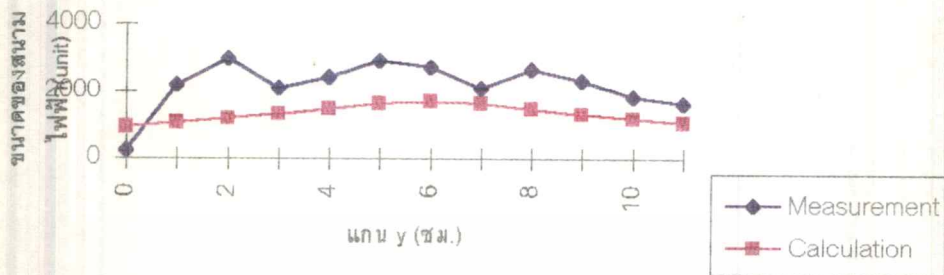


รูปที่ 4.58 แสดงการเปรียบเทียบขนาดของสนามไฟฟ้าที่ได้จากการทดลองและคำนวณที่ระยะห่างจากสายอากาศ 3 ซม.



เอกสารนี้เป็นเอกสารที่สงวนไว้สำหรับการใช้งานเพื่อการศึกษาเท่านั้น ไม่อนุญาตให้นำไปใช้ประโยชน์ด้านการค้า  
ไม่ว่ากรณีใดๆ ทั้งสิ้น อีกทั้งห้ามมิให้ดัดแปลงเนื้อหาและต้องอ้างอิงถึงเจ้าของเอกสารทุกครั้งที่มีการนำไปใช้

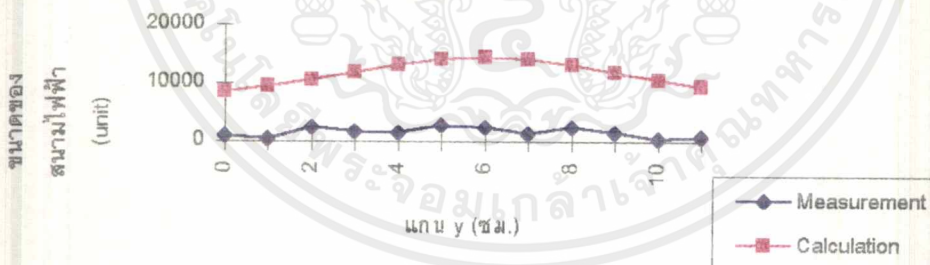
รูปที่ 4.59 แสดงการเปรียบเทียบขนาดของสนามไฟฟ้าที่ระยะ 1 ซม.  
ของสายอากาศ



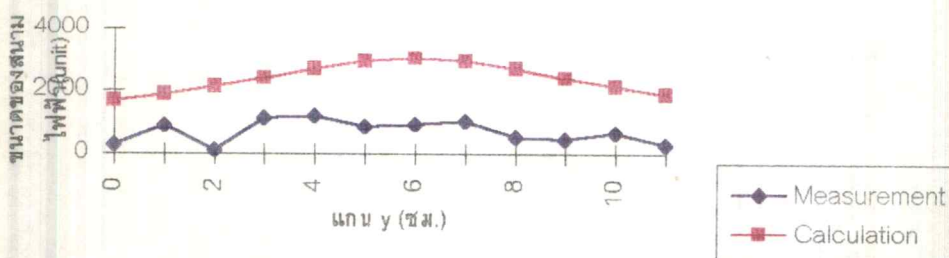
รูปที่ 4.60 แสดงการเปรียบเทียบขนาดของสนามไฟฟ้าที่ระยะ 2 ซม.  
ของสายอากาศ



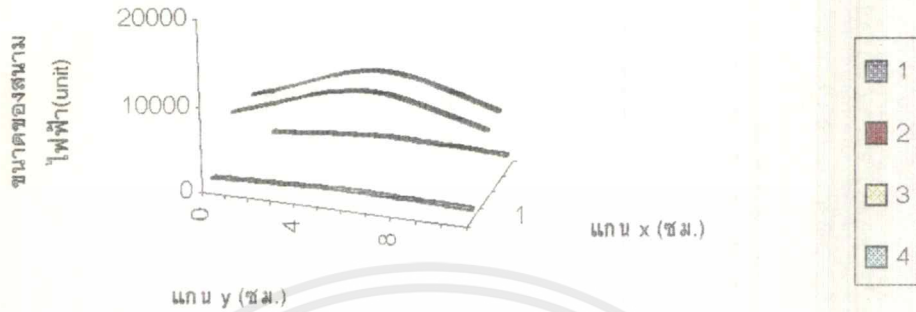
รูปที่ 4.61 แสดงการเปรียบเทียบขนาดของสนามไฟฟ้าที่ระยะ 3 ซม.  
ของสายอากาศ



รูปที่ 4.62 แสดงการเปรียบเทียบขนาดของสนามไฟฟ้าที่ระยะ 4 ซม.  
ของสายอากาศ



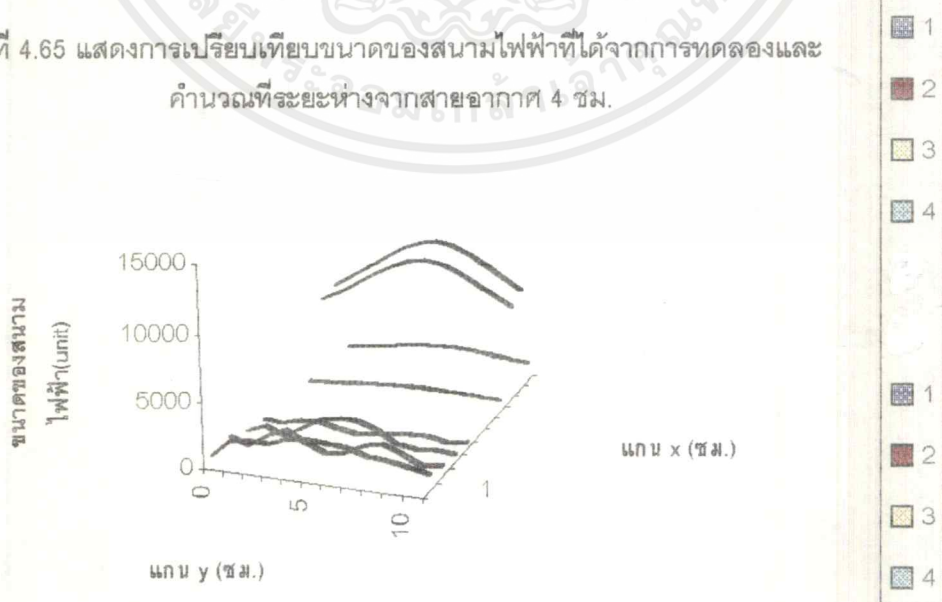
รูปที่ 4.63 แสดงขนาดของสนามไฟฟ้าที่ได้จากการคำนวณที่ระยะห่างจากสายอากาศ 4 ซม.



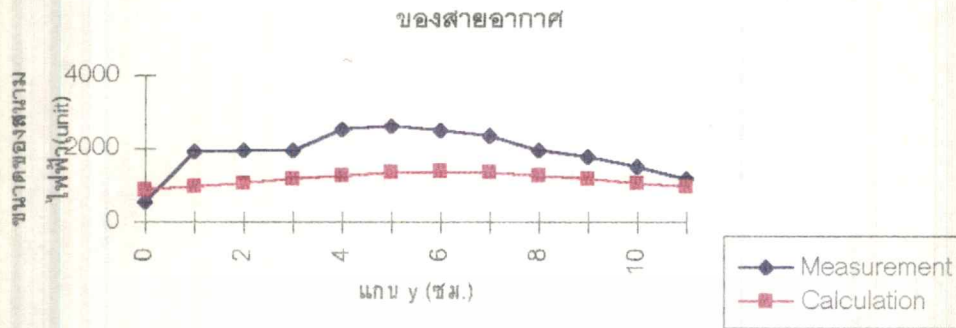
รูปที่ 4.64 แสดงขนาดของสนามไฟฟ้าที่ได้จากการคำนวณที่ระยะห่างจากสายอากาศ 4 ซม.



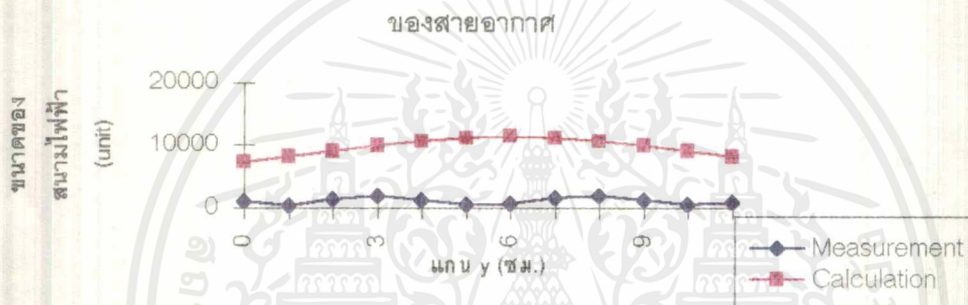
รูปที่ 4.65 แสดงการเปรียบเทียบขนาดของสนามไฟฟ้าที่ได้จากการทดลองและคำนวณที่ระยะห่างจากสายอากาศ 4 ซม.



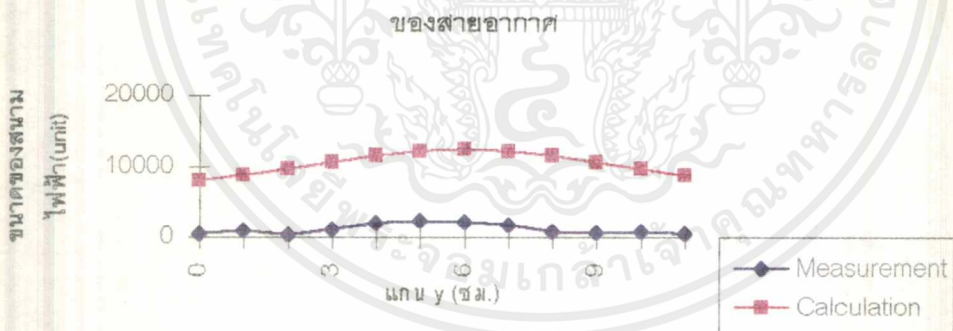
รูปที่ 4.66 แสดงการเปรียบเทียบขนาดของสนามไฟฟ้าที่ระยะ 1 ซม.



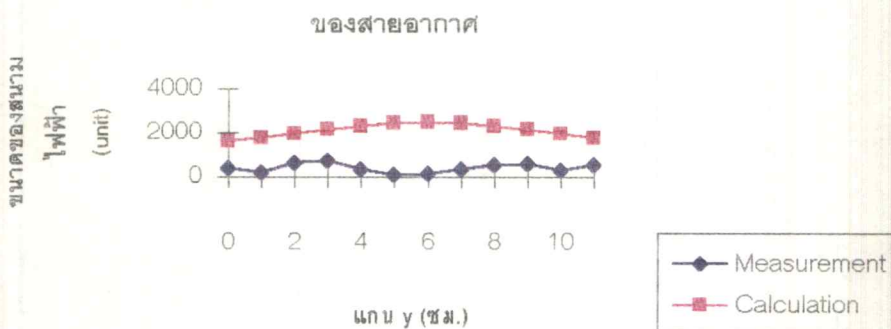
รูปที่ 4.67 แสดงการเปรียบเทียบขนาดของสนามไฟฟ้าที่ระยะ 2 ซม.



รูปที่ 4.68 แสดงการเปรียบเทียบขนาดของสนามไฟฟ้าที่ระยะ 3 ซม.

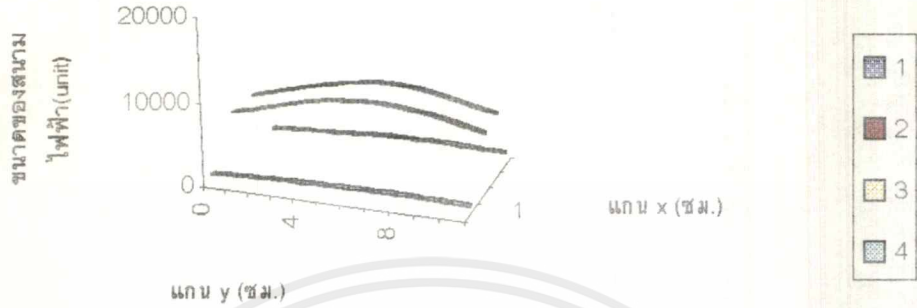


รูปที่ 4.69 แสดงการเปรียบเทียบขนาดของสนามไฟฟ้าที่ระยะ 4 ซม.

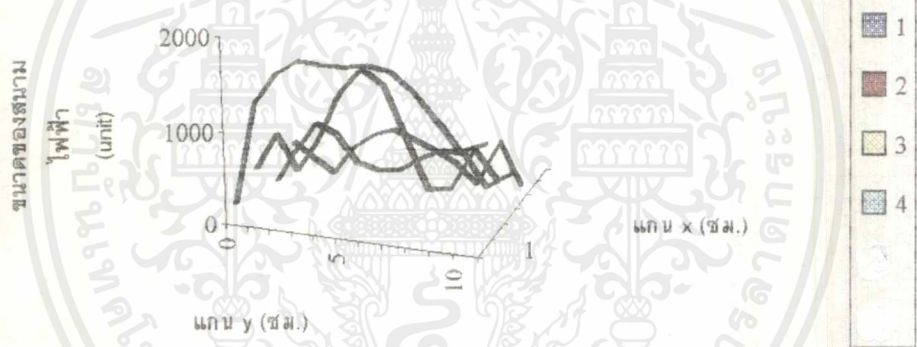


เอกสารนี้เป็นเอกสารที่สงวนไว้สำหรับการใช้งานเพื่อการศึกษาเท่านั้น ไม่อนุญาตให้นำไปใช้ประโยชน์ด้านการค้า  
ไม่ว่ากรณีใดๆ ทั้งสิ้น อีกทั้งห้ามมิให้ตัดแปลงเนื้อหาและต้องอ้างอิงถึงเจ้าของเอกสารทุกครั้งที่มีการนำไปใช้

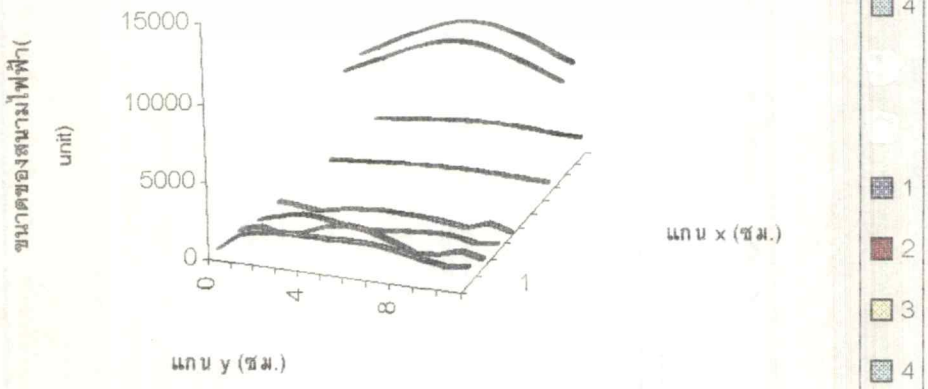
รูปที่ 4.70 แสดงขนาดของสนามไฟฟ้าที่ได้จากการคำนวณที่ระยะห่างจากสายอากาศ 5 ซม.



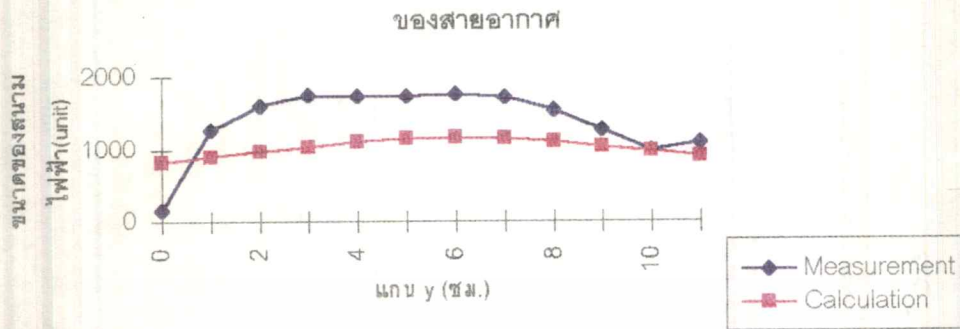
รูปที่ 4.71 แสดงขนาดของสนามไฟฟ้าที่ได้จากการทดลองที่ระยะห่างจากสายอากาศ 5 ซม.



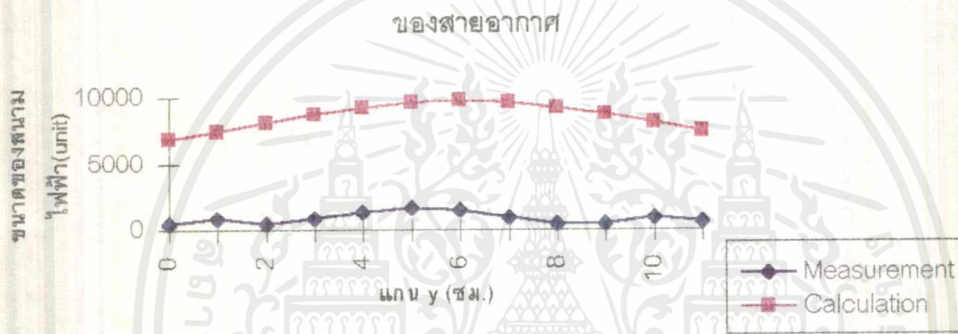
รูปที่ 4.72 แสดงการเปรียบเทียบขนาดของสนามไฟฟ้าที่ได้จากการทดลองและการคำนวณที่ระยะห่างจากสายอากาศ 5 ซม.



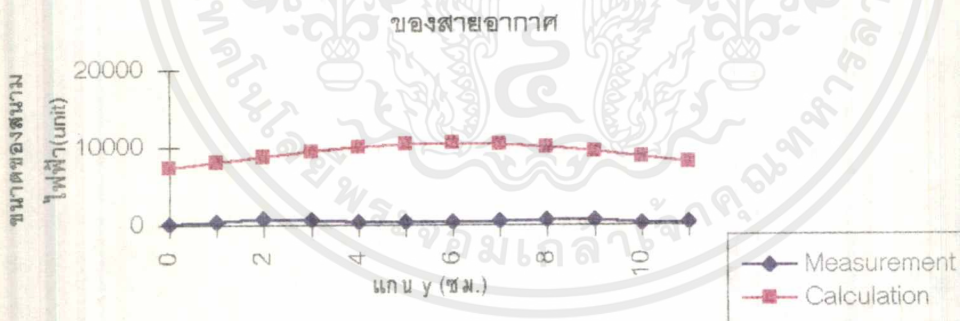
รูปที่ 4.73 แสดงการเปรียบเทียบขนาดของสนามไฟฟ้าที่ระยะ 1 ซม.



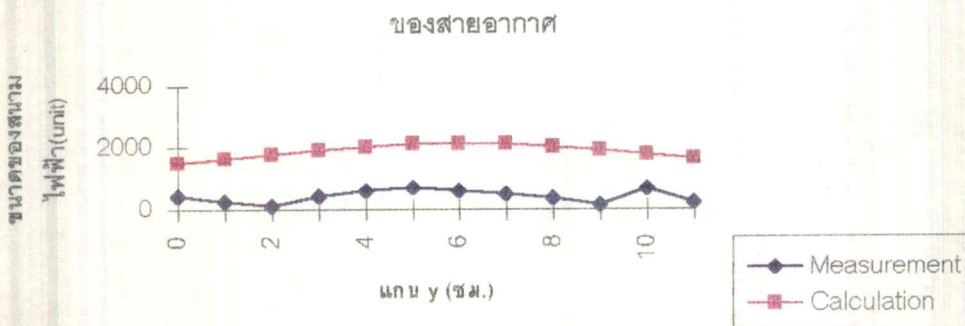
รูปที่ 4.74 แสดงการเปรียบเทียบขนาดของสนามไฟฟ้าที่ระยะ 2 ซม.



รูปที่ 4.75 แสดงการเปรียบเทียบขนาดของสนามไฟฟ้าที่ระยะ 3 ซม.



รูปที่ 4.76 แสดงการเปรียบเทียบขนาดของสนามไฟฟ้าที่ระยะ 4 ซม.

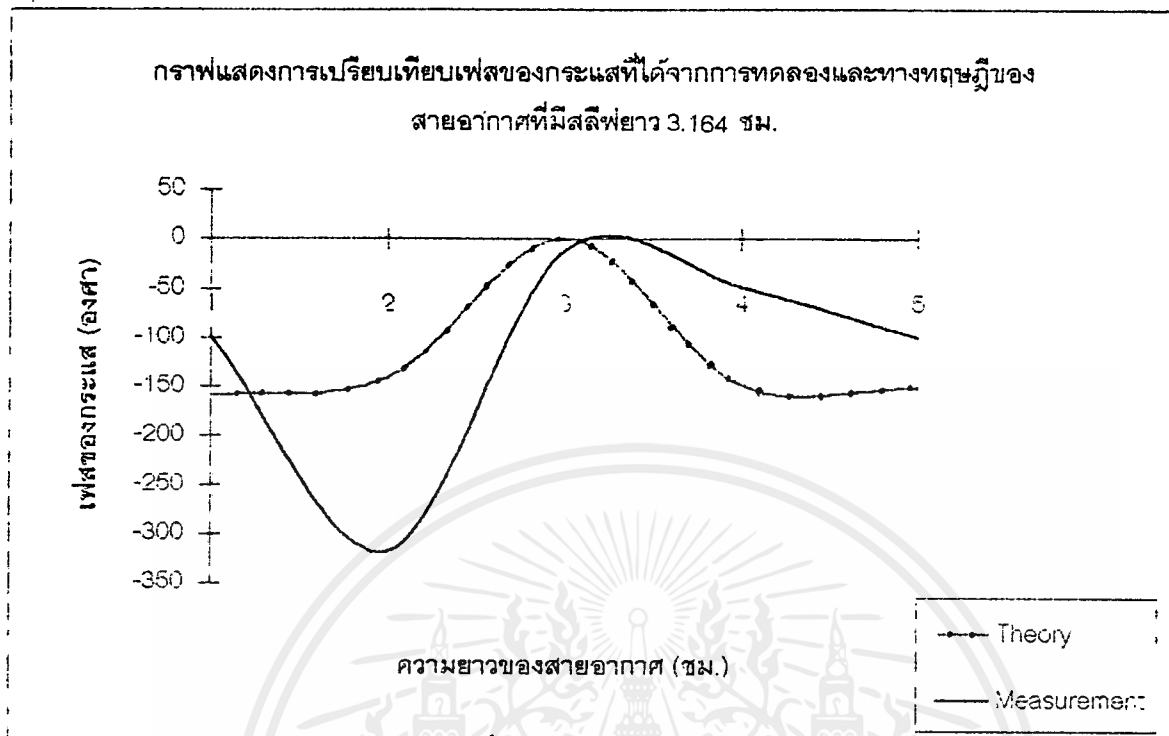


เอกสารนี้เป็นเอกสารที่สงวนไว้สำหรับการใช้งานเพื่อการศึกษาเท่านั้น ไม่อนุญาตให้นำไปใช้ประโยชน์ด้านการค้า  
ไม่ว่ากรณีใดๆทั้งสิ้น อีกทั้งห้ามมิให้ตัดแปลงเนื้อหาและต้องอ้างอิงถึงเจ้าของเอกสารทุกครั้งที่มีการนำไปใช้

## วิเคราะห์ผลการทดลองที่ระนาบที่ 1 ถึงระนาบที่ 5 (ระยะห่างจากสายอากาศ 1 ถึง 5 ซม.)

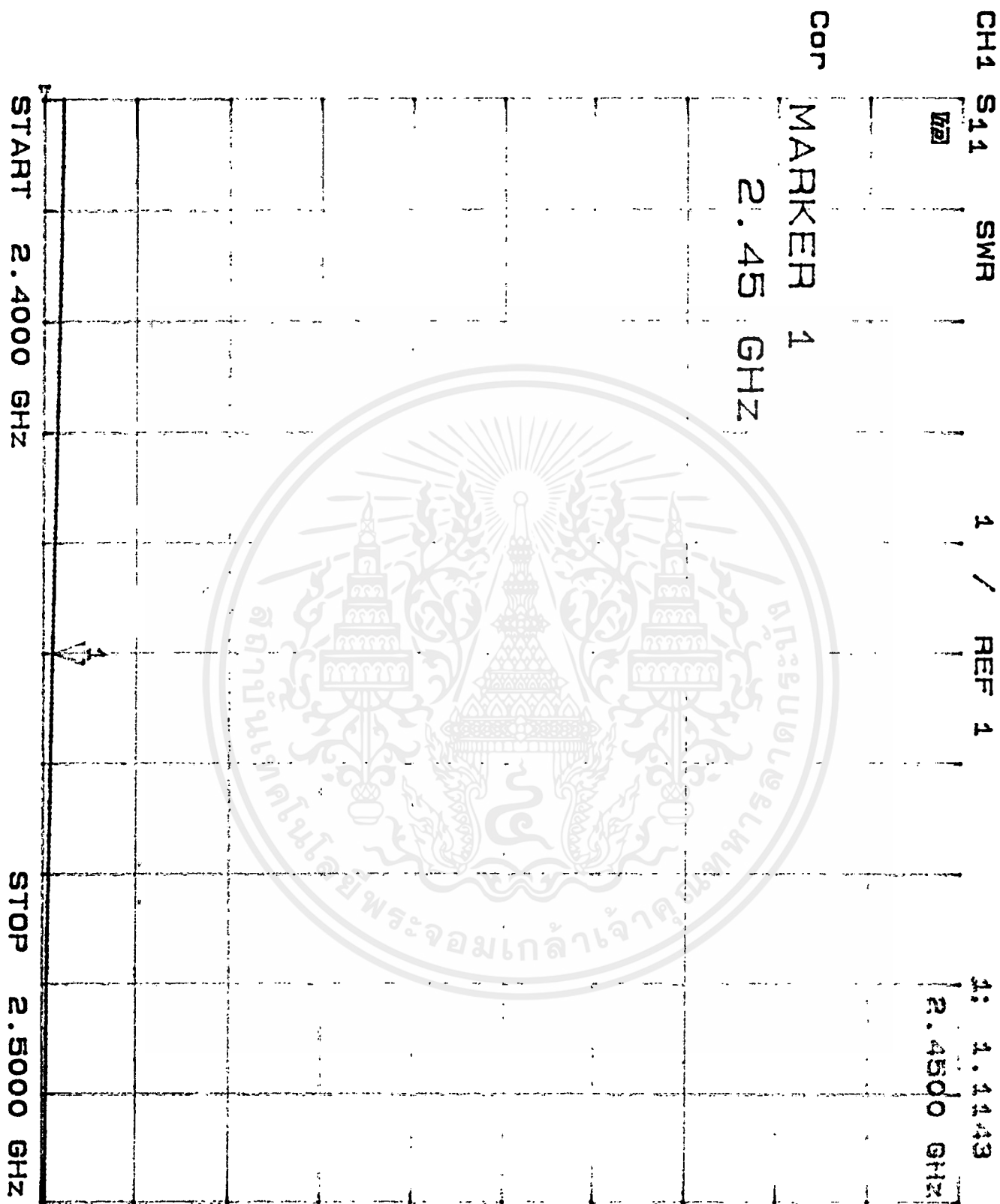
จากกราฟหน้า 49,51,53,55 และ 57 เป็นการแสดงขนาดของสนามไฟฟ้าที่ได้จากการคำนวณและการทดลองของสายอากาศที่มีลึฟยาว 3.164 ซม. โดยที่เส้นกราฟแต่ละเส้นจะแสดงขนาดของสนามไฟฟ้าที่ระยะ 1,2,3 และ 4 ของสายอากาศซึ่งแทนด้วยลึฟวง น้ำตาล เหลือง ฟ้า ตามลำดับ จะพบว่าขนาดของสนามไฟฟ้าตั้งแต่จุดบ่อนสัญญาณถึงจุดปลายของลึฟ (a-b) จะมีขนาดต่ำ และตั้งแต่จุดปลายลึฟด้านหนึ่งถึงปลายลึฟด้านหนึ่ง (b-c) จะมีขนาดของสนามเพิ่มขึ้นเรื่อยๆ จนมีขนาดสูงสุดที่จุดกึ่งกลางลึฟ (จุดที่เป็นรอยต่อของการลึฟสายตัวนำในและตัวนำนอกของแต่ละเอลเมนต์) และมีค่าลดลงจากจุดกึ่งกลางไปจนถึงปลายของลึฟอีกด้านหนึ่ง ส่วนระยะสุดท้ายตั้งแต่ปลายลึฟถึงปลายสายอากาศ (c-d) จะมีขนาดของสนามไฟฟ้าต่ำกว่าช่วงที่มีลึฟและจะมีค่าลดลงเรื่อยๆ จนถึงปลายลึฟ ซึ่งจะเห็นได้ว่ารูปแบบการแพร่กระจายสนามไฟฟ้าที่ได้จากการทดลองจะมีลักษณะใกล้เคียงกับค่าที่ได้จากการคำนวณ กล่าวคือสัญญาณจะมีขนาดต่ำบริเวณปลายทั้งสองด้านของสายอากาศแล้วมีขนาดสูงขึ้นเรื่อยๆ จนถึงปลายลึฟทั้งสองด้านและเมื่ออยู่ในส่วนของลึฟจะมีขนาดสนามไฟฟ้าสูงขึ้นเรื่อยๆ และมีค่าสูงสุดที่จุดกึ่งกลางของลึฟ ซึ่งค่าสนามไฟฟ้าจะมีค่ามากกว่าค่าสนามไฟฟ้าในช่วงที่ไม่มีลึฟ

จากกราฟหน้า 50,52,54,56 และ 58 เป็นกราฟแสดงการเปรียบเทียบขนาดของสนามไฟฟ้าที่ระยะ 1,2,3 และ 4 ซม. ของสายอากาศซึ่งจะพบว่าขนาดของสนามไฟฟ้าจะมีค่าใกล้เคียงกันและมีแนวโน้มเหมือนกัน กล่าวคือระยะห่าง 1 ซม. จากจุดบ่อนสัญญาณจะมีความแรงของสัญญาณใกล้เคียงกับระยะห่าง 3 ซม. จากจุดบ่อนสัญญาณ ส่วนที่ระยะห่าง 2 ซม. จะมีความแรงของสัญญาณสูงสุด และที่ระยะห่าง 4 ซม. จากจุดบ่อนสัญญาณจะมีความแรงของสัญญาณต่ำที่สุด ซึ่งเป็นไปตามที่ค่าที่ได้จากการคำนวณ



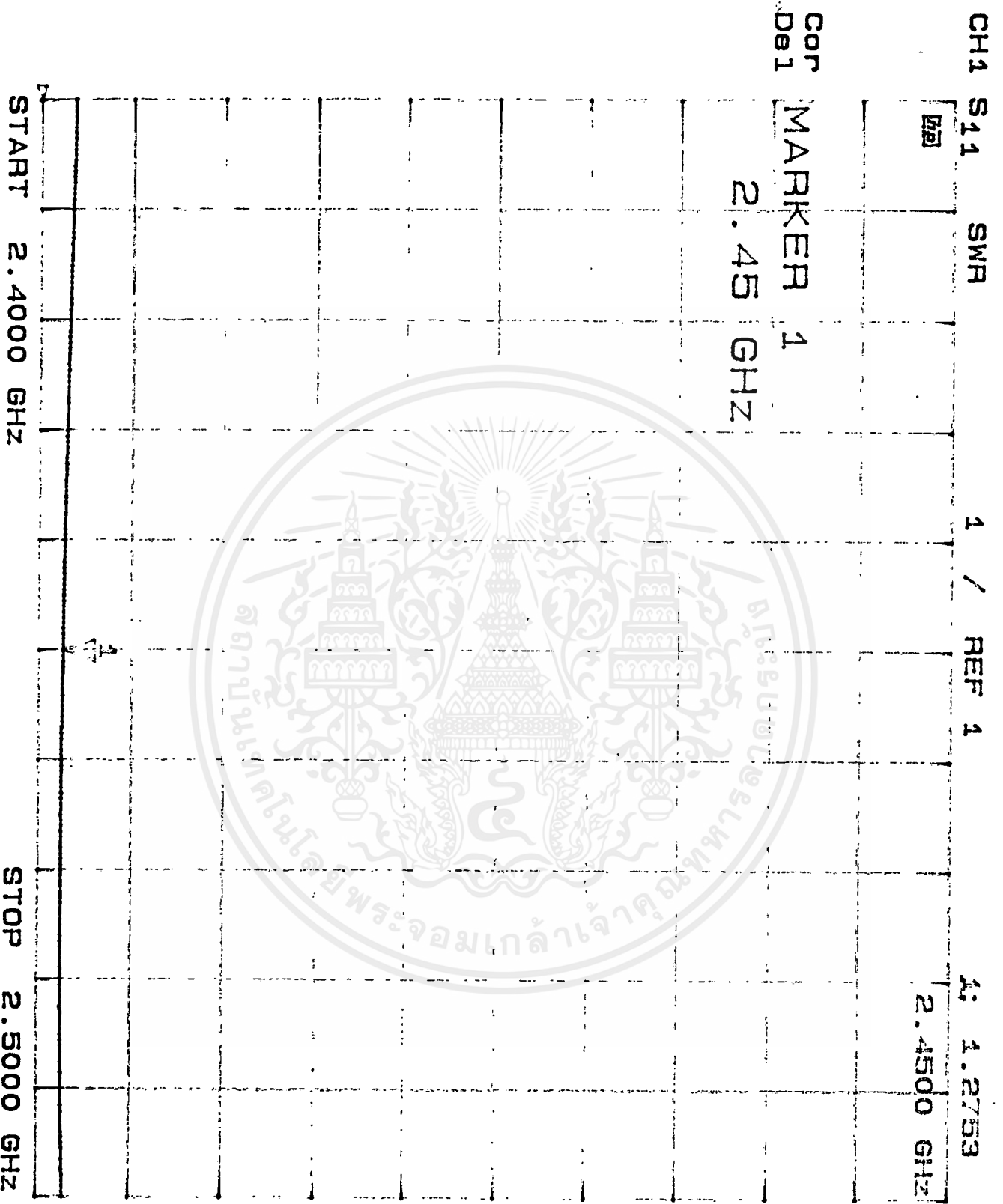
สำหรับกราฟข้างบนจะแสดงการเปรียบเทียบเฟสของกระแสที่ไหลในสายอากาศที่ได้จากการทดลองและทฤษฎี ซึ่งจากการทดลองจะเห็นว่าตั้งแต่ระยะจุดป้อนสัญญาณจนถึงจุดกึ่งกลางของสายอากาศเฟสจะมีค่าเพิ่มขึ้นจนกระทั่งมีค่าเท่ากับศูนย์ และจะมีค่าลดลงเรื่อยๆ จากระยะกึ่งกลางของสายอากาศจนถึงปลายสลิปอีกด้านหนึ่งซึ่งมีค่าใกล้เคียงกับทฤษฎี

จากกราฟแสดงขนาดสนามไฟฟ้าของสายอากาศที่มีความยาว 3.164 ซม. ตั้งแต่ระยะนาบที่ 1 ถึง 5 จะเห็นว่าที่ระยะนาบที่ 1 จะมีความแรงของสัญญาณมากกว่าระยะนาบอื่นๆ เนื่องจากอยู่ใกล้สายอากาศมากที่สุด ส่วนระยะนาบอื่นๆ จะมีค่าลดลงเรื่อยๆ ตามระยะห่างของแต่ละระยะนาบนั่นๆ



รูปที่ 4.77 แสดงค่า SWR ของสายอากาศที่มีสลิปยาว 1.634 ซม.

เอกสารนี้เป็นเอกสารที่สงวนไว้สำหรับการใช้งานเพื่อการศึกษาเท่านั้น ไม่อนุญาตให้นำไปใช้ประโยชน์ด้านการค้า  
ไม่ว่ากรณีใดๆ ทั้งสิ้น อีกทั้งห้ามมิให้ตัดแปลงเนื้อหาและต้องอ้างอิงถึงเจ้าของเอกสารทุกครั้งที่มีการนำไปใช้



รูปที่ 4.78 แสดงค่า SWR ของสายอากาศที่มีสลิปยาว 3.164 ซม.

เอกสารนี้เป็นเอกสารที่สงวนไว้สำหรับการใช้งานเพื่อการศึกษาเท่านั้น ไม่อนุญาตให้นำไปใช้ประโยชน์ด้านการค้า  
ไม่ว่ากรณีใดๆทั้งสิ้น อีกทั้งห้ามมิให้ดัดแปลงเนื้อหาและต้องอ้างอิงถึงเจ้าของเอกสารทุกครั้งที่มีการนำไปใช้

## บทที่ 5

### บทสรุป

จากความต้องการของเครื่องรักษาโรคมะเร็งโดยคลื่นไมโครเวฟในการรักษาโรคมะเร็งที่อยู่ลึกนั้นต้องใช้สายอากาศที่ออกแบบมาเฉพาะให้สามารถประยุกต์ใช้กับความต้องการดังกล่าวได้ โครงการนี้จึงได้ทำการออกแบบและสร้างสายอากาศแบบอินเวตซีฟชนิดโคแอกเซียลคอลลิเนียร์ที่มีความถี่ใช้งาน 2450 MHz ขึ้นมาซึ่งเป็นสายอากาศที่ทำมาจากสายโซลิดโคแอกเซียลที่มีเส้นผ่านศูนย์กลาง 0.2 ซม. โดยสลับท่อนำออกและตัวนำในของแต่ละเอเลเมนต์แล้วหุ้มด้วยปลอกทองเหลืองเรียกว่า "สลีฟ" ที่บริเวณรอยต่อเพื่อเพิ่มความแรงของสนามไฟฟ้า ทำให้มีบริเวณความร้อนของการใช้งานที่เกิดจากสนามเพิ่มมากขึ้น

จากการทดลอง จะเห็นได้ว่ารูปแบบการแพร่กระจายคลื่นของสายอากาศที่ได้จากการทดลองมีลักษณะที่ใกล้เคียงกับผลจากการคำนวณ กล่าวคือความแรงของสนามไฟฟ้าบริเวณที่เป็นสลีฟจะมีความแรงของสนามมากกว่าบริเวณอื่นของสายอากาศและจะมีค่าสูงสุดที่จุดกึ่งกลางของสลีฟ โดยที่สายอากาศที่หุ้มด้วยสลีฟที่มีความยาวเท่ากับ 1.634 ซม. จะมีความแรงของสนามไฟฟ้าบริเวณที่เป็นสลีฟมากกว่าบริเวณอื่นของสายอากาศและจะมีค่าสูงสุดที่จุดกึ่งกลางของสลีฟแต่จะมีค่าความแรงตลอดแนวสลีฟน้อยกว่าสายอากาศที่หุ้มด้วยสลีฟขนาด 3.164 ซม. ซึ่งแสดงให้เห็นว่าความยาวของสลีฟมีผลต่อบริเวณการแพร่กระจายของสนามไฟฟ้า ดังนั้นถ้าต้องการให้สายอากาศมีความแรงของสนามไฟฟ้าที่สูงขึ้นสามารถทำได้โดยเพิ่มความยาวของสลีฟที่นำมาหุ้มสายอากาศ และในทางตรงข้ามถ้าต้องการให้ความแรงของสนามไฟฟ้าลดลง (เมื่อเทียบกับสายอากาศที่มีสลีฟหุ้มเหมือนกัน) สามารถทำได้โดยลดความยาวของสลีฟให้สั้นลง

ดังนั้นเมื่อนำสายอากาศดังกล่าวไปประยุกต์ใช้กับเครื่องรักษาโรคมะเร็งโดยใช้คลื่นไมโครเวฟเพื่อรักษามะเร็งที่อยู่ลึกนั้นสามารถทำได้โดยตรวจสอบขนาดของเนื้องอกแล้วเลือกใช้สลีฟที่ทำให้มีการแพร่กระจายคลื่นที่พอเหมาะกะกับขนาดก้อนเนื้องอกเพื่อให้สายอากาศแพร่กระจายคลื่นไปได้อย่างทั่วถึง ซึ่งจะทำให้การรักษามีประสิทธิภาพตรงตามความต้องการ สำหรับรายละเอียดของการใช้เทคนิคไฮเปอร์เทอร์เมียรักษาโรคมะเร็งสามารถศึกษาเพิ่มเติมได้จาก [1]

การพัฒนาสายอากาศโคแอกเซียลคอลลิเนียร์ทำได้โดยการลดขนาดของสายโซลิดโคแอกเซียลที่นำมาสร้างสายอากาศให้มีขนาดเล็กลง และนำหลายๆ เอเลเมนต์มาต่อเรียงกันทำเป็นอาร์เรย์เพื่อเพิ่มความแรงของสนามไฟฟ้าให้มีค่าสูงมากยิ่งขึ้น

## กิตติกรรมประกาศ

รายงานฉบับนี้จะสำเร็จลงไม่ได้หากไม่ได้รับความช่วยเหลือเป็นอย่างดี จากบุคคลหลายๆ ท่านตั้งแต่ช่วงเริ่มต้นการทำโครงการ ตลอดจนการทำรายงานฉบับนี้จนเสร็จสมบูรณ์

ขอขอบพระคุณ

รศ.ดร. โมนิยา ไกรฤกษ์

อาจารย์ที่ปรึกษา

ขอขอบคุณ

นาย มนตรี

ธนกวัต

นักศึกษาปริญญาโท

นาย วงศกร

วัชรานานนท์

"

นาย คมศักดิ์

เมฆสมุท

"

นาย ชูวงศ์

พงศ์เจริญพาณิชย์

"

น.ส. อรดี

จอกแก้ว

นักศึกษาปีที่ 4

น.ส. อุนรี

หล่อสวัสดีศิริ

"

น.ส. วิมลศิริ

รอดศิริ

นักศึกษาปีที่ 3

น.ส. วลัยธิดา

บัวสมบูรณ์

"

นาย ณยศ

ศุภกิจโกศล

"

นาย อนุชา

พงษ์ศรุต

"

นาย จุฬชาติ

จงอยู่สุข

"

นาย ชาตรี

บุตรชา

"

นาย ชัยวัฒน์

ตั้งกิจลดาวัลย์

"

นาย ณรงค์ชนม์

ชมสา

"

น.ส. อติพร

อุ้นชู

"

น.ส. สุภาพณี

ศรีช่วง

"

และผู้ให้ความช่วยเหลือทุกท่าน

ผู้จัดทำ

20 มีนาคม 2540

เอกสารนี้เป็นเอกสารที่สงวนไว้สำหรับการใช้งานเพื่อการศึกษาเท่านั้น ไม่อนุญาตให้นำไปใช้ประโยชน์ด้านการค้า  
ไม่ว่ากรณีใดๆ ทั้งสิ้น อีกทั้งห้ามมิให้ดัดแปลงเนื้อหาและต้องอ้างอิงถึงเจ้าของเอกสารทุกครั้งที่มีการนำไปใช้

## หนังสืออ้างอิง

- [1] สมาคมรังสีแห่งประเทศไทย, "มะเร็งวิทยุวัฒน์",วารสาร,ปีที่ 1,ฉบับที่ 1,2537.
- [2] B.B. Balsley and W.L.Ecklund, "A Portable Coaxial Colinear Antenna " ,IEEE Transactions on Antennas and Propagation,pp.513-516,July 1972.
- [3] T.J.Judasz,W.L.Ecklund and Balsley,"The Coaxial Collinear Antenna:Current Distribution From The Cylindrical Antenna Equation",IEEE Trans.Antenna Propagat.Vol.AP-35,pp.327-331,Mar.1987.
- [4] Constantine A. Balanis,"Advanced Engineering Electromagnetics", John Wiley & Sons,Newyork,Company,1989.
- [5] Ranold W.P.King,"The Theory of Linear Antenna",Harvard University Press Cambridge,Massachusetts,1956.
- [6] Stephen Wolfram , " Mathematica A System for Doing Mathematics by Computer", Second Edition,Addison-Wesley ,California,1991.
- [7] Deloor.G.P., "Dielectric Properties of Heterogeneous Mixtures Containing Water",J.Microwave Power.1968,3,pp.67-76.
- [8] วิมลศรี รอดศิริ, วลัยลิกา บัวสมบุญ, "การวัดสนามไฟฟ้าระยะใกล้ (Electric Field Mapping)", โครงการ,คณะวิศวกรรมศาสตร์,สถาบันเทคโนโลยีพระจอมเกล้าเจ้าคุณทหารลาดกระบัง.